

WYNIKI CIĄGŁYCH POMIARÓW HAŁASU W ŚRODOWISKU

DLA LOTNISKA CHOPINA W WARSZAWIE

Nazwa obiektu: Punkt pomiarowy nr 3 „Mysiadło”

Data wykonania pomiaru:

początek: 01 - 02 - 2023
koniec: 28 - 02 - 2023

Lokalizacja punktu pomiarowego: Piaseczno, ul. Chabrów

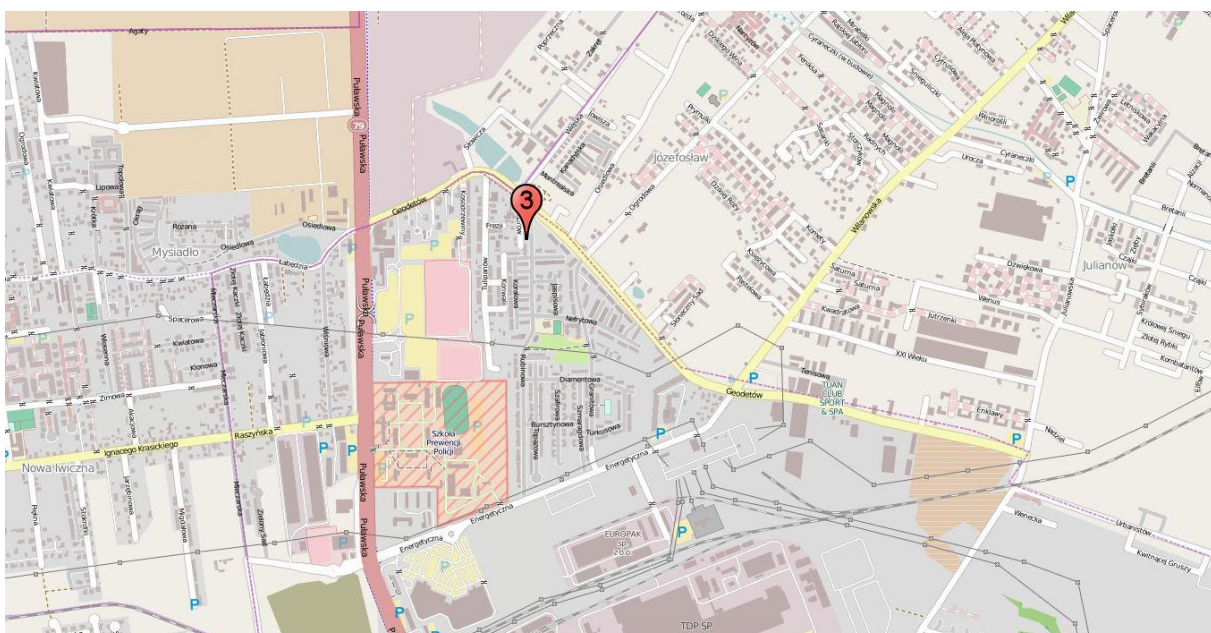
Układ współrzędnych WGS 84

Szerokość geograficzna N 52° 05' 51,6"

Długość geograficzna E 21° 01' 35,7"

Względna wysokość punktu pomiarowego [m]: 5

Lokalizacja na planie:



Metoda hadań:

Metoda ciągły lub okresowych pomiarów monitoringowych: metodyka referencyjna, określona w załączniku nr 1 do rozporządzenia Ministra Środowiska z dnia 16.06.2011 w sprawie wymagań w zakresie prowadzenia pomiarów poziomów substancji lub energii w środowisku przez zarządzającego drogą, linią kolejową, linią tramwajową, lotniskiem, portem.

Metody obliczeniowe: jw

Aparatura pomiarowa:

Analizator poziomu dźwięku (producent: nr typu): Lochard, EMU-2

Mikrofon/sonda mikrofonowa (producent: nr typu): Lochard. 41DM-2

MILKOMI Siedziba Mlekowa (producent, HI typu). Leonhard, 11 DW Z
Świadectwo uwierzytelnienia nr 00026978/02/2021 z dnia 08.06.2021 r. wydane przez Laboratorium
Akredytowane Nr AP 146

Wzorzec akustyczny (producent: nr typu): Brüel & Kjær: 4228

**Równoważny poziom dźwięku w porze dnia i w porze nocy
w odniesieniu do jednej doby, wg wskaźników L_{AeqD} i L_{AeqN}
powodowany przez starty, lądowania i przeloty statków
powietrznych**

Dzień miesiąca/ Luty 2023 r.	Równoważny poziom dźwięku	
	Pora dnia L_{AeqD} w dB	Pora nocy L_{AeqN} w dB
1	57,5	51,9
2	57,4	52,4
3	53,0	46,6
4	57,4	51,0
5	57,2	51,6
6	57,7	52,2
7	57,4	51,0
8	54,3	40,3
9	41,1	52,1
10	58,0	52,7
11	57,8	51,2
12	57,4	51,4
13	58,0	52,6
14	57,0	50,9
15	57,2	45,8
16	57,5	54,9
17	57,9	52,2
18	57,6	50,9
19	58,2	52,6
20	57,8	52,1
21	57,5	50,0
22	57,8	47,7
23	46,8	45,1
24	58,3	51,5
25	57,8	52,0
26	57,4	52,4
27	57,7	45,0
28	55,2	50,7

Zgodnie z art. 112a ustawy – Prawo ochrony środowiska oraz rozporządzeniem Ministra Środowiska z dnia 16 czerwca 2011 r. *w sprawie wymagań w zakresie prowadzenia pomiarów poziomów substancji lub energii w środowisku przez zarządzającego drogą, linią kolejową, linią tramwajową, lotniskiem lub portem*, do ustalania i kontroli warunków korzystania ze środowiska mają zastosowanie wskaźniki hałasu odnoszące się do jednej doby:

- L_{AeqD} – równoważny poziom dźwięku A dla pory dnia (rozumianej jako przedział czasu od godz. 6.00 do godz. 22.00),
- L_{AeqN} – równoważny poziom dźwięku A dla pory nocy (rozumianej jako przedział czasu od godz. 22.00 do godz. 6.00).

Wyznaczone wartości tych wskaźników dla poszczególnych dni i nocy w lutym 2023 podano w tabeli powyżej.

W tabelach poniżej podano zestawienia zdarzeń akustycznych zarejestrowanych w punkcie pomiarowym, na podstawie których wyznaczono wartości wskaźników L_{AeqD} i L_{AeqN} dla poszczególnych dni i nocy w miesiącu.

Zestawienie zdarzeń akustycznych spowodowanych przelotami statków powietrznych w porze dnia (przedział czasu pomiędzy godz. 06.00 – 22.00)

Nr punktu pomiarowego	Data i godz. zdarzenia	Samolot	Operacja*	L_{Aeq}	L_{Amax}	L_{AE}
				[dB]	[dB]	[dB]
3	01-02-2023 06:01:53	A21N	A	71,1	74,7	83,4
3	01-02-2023 06:13:01	E75S	A	71,8	75,3	84,8
3	01-02-2023 06:15:07	E190	A	72,1	76,1	85,1
3	01-02-2023 06:17:40	B734	A	72,9	80,1	86,8
3	01-02-2023 06:20:08	E190	A	71,2	75,7	84,6
3	01-02-2023 06:23:02	E75S	A	71,8	74,1	84,1
3	01-02-2023 06:25:08	E190	A	72,0	76,1	85,2
3	01-02-2023 06:27:45	E195	A	72,0	74,5	84,3
3	01-02-2023 06:32:56	E190	A	72,7	77,6	85,2
3	01-02-2023 07:47:34	B789	A	71,5	74,9	85,0
3	01-02-2023 08:06:19	E170	A	69,4	71,9	80,8
3	01-02-2023 08:09:50	E190	A	70,8	74,1	82,8
3	01-02-2023 08:12:08	E190	A	71,8	75,8	84,4
3	01-02-2023 08:18:36	E170	A	72,2	76,7	85,8
3	01-02-2023 08:20:57	E195	A	72,3	77,7	85,7
3	01-02-2023 08:23:10	B38M	A	72,4	77,0	85,0
3	01-02-2023 08:25:23	A21N	A	71,4	73,7	83,5
3	01-02-2023 08:32:03	LEX	A	68,1	68,9	77,6
3	01-02-2023 08:34:39	E75S	A	70,6	74,0	82,7
3	01-02-2023 08:39:54	E75S	A	72,0	74,7	84,6
3	01-02-2023 08:41:55	B38M	A	71,3	77,6	84,7
3	01-02-2023 08:44:50	C295	A	72,0	74,7	82,8
3	01-02-2023 08:48:56	E75S	A	71,7	76,1	84,8
3	01-02-2023 08:55:27	E190	A	70,9	74,7	84,7
3	01-02-2023 08:58:03	E75S	A	71,1	73,4	83,1
3	01-02-2023 09:12:07	E195	A	72,5	77,7	85,1
3	01-02-2023 09:14:53	E75S	A	69,9	72,2	82,0
3	01-02-2023 09:19:51	E190	A	72,6	77,0	84,9
3	01-02-2023 09:25:56	CRJ9	A	69,2	73,1	82,9
3	01-02-2023 09:32:15	E195	A	72,6	76,3	85,2
3	01-02-2023 09:34:44	E195	A	72,3	76,1	84,3
3	01-02-2023 09:37:31	PC12	A	71,5	76,2	82,6
3	01-02-2023 09:42:02	E75S	A	70,9	72,5	81,7
3	01-02-2023 09:44:58	E75S	A	71,6	74,1	83,7
3	01-02-2023 09:47:31	E75S	A	70,6	74,9	83,0
3	01-02-2023 09:50:12	LEX	A	68,8	72,2	80,3
3	01-02-2023 10:27:51	A320	A	70,4	74,6	83,7
3	01-02-2023 10:36:20	E195	A	72,4	75,6	83,9
3	01-02-2023 10:38:11	E170	A	70,3	73,4	82,9
3	01-02-2023 10:49:41	B789	A	73,3	77,7	86,7
3	01-02-2023 10:59:38	A321	A	71,9	74,1	83,9
3	01-02-2023 11:07:07	E195	A	72,1	76,8	84,4
3	01-02-2023 11:10:41	B77W	A	75,0	78,7	89,3
3	01-02-2023 11:25:11	A321	A	70,8	74,3	83,1
3	01-02-2023 11:27:39	A321	A	71,7	74,9	84,0
3	01-02-2023 11:32:40	B738	A	75,3	80,0	88,3
3	01-02-2023 11:37:18	E190	A	70,6	74,0	83,6
3	01-02-2023 11:48:04	B788	A	71,2	75,9	85,7
3	01-02-2023 11:53:07	A320	A	72,6	76,3	85,6
3	01-02-2023 11:56:36	A321	A	70,7	72,9	83,5
3	01-02-2023 11:58:42	E170	A	72,3	75,9	84,3
3	01-02-2023 12:01:25	B789	A	72,2	75,4	85,6
3	01-02-2023 12:03:57	E170	A	71,9	74,5	83,9
3	01-02-2023 12:06:10	E75S	A	71,9	75,5	84,4

Nr punktu pomiarowego	Data i godz. zdarzenia	Samolot	Operacja*	L _{Aeq}	L _{Max}	L _{AE}
				[dB]	[dB]	[dB]
3	01-02-2023 12:08:24	E190	A	71,2	77,0	84,8
3	01-02-2023 12:10:58	E190	A	72,4	76,2	85,2
3	01-02-2023 12:13:35	B788	A	72,5	75,9	86,3
3	01-02-2023 12:15:44	B789	A	73,0	75,8	85,6
3	01-02-2023 12:18:04	E195	A	73,2	77,4	86,0
3	01-02-2023 12:20:39	E190	A	71,9	76,3	84,9
3	01-02-2023 12:23:43	B788	A	72,2	75,2	86,0
3	01-02-2023 12:26:32	E75S	A	70,9	72,8	83,0
3	01-02-2023 12:28:30	E195	A	72,0	76,2	85,0
3	01-02-2023 12:31:58	E75S	A	71,3	73,6	82,8
3	01-02-2023 12:33:42	E190	A	71,6	74,3	83,3
3	01-02-2023 12:35:47	E190	A	72,6	75,5	84,6
3	01-02-2023 12:37:40	E75S	A	71,6	74,3	84,2
3	01-02-2023 12:43:24	E75S	A	71,2	74,2	83,7
3	01-02-2023 12:45:21	E190	A	72,5	75,2	84,8
3	01-02-2023 12:47:26	A319	A	70,8	74,1	83,1
3	01-02-2023 12:52:15	E190	A	72,5	75,7	85,3
3	01-02-2023 13:15:06	E170	A	71,7	75,1	83,7
3	01-02-2023 13:17:12	E75S	A	72,8	74,8	83,9
3	01-02-2023 13:19:54	A321	A	71,5	75,5	85,5
3	01-02-2023 13:23:07	E75S	A	71,1	74,5	83,9
3	01-02-2023 13:26:39	B789	A	71,2	75,0	85,5
3	01-02-2023 13:30:14	E195	A	73,1	76,1	85,9
3	01-02-2023 13:35:43	B738	A	72,3	75,2	84,1
3	01-02-2023 13:38:51	E75S	A	72,3	74,5	83,8
3	01-02-2023 13:48:54	E190	A	72,9	77,5	85,5
3	01-02-2023 13:54:16	E195	A	71,7	77,1	85,3
3	01-02-2023 13:57:31	B38M	A	71,9	75,4	85,1
3	01-02-2023 14:01:41	A320	A	72,4	75,9	85,0
3	01-02-2023 14:04:47	E195	A	73,2	76,7	86,4
3	01-02-2023 14:36:44	A21N	A	71,7	74,8	84,7
3	01-02-2023 14:40:43	E170	A	71,6	74,7	83,9
3	01-02-2023 14:56:31	A21N	A	72,6	76,3	85,6
3	01-02-2023 14:58:33	E75S	A	72,1	74,7	84,1
3	01-02-2023 15:00:46	B38M	A	72,6	77,0	86,6
3	01-02-2023 15:08:38	B738	A	71,4	77,2	85,9
3	01-02-2023 15:15:35	E170	A	70,6	74,2	83,7
3	01-02-2023 15:21:48	E170	A	70,8	73,1	83,4
3	01-02-2023 15:24:39	E195	A	73,3	77,1	85,9
3	01-02-2023 15:26:25	E75S	A	71,3	74,3	83,1
3	01-02-2023 15:28:35	B38M	A	72,6	75,3	85,1
3	01-02-2023 15:31:12	E170	A	71,8	74,4	84,1
3	01-02-2023 15:36:21	E195	A	71,7	74,4	84,0
3	01-02-2023 15:38:28	E190	A	72,6	76,4	85,1
3	01-02-2023 15:40:51	E190	A	72,1	75,0	84,4
3	01-02-2023 15:42:47	C295	A	72,4	75,1	82,8
3	01-02-2023 15:44:55	B38M	A	72,0	75,8	85,2
3	01-02-2023 15:47:06	B38M	A	72,3	76,1	85,5
3	01-02-2023 15:49:24	E170	A	71,6	75,5	83,9
3	01-02-2023 15:51:21	E190	A	71,6	74,3	84,0
3	01-02-2023 15:53:30	E75S	A	71,3	75,7	83,4
3	01-02-2023 15:55:49	E75S	A	71,9	75,5	84,7
3	01-02-2023 16:11:54	E75S	A	70,1	72,7	82,4
3	01-02-2023 16:15:12	E190	A	71,0	74,2	83,3
3	01-02-2023 16:22:19	B38M	A	71,7	74,6	83,5
3	01-02-2023 16:32:33	E190	A	69,3	72,2	81,3
3	01-02-2023 16:53:18	A321	A	71,6	74,7	83,9

Nr punktu pomiarowego	Data i godz. zdarzenia	Samolot	Operacja*	L_{Aeq}	L_{Amax}	L_{AE}
				[dB]	[dB]	[dB]
3	01-02-2023 17:08:58	E190	A	70,1	73,4	83,3
3	01-02-2023 17:13:28	A321	A	71,2	75,7	84,8
3	01-02-2023 17:20:53	B789	A	72,0	74,9	85,5
3	01-02-2023 17:24:37	A321	A	71,0	73,5	82,2
3	01-02-2023 17:41:15	E190	A	71,5	75,4	84,3
3	01-02-2023 17:53:04	E170	A	71,0	74,0	83,3
3	01-02-2023 18:04:07	CRJ9	A	69,8	72,2	82,1
3	01-02-2023 18:11:38	E190	A	70,6	73,1	82,9
3	01-02-2023 18:14:15	E195	A	71,6	74,0	83,4
3	01-02-2023 18:16:57	A21N	A	72,5	75,4	84,6
3	01-02-2023 18:18:48	A321	A	71,6	76,5	85,9
3	01-02-2023 18:21:31	B738	A	71,7	75,1	84,2
3	01-02-2023 18:23:50	E75S	A	70,7	73,5	83,3
3	01-02-2023 18:27:33	A21N	A	71,4	74,4	83,4
3	01-02-2023 18:37:02	CRJ9	A	69,2	71,4	82,0
3	01-02-2023 18:38:54	E195	A	72,3	76,6	85,5
3	01-02-2023 18:41:14	A21N	A	71,3	74,6	83,8
3	01-02-2023 18:43:54	E190	A	72,1	75,8	84,9
3	01-02-2023 18:45:46	E75S	A	70,9	73,4	83,2
3	01-02-2023 18:48:11	C295	A	70,9	72,7	81,7
3	01-02-2023 18:50:19	E195	A	72,3	75,2	84,9
3	01-02-2023 18:59:06	E75S	A	72,2	75,8	84,8
3	01-02-2023 19:01:18	E75S	A	71,4	74,5	84,2
3	01-02-2023 19:03:48	E170	A	70,6	73,9	83,6
3	01-02-2023 19:06:04	E295	A	71,4	74,7	83,7
3	01-02-2023 19:08:15	E170	A	70,9	73,6	82,4
3	01-02-2023 19:10:23	E75S	A	71,3	74,4	82,8
3	01-02-2023 19:20:17	E75S	A	71,3	73,8	83,7
3	01-02-2023 19:25:59	E195	A	73,3	77,7	85,3
3	01-02-2023 19:47:47	B738	A	74,1	77,8	86,9
3	01-02-2023 19:56:41	B38M	A	71,7	75,3	85
3	01-02-2023 19:59:56	C25B	A	66,6	67,6	76,1
3	01-02-2023 20:03:35	E190	A	71,9	75,7	85,9
3	01-02-2023 20:19:04	B38M	A	73,3	77,6	86,4
3	01-02-2023 20:37:40	PC12	A	71,1	73,4	81,5
3	01-02-2023 20:42:21	E170	A	70,4	73,1	82,2
3	01-02-2023 21:02:56	E190	A	71,9	76,4	84,2
3	01-02-2023 21:05:23	E75S	A	70,9	73,5	82,9
3	01-02-2023 21:15:37	A320	A	71,3	73,3	83,1
3	01-02-2023 21:20:16	B38M	A	72,2	77,1	85,5
3	01-02-2023 21:23:10	E195	A	71,6	75,5	84,7
3	01-02-2023 21:30:25	B738	A	71,4	74,8	82,8
3	01-02-2023 21:32:24	E75S	A	70,4	74,1	82,5
3	01-02-2023 21:34:30	E75S	A	71,7	74,1	83,5
3	01-02-2023 21:36:33	E195	A	71,8	75,2	84,4
3	01-02-2023 21:38:55	E195	A	72,6	76,3	85,1
3	01-02-2023 21:40:57	E190	A	72,4	76,6	84,7
3	01-02-2023 21:42:59	E170	A	70,3	73,2	83,3
3	01-02-2023 21:49:40	E190	A	71,1	74,5	84,5
3	01-02-2023 21:51:52	E195	A	72,8	75,5	84,9
3	01-02-2023 21:53:51	E75S	A	71	74	83,6
3	01-02-2023 21:55:59	E190	A	71,2	75,1	82,9
3	01-02-2023 21:58:03	E75S	A	70,8	73,9	83,1
3	02-02-2023 06:03:02	B38M	A	71,7	75	84
3	02-02-2023 06:09:15	E190	A	71,2	74,4	84,4
3	02-02-2023 06:11:08	E75S	A	71,8	74,4	83,5
3	02-02-2023 06:13:16	E195	A	71,7	75,3	84,2

Nr punktu pomiarowego	Data i godz. zdarzenia	Samolot	Operacja*	L _{Aeq}	L _{Max}	L _{AE}
				[dB]	[dB]	[dB]
3	02-02-2023 06:15:20	E190	A	72,7	77,7	86,1
3	02-02-2023 06:17:27	E190	A	72,3	76,3	85,1
3	02-02-2023 06:19:35	E75S	A	71	73,4	82,5
3	02-02-2023 06:22:51	E170	A	70,4	73,7	83,4
3	02-02-2023 06:25:14	B38M	A	71,8	75,1	84,1
3	02-02-2023 06:30:08	E190	A	71,2	75,2	84,3
3	02-02-2023 06:36:42	B734	A	74,4	78,4	86,7
3	02-02-2023 06:57:51	B738	A	71,7	75,8	84,4
3	02-02-2023 08:09:18	E170	A	70,2	73	82,2
3	02-02-2023 08:14:51	E190	A	71,4	73,9	83,2
3	02-02-2023 08:19:33	B38M	A	72,1	75	83,9
3	02-02-2023 08:23:14	A320	A	71,3	73,9	83
3	02-02-2023 08:26:13	E170	A	69,8	71,7	80,9
3	02-02-2023 08:34:51	B737	A	72	76	85
3	02-02-2023 08:37:54	A21N	A	73,3	76,3	85,3
3	02-02-2023 08:41:13	B762	A	72,9	77	86,7
3	02-02-2023 08:48:43	E195	A	71,7	74,6	83,2
3	02-02-2023 08:51:19	E75S	A	71,5	73,5	82,7
3	02-02-2023 08:53:24	E190	A	72,1	75,8	84,6
3	02-02-2023 08:56:26	A320	A	71,6	74,9	84,2
3	02-02-2023 09:13:10	E195	A	72	74,8	83,5
3	02-02-2023 09:23:17	CRJ9	A	71	72,4	80,5
3	02-02-2023 09:25:31	E190	A	71,3	74,1	82,8
3	02-02-2023 09:28:22	E75S	A	70,9	72,4	82
3	02-02-2023 09:31:03	E75S	A	70,4	72,9	82,1
3	02-02-2023 09:33:10	E190	A	70,9	73,3	82,6
3	02-02-2023 09:37:08	E170	A	71,7	73,8	83,4
3	02-02-2023 09:39:07	B38M	A	71,0	74,2	83,6
3	02-02-2023 09:41:25	E75S	A	71,6	74,2	83,3
3	02-02-2023 09:43:52	E75S	A	70,4	72,9	81,9
3	02-02-2023 10:35:36	E170	A	70,0	72,3	82,1
3	02-02-2023 10:48:46	E75S	A	70,2	73,0	82,5
3	02-02-2023 11:11:57	A321	A	72,0	74,4	83,5
3	02-02-2023 11:14:52	E75S	A	70,2	72,5	82,3
3	02-02-2023 11:17:19	B77W	A	75,3	79,7	89,4
3	02-02-2023 11:23:24	SF34	A	68,5	69,4	78,0
3	02-02-2023 11:25:33	A321	A	70,9	73,5	82,9
3	02-02-2023 11:35:46	E195	A	72,1	75,6	84,6
3	02-02-2023 11:42:06	A21N	A	70,9	73,7	83,5
3	02-02-2023 11:45:25	B789	A	72,2	75,3	85,2
3	02-02-2023 11:48:29	A321	A	70,1	72,9	82,9
3	02-02-2023 11:50:31	E195	A	71,9	74,5	84,0
3	02-02-2023 11:53:14	B789	A	72,7	75,5	86,2
3	02-02-2023 11:55:20	B788	A	72,7	76,5	85,9
3	02-02-2023 11:57:44	B737	A	72,1	75,8	84,7
3	02-02-2023 11:59:33	A321	A	71,3	74,1	83,1
3	02-02-2023 12:01:21	A320	A	72,3	75,7	84,6
3	02-02-2023 12:03:28	E190	A	70,5	73,4	82,5
3	02-02-2023 12:09:33	E190	A	71,1	73,4	83,2
3	02-02-2023 12:13:50	E170	A	71,1	74,7	84,7
3	02-02-2023 12:16:12	E195	A	71,3	75	84,3
3	02-02-2023 12:19:45	B38M	A	70,9	76,1	84,9
3	02-02-2023 12:21:54	E75S	A	69,9	73,2	82,2
3	02-02-2023 12:24:53	E195	A	72,9	76,8	85,4
3	02-02-2023 12:26:48	B788	A	73,6	77	86,6
3	02-02-2023 12:29:42	E190	A	72,3	76,4	85,3
3	02-02-2023 12:31:56	E75S	A	70,2	73,3	82,2

Nr punktu pomiarowego	Data i godz. zdarzenia	Samolot	Operacja*	L_{Aeq}	L_{Amax}	L_{AE}
				[dB]	[dB]	[dB]
3	02-02-2023 12:34:02	E190	A	71,6	74,3	84,1
3	02-02-2023 12:36:04	E190	A	72,1	76,2	85,1
3	02-02-2023 12:38:06	E195	A	72,3	75,6	84,8
3	02-02-2023 12:40:45	CN35	A	74,3	78,3	85,1
3	02-02-2023 12:43:28	B788	A	71,8	74,9	86,5
3	02-02-2023 12:46:10	E75S	A	71,4	73,9	82,9
3	02-02-2023 12:47:57	E190	A	72,8	75,1	84,5
3	02-02-2023 12:52:03	E190	A	72,6	75,3	84,9
3	02-02-2023 12:56:34	E170	A	70,4	73,1	82,4
3	02-02-2023 12:58:55	E170	A	70,7	73,1	82,7
3	02-02-2023 13:01:16	E195	A	72,7	78,1	87,3
3	02-02-2023 13:05:13	A319	A	72,7	75,2	84,1
3	02-02-2023 13:14:39	E170	A	71,1	73,6	82,9
3	02-02-2023 13:28:21	B789	A	72,9	75,7	85,9
3	02-02-2023 13:31:33	A21N	A	72,6	75,1	85,2
3	02-02-2023 13:33:40	A21N	A	71,0	73,7	83,5
3	02-02-2023 13:43:20	E75S	A	71,4	73,7	83,5
3	02-02-2023 13:47:04	LJ75	A	68,9	75,2	80,0
3	02-02-2023 13:51:57	E75S	A	72,2	75,4	84,9
3	02-02-2023 13:55:07	B38M	A	72,8	76,9	86,8
3	02-02-2023 14:02:33	E290	A	69,8	73,1	82,6
3	02-02-2023 14:12:49	A319	A	73,7	77,1	86,5
3	02-02-2023 14:25:34	B38M	A	72,4	75,4	85,8
3	02-02-2023 14:35:11	B738	A	71,6	74,4	85,0
3	02-02-2023 14:40:17	E75S	A	71,0	74,2	84,2
3	02-02-2023 14:43:32	E75S	A	71,5	74,6	84,7
3	02-02-2023 14:46:20	E190	A	71,8	76,6	85,4
3	02-02-2023 14:57:17	B789	A	71,8	75,5	86,3
3	02-02-2023 15:07:29	E75S	A	71,9	74,4	83,7
3	02-02-2023 15:17:10	E75S	A	71,0	74,4	84,6
3	02-02-2023 15:22:26	B738	A	74,3	78,6	88,9
3	02-02-2023 15:26:34	E75S	A	71,7	75,2	84,0
3	02-02-2023 15:29:39	E75S	A	71,8	74,2	84,4
3	02-02-2023 15:31:54	E190	A	72,1	75,6	84,9
3	02-02-2023 15:34:09	E75S	A	69,5	74,1	85,4
3	02-02-2023 15:36:56	E190	A	71,8	74,8	84,8
3	02-02-2023 15:39:41	GLF5	A	68,2	69,3	77,3
3	02-02-2023 15:42:23	E170	A	70,4	73,6	83,4
3	02-02-2023 15:44:44	E195	A	73,0	76,6	85,1
3	02-02-2023 15:47:19	E170	A	72,2	76,7	85,6
3	02-02-2023 15:58:34	B738	A	72,6	76,4	85,6
3	02-02-2023 16:01:09	A21N	A	70,6	74,3	84,6
3	02-02-2023 16:09:38	E195	A	70,7	75,4	85,7
3	02-02-2023 16:11:34	E195	A	71,3	75,3	84,8
3	02-02-2023 16:27:07	E190	A	72,1	75,1	84,4
3	02-02-2023 16:50:40	A321	A	72,4	75,4	85,7
3	02-02-2023 16:55:49	A320	A	73,1	78,5	86,9
3	02-02-2023 17:06:53	B788	A	71,8	75,7	86,4
3	02-02-2023 17:26:59	E170	A	71,9	74,9	83,7
3	02-02-2023 17:38:59	B788	A	70,6	73,2	84,3
3	02-02-2023 17:41:54	E195	A	72,4	76,6	85,7
3	02-02-2023 18:07:45	E170	A	70,2	73,1	82,3
3	02-02-2023 18:14:24	B738	A	73,8	77,6	88,0
3	02-02-2023 18:19:00	E75S	A	70,6	73,2	83,8
3	02-02-2023 18:23:06	CRJ9	A	70,6	72,5	82,6
3	02-02-2023 18:30:17	E195	A	73,0	77,7	86,4
3	02-02-2023 18:32:30	E170	A	69,7	72,4	82,0

Nr punktu pomiarowego	Data i godz. zdarzenia	Samolot	Operacja*	L _{Aeq}	L _{Amax}	L _{AE}
				[dB]	[dB]	[dB]
3	02-02-2023 18:34:36	E75S	A	69,4	71,9	82,6
3	02-02-2023 18:37:22	E170	A	70,3	72,9	82,9
3	02-02-2023 18:41:02	PRM1	A	64,4	68,6	75,2
3	02-02-2023 18:43:27	E190	A	72,1	75,3	84,7
3	02-02-2023 18:45:08	A20N	A	70,4	73,5	85,2
3	02-02-2023 18:47:34	CRJ9	A	70,8	73,8	82,6
3	02-02-2023 18:52:33	E190	A	71,3	74,6	84,5
3	02-02-2023 18:54:28	B738	A	73,1	78,2	87,1
3	02-02-2023 18:56:51	E195	A	72,3	76,7	85,7
3	02-02-2023 18:58:57	E75S	A	71,3	73,6	83,3
3	02-02-2023 19:01:11	E75S	A	71,1	74,0	83,7
3	02-02-2023 19:06:16	E75S	A	71,1	74	83,7
3	02-02-2023 19:10:25	BCS1	A	70	72,8	82,3
3	02-02-2023 19:14:44	E195	A	72,7	76,6	85,5
3	02-02-2023 19:21:30	E190	A	71,3	75,1	85,4
3	02-02-2023 19:27:16	B38M	A	71	76,3	85,6
3	02-02-2023 19:31:23	B738	A	74,3	78,3	88,8
3	02-02-2023 19:34:00	LJ75	A	67,9	69,5	77
3	02-02-2023 19:36:38	E190	A	72,9	75,7	86
3	02-02-2023 19:38:45	E190	A	71,9	75,4	84,7
3	02-02-2023 19:41:04	E190	A	71,5	76,6	84,9
3	02-02-2023 19:55:05	E75S	A	70,9	74	84,1
3	02-02-2023 20:57:09	E195	A	72,2	75,4	84,5
3	02-02-2023 21:00:16	B38M	A	72,4	77,9	86,7
3	02-02-2023 21:02:30	E195	A	73,4	77,1	85,7
3	02-02-2023 21:04:46	E190	A	72,8	76	84,2
3	02-02-2023 21:12:59	E170	A	70,3	74	83,7
3	02-02-2023 21:23:39	B38M	A	71,5	74,4	84,5
3	02-02-2023 21:28:05	B38M	A	71,4	75,6	85
3	02-02-2023 21:30:00	E195	A	71,5	75,2	84,7
3	02-02-2023 21:32:08	E195	A	71,6	74,2	84,4
3	02-02-2023 21:34:26	A321	A	70,7	74,4	84,1
3	02-02-2023 21:36:27	E195	A	72,6	75,8	85,4
3	02-02-2023 21:39:00	E195	A	70,8	74,4	84,4
3	02-02-2023 21:41:26	B738	A	72,3	76,7	86,7
3	02-02-2023 21:43:43	E75S	A	71,4	75,2	84,4
3	02-02-2023 21:45:23	B38M	A	71,4	74,8	85,2
3	02-02-2023 21:47:33	E75S	A	71,5	74,2	83,5
3	02-02-2023 21:49:31	E75S	A	71,6	74,8	85,2
3	02-02-2023 21:53:59	E195	A	72,2	74,6	84,5
3	02-02-2023 21:57:41	B738	A	72,3	76,9	86,2
3	03-02-2023 06:01:41	E75S	A	70,6	72,9	81
3	03-02-2023 06:06:20	E75S	A	70	72,2	81,2
3	03-02-2023 06:14:04	E195	A	71,3	73,8	83,1
3	03-02-2023 06:22:13	E195	A	72,3	75	84
3	03-02-2023 06:26:39	E75S	A	70	71,9	81,1
3	03-02-2023 06:31:40	E195	A	70,9	73	82,7
3	03-02-2023 06:33:49	E195	A	71,9	74,8	83,4
3	03-02-2023 06:36:08	E190	A	71	73,4	82,5
3	03-02-2023 06:38:17	E190	A	71,5	73,4	83,5
3	03-02-2023 06:46:38	B734	A	74	79,8	86
3	03-02-2023 06:55:23	E195	A	72	74,9	83,7
3	03-02-2023 07:01:44	B738	A	73,3	76,4	85,4
3	03-02-2023 07:09:05	B789	A	71,7	75,0	84,7
3	03-02-2023 07:36:33	B38M	A	71,8	73,8	83,5
3	03-02-2023 07:58:38	E170	A	71,1	72,7	82,3
3	03-02-2023 08:01:10	B738	A	73,3	76,1	85,6

Nr punktu pomiarowego	Data i godz. zdarzenia	Samolot	Operacja*	L _{Aeq}	L _{Max}	L _{AE}
				[dB]	[dB]	[dB]
3	03-02-2023 08:03:13	A320	A	71,1	73,4	83,2
3	03-02-2023 08:10:10	E170	A	70,9	72,9	80,9
3	03-02-2023 08:22:01	E75S	A	70,6	72,7	82,1
3	03-02-2023 08:24:20	B38M	A	71,4	73,8	83,4
3	03-02-2023 08:37:09	E195	A	72,6	75,8	83,8
3	03-02-2023 08:40:22	A320	A	71,9	74,3	83,7
3	03-02-2023 08:42:48	E195	A	70,7	72,0	81,8
3	03-02-2023 08:45:26	E170	A	71,6	75,4	82,0
3	03-02-2023 08:48:47	E195	A	71,2	73,1	82,0
3	03-02-2023 09:05:58	E190	A	70,9	72,5	82,0
3	03-02-2023 09:16:19	E195	A	70,2	72,2	82,0
3	03-02-2023 09:21:33	E190	A	70,5	72,8	81,6
3	03-02-2023 09:30:40	E75S	A	69,2	71,3	80,6
3	03-02-2023 09:32:43	E75S	A	70,2	72,4	80,6
3	03-02-2023 09:41:51	E75S	A	71,2	75,4	82,3
3	03-02-2023 09:45:18	B38M	A	70,2	72,9	82,0
3	03-02-2023 09:47:59	E190	A	72,1	74,6	82,9
3	03-02-2023 09:49:49	E195	A	71,3	73,4	82,7
3	03-02-2023 09:55:12	E75S	A	70,9	73,0	82,0
3	03-02-2023 09:57:25	E190	A	71,1	73,0	81,9
3	03-02-2023 10:02:01	A21N	A	72,3	75,6	83,1
3	03-02-2023 10:12:27	E75S	A	72,4	75,3	84,2
3	03-02-2023 10:18:48	C17	A	75,5	79,0	89,9
3	03-02-2023 10:44:46	E195	A	71,0	73,9	82,8
3	03-02-2023 10:51:25	A320	A	70,6	73,1	81,4
3	03-02-2023 11:02:50	A321	A	70,2	73,1	82,0
3	03-02-2023 11:09:01	B77W	A	74,1	79,6	88,2
3	03-02-2023 11:13:24	E190	A	71,1	73,7	82,5
3	03-02-2023 11:22:52	A21N	A	70,9	73,2	82,0
3	03-02-2023 12:01:33	B789	D	68,1	70,0	79,2
3	03-02-2023 12:27:39	B789	D	73,2	75,3	84,7
3	03-02-2023 13:34:59	E190	D	68,4	71,6	81,0
3	03-02-2023 13:40:02	B77W	D	67,9	69,4	80,7
3	03-02-2023 19:29:38	B789	D	68,6	72,3	80,1
3	03-02-2023 20:53:11	A332	D	68,0	69,3	77,6
3	04-02-2023 06:01:14	E75S	A	70,9	73,4	82,7
3	04-02-2023 06:17:23	B38M	A	71,3	73,5	83,6
3	04-02-2023 06:19:19	E75S	A	69,9	72,0	81,0
3	04-02-2023 06:21:37	E195	A	71,1	72,9	82,6
3	04-02-2023 06:23:48	E190	A	70,1	72,4	80,9
3	04-02-2023 06:27:19	E190	A	71,3	73,7	82,8
3	04-02-2023 06:36:37	B38M	A	71,3	73,7	82,8
3	04-02-2023 06:40:43	E195	A	71,0	73,9	83,3
3	04-02-2023 06:44:47	B738	A	71,1	73,9	83,7
3	04-02-2023 07:49:13	E170	A	70,3	73,2	83,9
3	04-02-2023 07:51:49	B38M	A	70,2	73,3	83,3
3	04-02-2023 07:54:03	B738	A	71,5	74,6	84,2
3	04-02-2023 08:06:08	B738	A	72,6	75,4	85,6
3	04-02-2023 08:09:14	E190	A	70,6	76,2	82,9
3	04-02-2023 08:24:02	B38M	A	71,3	73,7	82,1
3	04-02-2023 08:31:58	E75S	A	68,9	71,0	80,3
3	04-02-2023 08:33:59	E170	A	69,4	71,4	79,8
3	04-02-2023 08:37:05	A21N	A	70,9	73,3	82,6
3	04-02-2023 08:40:20	E195	A	71,8	74,1	83,3
3	04-02-2023 08:45:48	E190	A	70,1	72,5	82,6
3	04-02-2023 08:48:10	E190	A	70,8	74,8	83,6
3	04-02-2023 08:50:44	E170	A	68,4	72,0	79,9

Nr punktu pomiarowego	Data i godz. zdarzenia	Samolot	Operacja*	L_{Aeq}	L_{Amax}	L_{AE}
				[dB]	[dB]	[dB]
3	04-02-2023 08:56:49	E290	A	69,5	71,2	79,5
3	04-02-2023 09:14:51	E190	A	69	71,2	80,1
3	04-02-2023 09:19:29	E75S	A	68,6	71,2	80,7
3	04-02-2023 09:26:30	B38M	A	70,6	73,5	82,9
3	04-02-2023 09:29:11	GLF5	A	72,1	77,1	84,1
3	04-02-2023 09:44:38	E190	A	70,7	73,8	82,8
3	04-02-2023 09:49:23	B38M	A	70,4	73,1	83
3	04-02-2023 09:55:20	E75S	A	68,8	71,1	80,6
3	04-02-2023 10:00:08	E75S	A	68,8	72,5	81,1
3	04-02-2023 10:03:42	E195	A	69,4	73	82,6
3	04-02-2023 10:24:23	A21N	A	70,2	73,5	81,4
3	04-02-2023 10:42:05	A320	A	70	72,4	81,5
3	04-02-2023 10:45:52	A321	A	68	70,1	79,7
3	04-02-2023 10:58:27	E75S	A	69,5	72,2	81,5
3	04-02-2023 11:02:06	E195	A	70,5	73,1	82,2
3	04-02-2023 11:04:10	B789	A	71,3	74,6	84,5
3	04-02-2023 11:07:36	B789	A	73,1	76	85,7
3	04-02-2023 11:11:16	B77W	A	74,2	76,8	87,4
3	04-02-2023 11:25:07	A321	A	69,2	72	81,8
3	04-02-2023 11:40:52	B788	A	72,4	75,4	85
3	04-02-2023 11:43:54	A321	A	70,5	71,8	81,7
3	04-02-2023 11:46:58	A321	A	70,9	72,9	83,5
3	04-02-2023 11:49:11	E190	A	71,1	74,7	83,1
3	04-02-2023 11:53:12	B738	A	71,8	75	83,8
3	04-02-2023 11:55:35	E75S	A	68,8	70,7	80,6
3	04-02-2023 12:03:15	B737	A	70,5	73,8	84,2
3	04-02-2023 12:05:22	E170	A	69,6	72	82
3	04-02-2023 12:07:45	B788	A	71,6	73,9	84,4
3	04-02-2023 12:10:28	E190	A	70,8	73,8	82,3
3	04-02-2023 12:12:28	A321	A	71	73,5	82,4
3	04-02-2023 12:14:31	A321	A	70,4	72,7	82,1
3	04-02-2023 12:16:21	B738	A	71,7	75,8	84,3
3	04-02-2023 12:18:38	A321	A	71,6	74,2	83,9
3	04-02-2023 12:21:43	E190	A	70,9	73,5	82,7
3	04-02-2023 12:23:44	E190	A	70,3	72,5	82,3
3	04-02-2023 12:26:01	E75S	A	69,4	72,4	81,5
3	04-02-2023 12:31:12	E170	A	69,5	71,6	81,2
3	04-02-2023 12:33:52	E195	A	71,7	76,4	84,7
3	04-02-2023 12:35:36	E75S	A	70,5	72,2	81,9
3	04-02-2023 12:38:35	E195	A	71,1	74,1	84,5
3	04-02-2023 12:40:37	E195	A	72,8	76,2	84,3
3	04-02-2023 12:46:46	E170	A	70,1	72,8	81,5
3	04-02-2023 12:48:45	E195	A	71,3	75,6	84,3
3	04-02-2023 12:54:22	E190	A	70,3	73,8	82,1
3	04-02-2023 13:06:57	A319	A	70,6	72,9	82,9
3	04-02-2023 13:15:55	E190	A	70,9	74,6	82,9
3	04-02-2023 13:19:04	B788	A	71,7	74	84,2
3	04-02-2023 13:23:42	B789	A	71,5	74,5	84,5
3	04-02-2023 13:37:10	B738	A	73,8	77	85,3
3	04-02-2023 13:39:01	E75S	A	69,6	71	80,4
3	04-02-2023 13:41:01	E75S	A	69,3	72	82,1
3	04-02-2023 13:44:12	B38M	A	71	74,2	83,6
3	04-02-2023 13:46:53	A21N	A	70,4	73,2	81,9
3	04-02-2023 13:49:23	E170	A	71,6	75,3	83,0
3	04-02-2023 13:51:30	B38M	A	74,1	77,0	85,3
3	04-02-2023 13:53:44	E75S	A	69,7	72,1	81,5
3	04-02-2023 13:57:52	B38M	A	70,5	73,5	82,9

Nr punktu pomiarowego	Data i godz. zdarzenia	Samolot	Operacja*	L_{Aeq}	L_{Amax}	L_{AE}
				[dB]	[dB]	[dB]
3	04-02-2023 14:00:14	E170	A	70,0	72,8	82,6
3	04-02-2023 14:02:21	A21N	A	70,5	73,1	82,5
3	04-02-2023 14:13:31	BCS3	A	69,0	70,1	80,1
3	04-02-2023 14:17:21	B789	A	72,9	75,0	85,2
3	04-02-2023 14:20:06	A321	A	70,5	73,3	82,8
3	04-02-2023 14:22:49	E190	A	70,9	73,4	83,3
3	04-02-2023 14:28:26	B38M	A	70,6	74,7	83,2
3	04-02-2023 14:41:46	E190	A	71,1	73,2	82,8
3	04-02-2023 14:46:12	E195	A	70,0	72,4	81,5
3	04-02-2023 14:49:06	B738	A	69,7	72,8	84
3	04-02-2023 15:04:33	E195	A	70,7	72,5	81,5
3	04-02-2023 15:26:46	B788	A	71,4	73,6	82,8
3	04-02-2023 15:29:20	E75S	A	69,3	71,6	82,1
3	04-02-2023 15:31:42	A321	A	69,4	70,7	79,8
3	04-02-2023 15:34:15	E195	A	71,1	73,7	82,2
3	04-02-2023 15:36:13	E195	A	70,8	73,7	82,8
3	04-02-2023 15:38:24	E190	A	70	71,6	81,1
3	04-02-2023 15:41:21	E75S	A	69,6	71,4	80
3	04-02-2023 15:45:09	E190	A	70,3	73,7	82,3
3	04-02-2023 15:47:45	E170	A	69,9	71,6	79,9
3	04-02-2023 15:54:04	A21N	A	69,5	71,4	80,9
3	04-02-2023 16:06:19	E75S	A	68,7	69,7	78,7
3	04-02-2023 16:17:20	E190	A	72,1	75,3	83,2
3	04-02-2023 16:22:29	B38M	A	70,6	72,4	81,8
3	04-02-2023 16:28:48	E195	A	71,6	76,1	83,9
3	04-02-2023 16:31:23	B788	A	70,9	72,4	82,7
3	04-02-2023 16:35:51	A21N	A	70	71,5	81,1
3	04-02-2023 16:38:43	B38M	A	70,4	71,9	81,5
3	04-02-2023 16:58:02	B738	A	71,1	73,4	82,6
3	04-02-2023 17:12:29	E75S	A	68,3	69,3	78,7
3	04-02-2023 17:18:10	A321	A	69,7	71,8	80,9
3	04-02-2023 17:39:19	A321	A	70	71,4	81,1
3	04-02-2023 17:54:21	E195	A	71,2	74	82,3
3	04-02-2023 17:59:39	B38M	A	69,2	70,6	79,6
3	04-02-2023 18:02:34	A321	A	70,5	72,9	82,3
3	04-02-2023 18:07:09	E190	A	70,6	72,5	82,4
3	04-02-2023 18:10:33	A320	A	73	76,2	84,8
3	04-02-2023 18:32:35	B38M	A	70,7	72,8	81,9
3	04-02-2023 18:35:50	E170	A	69,4	70,5	79,4
3	04-02-2023 18:38:03	E75S	A	68,8	69,9	79,6
3	04-02-2023 18:40:25	E170	A	69,1	71,1	79,6
3	04-02-2023 18:42:23	A321	A	70,3	72,1	81,7
3	04-02-2023 18:44:24	E195	A	70,2	74,7	84,5
3	04-02-2023 18:49:43	E75S	A	68,8	70,7	79,9
3	04-02-2023 18:52:24	E170	A	69,1	70,8	81,1
3	04-02-2023 18:54:50	E190	A	71	72,8	81,4
3	04-02-2023 18:58:01	E190	A	65,8	69	74,8
3	04-02-2023 18:59:55	E195	A	71,1	74,4	83,6
3	04-02-2023 19:11:05	E75S	A	68,7	70,8	78,7
3	04-02-2023 19:13:39	B38M	A	70,6	73,2	82,9
3	04-02-2023 19:16:30	B38M	A	70,5	72,6	82,5
3	04-02-2023 19:19:39	E190	A	69,6	71,9	81,1
3	04-02-2023 19:27:15	A321	A	68,9	70,4	80,3
3	04-02-2023 19:31:52	E195	A	70	71,9	81,2
3	04-02-2023 19:34:36	E195	A	70,9	73,1	81,7
3	04-02-2023 19:51:56	E190	A	70,0	72,3	81,1
3	04-02-2023 19:57:56	B788	A	70,6	73,4	84,4

Nr punktu pomiarowego	Data i godz. zdarzenia	Samolot	Operacja*	L _{Aeq}	L _{Amax}	L _{AE}
				[dB]	[dB]	[dB]
3	04-02-2023 20:41:23	B38M	A	71,6	74,3	83,6
3	04-02-2023 20:44:55	E75S	A	68,1	69,0	78,5
3	04-02-2023 20:54:55	E195	A	71,0	74,1	82,4
3	04-02-2023 21:05:18	E195	A	71,2	73,6	82,7
3	04-02-2023 21:08:06	E170	A	68,9	70,4	79,3
3	04-02-2023 21:13:55	E170	A	69,9	71,1	80,7
3	04-02-2023 21:27:14	E190	A	71,6	73,8	82,7
3	04-02-2023 21:38:09	E195	A	70,4	72,3	81,9
3	04-02-2023 21:41:11	A319	A	69,2	71,0	80,7
3	04-02-2023 21:43:37	E190	A	71,2	73,7	82,4
3	04-02-2023 21:45:34	E75S	A	69,1	71,0	80,3
3	04-02-2023 21:47:19	B38M	A	69,6	71,9	81,1
3	04-02-2023 21:49:59	B738	A	71,1	72,9	83,4
3	04-02-2023 21:52:22	E195	A	71,2	73,4	82,3
3	04-02-2023 21:55:17	B738	A	71,8	74,2	82,9
3	04-02-2023 21:59:39	A320	A	72,3	74,1	84,0
3	05-02-2023 06:08:53	E75S	A	69,8	71,6	81,3
3	05-02-2023 06:21:06	A21N	A	70,7	73,2	81,9
3	05-02-2023 06:25:35	E195	A	71,4	73,7	83,7
3	05-02-2023 06:30:38	E190	A	71,8	74,4	83,6
3	05-02-2023 06:34:18	B738	A	72,7	76,0	85,0
3	05-02-2023 06:36:19	B38M	A	70,2	72,4	82,2
3	05-02-2023 06:54:48	E75S	A	69,7	71,5	81,2
3	05-02-2023 07:08:03	B789	A	70,8	73,2	83,5
3	05-02-2023 07:51:54	E190	A	71,7	73,6	82,8
3	05-02-2023 07:58:56	B738	A	71,9	74,5	84,2
3	05-02-2023 08:05:23	B38M	A	71,6	74,7	83,9
3	05-02-2023 08:12:12	B738	A	72,0	74,8	84,1
3	05-02-2023 08:15:26	B38M	A	71,0	73,2	82,5
3	05-02-2023 08:34:34	E195	A	71,4	73,3	82,9
3	05-02-2023 08:50:06	E190	A	70,9	72,9	82,7
3	05-02-2023 09:08:47	E170	A	69,2	71,4	80
3	05-02-2023 09:33:40	E75S	A	69,7	71,7	80,9
3	05-02-2023 09:38:07	E75S	A	69,9	71,7	81,4
3	05-02-2023 09:40:23	A21N	A	69,1	70,5	78,7
3	05-02-2023 09:48:01	B738	A	70,9	73	82,9
3	05-02-2023 10:39:59	E75S	A	69,7	72,1	81,5
3	05-02-2023 10:52:54	E75S	A	69,7	71,7	80,5
3	05-02-2023 11:08:42	E195	A	72,9	76,2	83,7
3	05-02-2023 11:12:52	E75S	A	69,2	72,3	81,7
3	05-02-2023 11:16:52	A321	A	70,4	73,1	82,2
3	05-02-2023 11:19:48	A321	A	69,6	71,2	80,3
3	05-02-2023 11:23:03	B789	A	71,2	73,7	84
3	05-02-2023 11:25:16	B77W	A	75	78,6	88,5
3	05-02-2023 11:28:26	C68A	A	65,6	69,2	76
3	05-02-2023 11:29:56	A21N	A	70	72,6	82,3
3	05-02-2023 11:32:01	E170	A	70,3	71,9	80,7
3	05-02-2023 11:42:16	A321	A	71,6	73,8	82,4
3	05-02-2023 11:48:14	A20N	A	69,7	71,3	80,8
3	05-02-2023 11:51:49	B737	A	72,4	75,3	84,2
3	05-02-2023 11:55:59	A20N	A	70,4	72,3	82,1
3	05-02-2023 11:58:14	A321	A	70,1	72,2	81,2
3	05-02-2023 12:02:36	E190	A	70,2	72,4	82
3	05-02-2023 12:06:25	E75S	A	69,1	70,6	79,9
3	05-02-2023 12:10:18	E190	A	71,7	74,4	83,7
3	05-02-2023 12:13:25	E75S	A	68,2	70,9	80
3	05-02-2023 12:15:52	B788	A	72,1	75,8	85,9

Nr punktu pomiarowego	Data i godz. zdarzenia	Samolot	Operacja*	L _{Aeq}	L _{Amax}	L _{AE}
				[dB]	[dB]	[dB]
3	05-02-2023 12:18:12	E195	A	71,2	74,6	83,3
3	05-02-2023 12:19:45	E195	A	70,7	73,6	82,4
3	05-02-2023 12:22:47	E195	A	71,5	73,8	83,3
3	05-02-2023 12:25:26	E75S	A	70,3	71,6	81,1
3	05-02-2023 12:36:31	B38M	A	71,7	73	82,8
3	05-02-2023 12:39:17	B789	A	70,8	73,4	83,2
3	05-02-2023 12:41:37	B788	A	70,9	73,4	83,4
3	05-02-2023 12:44:09	E195	A	70,8	73,6	82
3	05-02-2023 12:47:18	E190	A	70,8	73,8	82,6
3	05-02-2023 12:49:36	E170	A	69,9	72,2	81,7
3	05-02-2023 12:52:25	E190	A	71,1	74,1	82,5
3	05-02-2023 12:55:52	E75S	A	69,6	70,9	80,4
3	05-02-2023 12:57:58	A319	A	70,6	72,6	81,4
3	05-02-2023 13:00:50	E170	A	70,3	72,1	82,4
3	05-02-2023 13:12:43	E195	A	70,6	72,4	81,8
3	05-02-2023 13:22:46	E170	A	70,3	71,7	80,3
3	05-02-2023 13:32:30	A21N	A	68,9	71,1	80,1
3	05-02-2023 13:41:24	A21N	A	70,1	71,8	80,9
3	05-02-2023 13:48:44	B788	A	70,7	73,2	83
3	05-02-2023 13:53:58	E75S	A	69,7	72,2	80,9
3	05-02-2023 13:55:38	B789	A	71	73,8	84,4
3	05-02-2023 14:00:04	B38M	A	71,1	72,8	82,2
3	05-02-2023 14:02:23	B789	A	72,6	74,8	84,7
3	05-02-2023 14:05:19	E195	A	71,0	73,7	83,0
3	05-02-2023 14:08:49	E75S	A	70,7	74,3	82,2
3	05-02-2023 14:10:55	A319	A	70,7	71,9	81,8
3	05-02-2023 14:12:48	A321	A	70,1	71,3	80,9
3	05-02-2023 14:16:55	BCS3	A	72,3	78,3	83,4
3	05-02-2023 14:18:40	B38M	A	70,9	73,1	82,7
3	05-02-2023 14:20:47	E170	A	70,2	71,8	81
3	05-02-2023 14:35:26	E190	A	70,4	72,8	82,7
3	05-02-2023 14:40:32	E170	A	69,9	71,8	80,7
3	05-02-2023 14:58:00	E190	A	70,9	73,3	82,4
3	05-02-2023 15:02:23	E190	A	71,0	72,7	82,1
3	05-02-2023 15:12:57	C25B	A	69,1	72	79,1
3	05-02-2023 15:15:41	B38M	A	70,6	72,7	82,1
3	05-02-2023 15:23:42	E75S	A	70,6	72,9	82,3
3	05-02-2023 15:25:51	TBM9	A	70	72	80
3	05-02-2023 15:29:07	E170	A	69,6	71,8	81
3	05-02-2023 15:32:41	E190	A	71,3	73,8	83,1
3	05-02-2023 15:34:20	E170	A	70,1	72,2	81,3
3	05-02-2023 15:36:04	E195	A	71,4	73,9	83,5
3	05-02-2023 15:38:17	B738	A	72,1	74,4	83,5
3	05-02-2023 15:47:56	E195	A	71,8	74,5	82,9
3	05-02-2023 15:50:09	E75S	A	71,2	73,3	82
3	05-02-2023 15:52:18	E195	A	71,7	74,4	83,4
3	05-02-2023 15:54:29	E195	A	70,7	72,7	81,8
3	05-02-2023 15:56:16	E195	A	71,9	74,5	83,1
3	05-02-2023 15:58:18	E195	A	70,7	73,3	83,5
3	05-02-2023 16:00:04	E75S	A	69,7	71,7	80,5
3	05-02-2023 16:02:32	B738	A	71,8	73,7	82,9
3	05-02-2023 16:04:22	A321	A	70,7	72,2	81,5
3	05-02-2023 16:06:07	E190	A	72,2	74,5	83,3
3	05-02-2023 16:17:01	E190	A	70,3	72,8	81,4
3	05-02-2023 16:22:51	CRJ9	A	69,5	70,8	79,5
3	05-02-2023 16:48:08	A321	A	69	70,2	79,4
3	05-02-2023 16:52:22	B738	A	71,6	74,5	84,2

Nr punktu pomiarowego	Data i godz. zdarzenia	Samolot	Operacja*	L _{Aeq}	L _{Max}	L _{AE}
				[dB]	[dB]	[dB]
3	05-02-2023 17:03:39	A320	A	69,8	71,1	79,8
3	05-02-2023 17:10:18	A321	A	69,1	70,4	79,5
3	05-02-2023 17:26:11	E75S	A	70,1	71,8	80,9
3	05-02-2023 17:57:11	A21N	A	69,5	71,3	79,9
3	05-02-2023 17:59:17	CRJ9	A	70,1	71,8	81,2
3	05-02-2023 18:01:09	A321	A	71,7	73,9	83,7
3	05-02-2023 18:03:27	E190	A	71	74,1	82,1
3	05-02-2023 18:14:57	E190	A	70,8	73,4	82
3	05-02-2023 18:18:50	CRJ9	A	71,1	73,6	81,5
3	05-02-2023 18:26:16	B38M	A	71,7	73,3	83,2
3	05-02-2023 18:42:00	E170	A	69,7	71,4	80,5
3	05-02-2023 18:45:17	E195	A	71,5	73,8	82,7
3	05-02-2023 18:48:59	E195	A	71,6	74	82,7
3	05-02-2023 18:51:52	E170	A	70	72,5	80,4
3	05-02-2023 18:54:29	E75S	A	69,9	72,3	80,7
3	05-02-2023 18:56:57	A20N	A	71	75,8	82,2
3	05-02-2023 18:58:51	E190	A	71,2	73,2	82,4
3	05-02-2023 19:00:48	E195	A	72,0	74,7	84,3
3	05-02-2023 19:08:14	E295	A	70,3	72,5	81,4
3	05-02-2023 19:10:05	B738	A	71	72,9	81,8
3	05-02-2023 19:15:32	E75S	A	69,4	72,5	82,2
3	05-02-2023 19:18:46	E190	A	71	73,9	81,7
3	05-02-2023 19:20:49	B38M	A	70,3	72,5	82
3	05-02-2023 19:23:12	B38M	A	70,5	72,9	82,3
3	05-02-2023 19:25:12	E75S	A	69,6	71	80,4
3	05-02-2023 19:27:31	A321	A	70,7	72,8	82,2
3	05-02-2023 19:29:59	E190	A	69,4	72,5	81,9
3	05-02-2023 19:32:08	E190	A	71,3	74,2	82,4
3	05-02-2023 19:50:29	B738	A	72	73,8	83,7
3	05-02-2023 19:53:12	E75S	A	69	70,6	80,1
3	05-02-2023 20:47:40	E195	A	71	73	81,8
3	05-02-2023 20:55:41	E195	A	71,6	73,8	83,4
3	05-02-2023 20:57:31	E195	A	71,2	73,5	82
3	05-02-2023 20:59:19	E170	A	70,1	71,5	81,2
3	05-02-2023 21:01:20	E195	A	70,7	73,8	81,5
3	05-02-2023 21:11:25	E170	A	69,7	71,1	80,1
3	05-02-2023 21:14:04	E75S	A	69,9	71,9	81
3	05-02-2023 21:17:49	E75S	A	70,6	72,5	81,7
3	05-02-2023 21:22:31	E195	A	71,6	74,2	82,8
3	05-02-2023 21:31:01	E75S	A	69,9	71,1	80,3
3	05-02-2023 21:33:27	B38M	A	70,3	71,7	81,4
3	05-02-2023 21:37:00	E195	A	71,3	74,3	82,7
3	05-02-2023 21:38:54	B38M	A	71,6	74,5	83,6
3	05-02-2023 21:40:49	E170	A	69,5	71	79,9
3	05-02-2023 21:42:28	E170	A	70,8	72,4	81,9
3	05-02-2023 21:44:33	E75S	A	70	71,3	80,4
3	05-02-2023 21:46:28	B38M	A	70,7	73	82,7
3	05-02-2023 21:50:05	A321	A	70,9	72,4	82
3	05-02-2023 21:52:03	E195	A	71,4	73,5	82,5
3	05-02-2023 21:53:53	A321	A	70,9	72,6	82,1
3	05-02-2023 21:55:50	E195	A	71,1	72,7	82,6
3	05-02-2023 21:57:58	E195	A	72	75,6	83,1
3	06-02-2023 06:03:09	A21N	A	71,1	73,3	82,9
3	06-02-2023 06:06:54	E195	A	71,6	75,1	83,3
3	06-02-2023 06:12:08	E75S	A	70,2	72,1	81,3
3	06-02-2023 06:14:45	E195	A	70,2	72,1	82
3	06-02-2023 06:17:50	GLEX	A	77,2	80,7	88

Nr punktu pomiarowego	Data i godz. zdarzenia	Samolot	Operacja*	L_{Aeq}	L_{Amax}	L_{AE}
				[dB]	[dB]	[dB]
3	06-02-2023 06:20:24	E190	A	70,6	72,7	81,4
3	06-02-2023 06:22:55	E170	A	69,6	71,6	80,7
3	06-02-2023 06:25:12	B738	A	72,2	74,7	83,3
3	06-02-2023 06:28:10	E190	A	70,8	73,2	81,9
3	06-02-2023 06:30:53	E195	A	71,7	74,4	83,2
3	06-02-2023 06:33:38	E75S	A	69,9	71,9	80,7
3	06-02-2023 06:39:30	E170	A	70,2	72,5	81,3
3	06-02-2023 06:42:45	E195	A	71,4	73,8	82,5
3	06-02-2023 06:46:18	E195	A	71,6	73,8	83
3	06-02-2023 06:56:59	B38M	A	70,8	72,6	82
3	06-02-2023 07:30:23	B38M	A	70,1	72	81,3
3	06-02-2023 08:00:06	B738	A	71,1	73,1	82,9
3	06-02-2023 08:02:39	E190	A	70,8	72,8	81,6
3	06-02-2023 08:05:22	B38M	A	70,2	72,6	81,3
3	06-02-2023 08:13:28	E195	A	70,4	72,8	81,9
3	06-02-2023 08:19:15	E75S	A	69,3	70,8	79,7
3	06-02-2023 08:47:58	E195	A	70,7	72,2	81,8
3	06-02-2023 08:53:58	A321	A	70,3	71,9	81,1
3	06-02-2023 09:00:10	E290	A	68,4	70,1	78,9
3	06-02-2023 09:05:09	CRJ9	A	68,9	70,8	80,1
3	06-02-2023 09:18:28	E190	A	70,4	72,3	81,9
3	06-02-2023 09:21:13	E190	A	70,9	72,7	81,3
3	06-02-2023 09:24:01	E75S	A	69,6	71,4	80,3
3	06-02-2023 09:27:13	E195	A	70,6	73,0	81,7
3	06-02-2023 09:30:12	CRJ9	A	68,9	69,7	78,9
3	06-02-2023 09:33:09	E170	A	69,1	71,5	79,8
3	06-02-2023 09:35:53	E195	A	71,4	73,6	82,8
3	06-02-2023 09:38:43	E190	A	70,7	73,7	81,8
3	06-02-2023 09:41:31	E75S	A	69,6	71,2	78,6
3	06-02-2023 09:44:22	E75S	A	69,6	71,8	80,0
3	06-02-2023 09:47:11	E170	A	70,3	72,4	81,1
3	06-02-2023 09:50:32	A21N	A	69,4	70,1	79,8
3	06-02-2023 09:53:39	E75S	A	69,6	71,5	80,4
3	06-02-2023 09:57:45	B38M	A	71,2	73,8	83,2
3	06-02-2023 10:10:07	E75S	A	69,3	71,5	79,3
3	06-02-2023 10:21:10	E75S	A	69,7	71,1	80,4
3	06-02-2023 10:43:06	B789	A	70,7	72,6	82,8
3	06-02-2023 10:59:10	B77W	A	73,7	77,8	87,3
3	06-02-2023 11:02:14	A21N	A	70,0	71,6	80,8
3	06-02-2023 11:06:13	E75S	A	69,7	71,0	80,1
3	06-02-2023 11:10:19	E170	A	69,7	71,5	79,7
3	06-02-2023 11:12:51	B788	A	70,7	73,1	83,3
3	06-02-2023 11:20:25	E190	A	71,5	74,6	82,9
3	06-02-2023 11:22:55	A321	A	70,3	71,7	81,4
3	06-02-2023 11:28:09	E195	A	70,3	72,1	82,3
3	06-02-2023 11:40:02	E170	A	69,6	71,5	80,0
3	06-02-2023 11:50:15	B788	A	70,9	74,1	83,7
3	06-02-2023 11:53:44	E195	A	71,0	73,1	82,4
3	06-02-2023 11:56:00	B738	A	72,1	74,3	83,2
3	06-02-2023 11:59:27	E170	A	70,4	72,5	82,2
3	06-02-2023 12:01:54	A321	A	70,7	72,7	81,5
3	06-02-2023 12:11:43	A21N	A	70,8	72,4	81,5
3	06-02-2023 12:16:00	E190	A	71,4	73,2	81,8
3	06-02-2023 12:18:34	B788	A	70,1	72,8	83,7
3	06-02-2023 12:21:21	A321	A	70,3	72,2	81,8
3	06-02-2023 12:23:30	B788	A	72,1	75,0	84,1
3	06-02-2023 12:25:53	A21N	A	69,1	70,3	79,1

Nr punktu pomiarowego	Data i godz. zdarzenia	Samolot	Operacja*	L_{Aeq}	L_{Amax}	L_{AE}
				[dB]	[dB]	[dB]
3	06-02-2023 12:27:36	A21N	A	70,2	72,2	81,9
3	06-02-2023 12:29:43	E170	A	68,4	69,2	78,4
3	06-02-2023 12:32:18	B789	A	72,7	76,6	86,5
3	06-02-2023 12:34:45	E195	A	72,1	74,8	83,5
3	06-02-2023 12:36:30	E190	A	70,2	72,0	81,4
3	06-02-2023 12:38:02	E190	A	70,7	73,2	81,8
3	06-02-2023 12:39:53	E190	A	70,6	72,6	81,7
3	06-02-2023 12:41:14	B789	A	71,2	73,5	83,7
3	06-02-2023 12:44:09	E190	A	70,7	73,2	82,2
3	06-02-2023 12:46:10	E190	A	69,9	71,4	80,7
3	06-02-2023 12:47:46	E195	A	72,1	74,8	83,6
3	06-02-2023 12:49:26	BCS3	A	69,6	71,3	80,4
3	06-02-2023 12:51:12	E170	A	68,9	70,0	78,4
3	06-02-2023 12:55:12	E75S	A	69,0	70,8	80,8
3	06-02-2023 13:03:32	A319	A	70,3	72,3	81,5
3	06-02-2023 13:05:25	B38M	A	71,1	73,8	83,7
3	06-02-2023 13:07:27	E195	A	70,8	72,7	82,0
3	06-02-2023 13:09:19	B738	A	72,2	75,6	83,3
3	06-02-2023 13:10:59	E195	A	70,7	73,3	83,3
3	06-02-2023 13:12:44	E170	A	70,2	72,2	80,6
3	06-02-2023 13:15:04	A21N	A	70,7	72,9	82,2
3	06-02-2023 13:18:14	E195	A	70,3	73,3	81,7
3	06-02-2023 13:20:15	E195	A	70,5	72,2	81,9
3	06-02-2023 13:22:41	E195	A	72,3	75,0	84,0
3	06-02-2023 13:24:38	E75S	A	69,4	71,4	80,2
3	06-02-2023 13:26:26	B738	A	72,0	74,7	83,7
3	06-02-2023 13:42:41	E75S	A	68,9	70,2	78,9
3	06-02-2023 13:50:58	E75S	A	69,7	70,9	80,5
3	06-02-2023 14:03:17	B38M	A	70,4	72,1	81,2
3	06-02-2023 14:09:27	B38M	A	70,5	73	82,8
3	06-02-2023 14:14:17	E195	A	71,2	73,7	82,7
3	06-02-2023 14:16:27	A319	A	71,1	72,8	81,6
3	06-02-2023 14:18:41	B38M	A	71,0	73,4	82,5
3	06-02-2023 14:21:50	BCS3	A	69,6	71,5	80,4
3	06-02-2023 14:25:06	E75S	A	70,7	72,6	82,4
3	06-02-2023 14:38:20	E75S	A	69,8	71,3	80,2
3	06-02-2023 14:40:14	E75S	A	69,7	71,6	80,5
3	06-02-2023 14:50:30	A321	A	70,5	72,4	81,3
3	06-02-2023 15:04:59	E75S	A	70,6	72,6	82,4
3	06-02-2023 15:18:05	B738	A	71,8	74,4	83,0
3	06-02-2023 15:25:54	E190	A	70,2	73,0	82,0
3	06-02-2023 15:27:51	E170	A	70,0	72,8	81,1
3	06-02-2023 15:29:42	E195	A	71,1	73,5	81,9
3	06-02-2023 15:34:21	E190	A	69,8	71,4	80,6
3	06-02-2023 15:36:06	E170	A	69,5	71,1	79,5
3	06-02-2023 15:38:24	E195	A	72,4	75,3	83,6
3	06-02-2023 15:41:36	B789	A	71,5	73,3	83,3
3	06-02-2023 15:45:01	E195	A	71,2	72,9	82,4
3	06-02-2023 15:51:26	E170	A	69,0	70,1	78,0
3	06-02-2023 15:59:24	B738	A	70,8	72,7	82,6
3	06-02-2023 16:01:25	E75S	A	70,1	71,4	80,9
3	06-02-2023 16:10:49	CRJ9	A	69,0	69,8	79,4
3	06-02-2023 16:15:29	E195	A	72,6	75,9	84,4
3	06-02-2023 16:17:20	E190	A	71,2	73,8	82,3
3	06-02-2023 16:19:02	B38M	A	71,4	74,4	82,6
3	06-02-2023 16:20:59	E195	A	71,2	73,8	83
3	06-02-2023 16:25:06	A321	A	72,1	74,7	82,9

Nr punktu pomiarowego	Data i godz. zdarzenia	Samolot	Operacja*	L _{Aeq}	L _{Max}	L _{AE}
				[dB]	[dB]	[dB]
3	06-02-2023 16:38:49	E190	A	69,9	72,3	80,6
3	06-02-2023 16:47:20	A20N	A	71,5	73,3	82,9
3	06-02-2023 16:53:00	E195	A	71,3	73,5	82,5
3	06-02-2023 17:19:20	A321	A	70,4	72,2	81,2
3	06-02-2023 17:22:53	E195	A	70,5	72	81,6
3	06-02-2023 17:42:39	E195	A	70,5	73,5	81,7
3	06-02-2023 17:50:05	E75S	A	69,7	71,5	80,1
3	06-02-2023 17:57:03	E190	A	70,2	71,8	81
3	06-02-2023 17:59:00	A321	A	69,7	71	80,1
3	06-02-2023 18:04:31	CRJ9	A	70,1	72,2	80,9
3	06-02-2023 18:10:22	E190	A	70,6	73,7	82,1
3	06-02-2023 18:29:13	E75S	A	67,4	68,5	76,4
3	06-02-2023 18:36:31	E75S	A	70,5	71,7	81,6
3	06-02-2023 18:39:21	E170	A	69	70,4	78,6
3	06-02-2023 18:50:28	E75S	A	71,6	75,6	83,1
3	06-02-2023 18:52:56	E75S	A	69,4	70,9	80,6
3	06-02-2023 18:57:31	A320	A	70,9	72,8	82,9
3	06-02-2023 19:05:28	B38M	A	71	73,5	83,1
3	06-02-2023 19:07:35	E190	A	70,7	72,9	82,7
3	06-02-2023 19:09:36	E170	A	69,7	71,3	81,5
3	06-02-2023 19:11:58	E195	A	71,1	73,2	82,6
3	06-02-2023 19:14:22	E195	A	71,8	73,8	83,3
3	06-02-2023 19:19:25	E170	A	69,8	71,7	80,6
3	06-02-2023 19:21:16	E195	A	71,8	74,1	83,2
3	06-02-2023 19:23:04	E195	A	72,0	74,9	83,7
3	06-02-2023 19:25:17	E75S	A	69,4	70,8	80,5
3	06-02-2023 19:42:28	E170	A	69,3	71,1	80,5
3	06-02-2023 19:46:23	A332	A	73,1	77,1	88,2
3	06-02-2023 20:34:44	B38M	A	72,1	74,5	84,4
3	06-02-2023 20:42:12	B738	A	72,2	75,1	84,9
3	06-02-2023 20:49:19	E170	A	69,2	70,5	80,3
3	06-02-2023 20:51:18	E75S	A	69,0	70,2	79,5
3	06-02-2023 20:56:16	E195	A	71,6	74,3	83,4
3	06-02-2023 21:18:07	E190	A	71,1	73,7	82,6
3	06-02-2023 21:21:24	E190	A	69,8	71,6	81,2
3	06-02-2023 21:32:10	E195	A	72,3	75,1	83,7
3	06-02-2023 21:39:54	E190	A	71,6	74,2	83,1
3	06-02-2023 21:43:05	B38M	A	71,0	73,5	83,5
3	06-02-2023 21:45:56	A319	A	69,8	71,3	81,5
3	06-02-2023 21:47:53	E75S	A	69,6	70,9	80,3
3	06-02-2023 21:50:17	B738	A	71,8	73,9	84,3
3	06-02-2023 21:52:22	B38M	A	70,8	72,2	82,8
3	06-02-2023 21:54:28	B738	A	70,9	73,1	83,5
3	06-02-2023 21:56:41	E75S	A	70,7	72,5	82,4
3	06-02-2023 21:58:13	E190	A	70,5	72,6	82,3
3	07-02-2023 06:01:08	B763	A	74	78,8	87,6
3	07-02-2023 06:04:42	B789	A	71,7	74	84,7
3	07-02-2023 06:09:30	E190	A	70,8	73,2	82,6
3	07-02-2023 06:11:55	E75S	A	70,7	72,4	81,5
3	07-02-2023 06:13:53	E75S	A	71,4	72,9	82,2
3	07-02-2023 06:15:51	E190	A	71,4	75,2	83,7
3	07-02-2023 06:17:49	A306	A	73,9	77,5	87,7
3	07-02-2023 06:21:06	E190	A	71,8	74,0	83,6
3	07-02-2023 06:24:11	E190	A	70,7	73,5	82,8
3	07-02-2023 06:33:37	E75S	A	70,5	72,3	82,8
3	07-02-2023 06:39:23	E170	A	69,3	71,5	81,4
3	07-02-2023 06:43:45	E75S	A	70,0	72,1	82,0

Nr punktu pomiarowego	Data i godz. zdarzenia	Samolot	Operacja*	L _{Aeq}	L _{Amax}	L _{AE}
				[dB]	[dB]	[dB]
3	07-02-2023 07:46:41	E190	A	71,4	73,6	83,7
3	07-02-2023 07:56:25	B734	A	71,2	73,7	84,0
3	07-02-2023 08:03:12	B38M	A	71,7	74,1	84,7
3	07-02-2023 08:27:04	B38M	A	71,9	74,6	84,2
3	07-02-2023 08:42:22	GLEX	A	70,1	72,3	81,9
3	07-02-2023 08:46:52	E170	A	71,2	73,4	82,7
3	07-02-2023 08:51:03	B788	A	71,1	73,7	84,7
3	07-02-2023 08:55:47	E190	A	70,6	72,9	82,9
3	07-02-2023 08:57:40	E170	A	70,5	72,6	82,3
3	07-02-2023 09:17:07	CRJ9	A	69,9	71,5	81,6
3	07-02-2023 09:25:06	E195	A	70,8	73,1	82,8
3	07-02-2023 09:27:01	E195	A	71,4	73,5	84,1
3	07-02-2023 09:32:21	E170	A	70,8	73,0	82,9
3	07-02-2023 09:36:34	E170	A	69,5	72,1	82,3
3	07-02-2023 09:38:59	E195	A	71,3	74,0	83,6
3	07-02-2023 09:42:36	E75S	A	71,8	74,4	84,1
3	07-02-2023 09:47:27	A21N	A	69,2	70,9	80,4
3	07-02-2023 09:49:16	E75S	A	70,8	73,3	82,6
3	07-02-2023 09:51:19	E75S	A	70,5	72,6	82,9
3	07-02-2023 10:04:19	F2TH	A	68,3	69,8	78,7
3	07-02-2023 10:07:30	E195	A	71,4	73,9	83,1
3	07-02-2023 10:25:12	E75S	A	71,4	73,6	83,2
3	07-02-2023 10:50:28	E170	A	70,0	73,1	83,2
3	07-02-2023 11:00:08	E195	A	71,4	73,5	83,1
3	07-02-2023 11:02:56	E170	A	70,8	72,4	81,6
3	07-02-2023 11:08:50	B789	A	71,8	75,5	85,6
3	07-02-2023 11:16:04	B77W	A	73,3	77,9	88,1
3	07-02-2023 11:32:14	E195	A	72,1	75,4	85,3
3	07-02-2023 11:43:05	B789	A	71,3	73,3	83,9
3	07-02-2023 11:46:10	E75S	A	70,2	72,6	82,0
3	07-02-2023 11:49:33	B738	A	72,5	76,6	84,8
3	07-02-2023 11:59:20	A321	A	70,6	72,4	82,4
3	07-02-2023 12:03:41	B788	A	71,1	74,3	84,3
3	07-02-2023 12:06:08	A321	A	70,8	72,2	82,3
3	07-02-2023 12:08:04	E190	A	70,5	72,6	82,0
3	07-02-2023 12:12:21	E190	A	71,8	74,3	83,9
3	07-02-2023 12:15:06	E195	A	73,0	75,7	85,0
3	07-02-2023 12:18:13	A20N	A	71,1	73,2	82,6
3	07-02-2023 12:20:39	E190	A	71,4	73,6	83,4
3	07-02-2023 12:23:11	E190	A	70,2	73,9	83,2
3	07-02-2023 12:26:30	E75S	A	70,4	72,7	81,2
3	07-02-2023 12:29:23	E195	A	71,0	74,6	84,2
3	07-02-2023 12:32:05	E195	A	71,5	73,9	83,5
3	07-02-2023 12:33:56	E170	A	70,1	71,9	81,2
3	07-02-2023 12:35:51	E75S	A	70,7	72,8	81,9
3	07-02-2023 12:37:57	E75S	A	71,1	73,2	82,6
3	07-02-2023 12:42:09	E190	A	71,3	73,9	83,3
3	07-02-2023 12:45:54	E195	A	71,7	74,7	84,0
3	07-02-2023 12:48:48	BCS3	A	71,1	73,3	83,4
3	07-02-2023 12:51:34	E195	A	71,5	73,8	82,6
3	07-02-2023 12:53:45	B789	A	71,7	73,6	84,0
3	07-02-2023 13:03:49	E170	A	70,5	72,0	81,6
3	07-02-2023 13:05:52	E190	A	71,5	74,0	83,5
3	07-02-2023 13:07:57	A319	A	70,3	72,7	81,4
3	07-02-2023 13:11:47	B789	A	71,3	73,9	84,5
3	07-02-2023 13:16:59	E190	A	71,3	73,5	83,6
3	07-02-2023 13:19:40	E195	A	73,3	76,7	85,0

Nr punktu pomiarowego	Data i godz. zdarzenia	Samolot	Operacja*	L _{Aeq}	L _{Amax}	L _{AE}
				[dB]	[dB]	[dB]
3	07-02-2023 13:24:04	B788	A	70,2	72,3	84,0
3	07-02-2023 13:29:09	E170	A	71,7	74,3	84,3
3	07-02-2023 13:50:23	E75S	A	71,0	74,0	83,6
3	07-02-2023 13:52:35	A21N	A	69,9	71,5	81,3
3	07-02-2023 13:55:34	E170	A	71,3	73,5	82,4
3	07-02-2023 13:58:05	E195	A	71,9	74,7	83,6
3	07-02-2023 14:01:58	E75S	A	71,1	73,3	83,4
3	07-02-2023 14:11:53	E75S	A	70,5	72,6	81,3
3	07-02-2023 14:15:51	A319	A	70,9	72,8	82,4
3	07-02-2023 14:17:38	BCS3	A	69,1	70,9	81,4
3	07-02-2023 14:34:21	B38M	A	70,8	73,8	83,1
3	07-02-2023 14:42:17	E190	A	71,2	75,2	85,1
3	07-02-2023 14:57:52	E170	A	71,8	74,2	83,6
3	07-02-2023 15:09:39	E195	A	71,7	74,5	82,1
3	07-02-2023 15:13:52	B738	A	70,7	72,9	83,3
3	07-02-2023 15:19:41	B38M	A	71,8	74,3	83,5
3	07-02-2023 15:22:03	E195	A	71,3	74,3	84,1
3	07-02-2023 15:24:18	E75S	A	71,2	73,1	82,9
3	07-02-2023 15:26:35	A21N	A	70,1	72,1	81,9
3	07-02-2023 15:32:37	E75S	A	71,0	72,8	82,5
3	07-02-2023 15:34:51	E170	A	70,8	73,7	83,1
3	07-02-2023 15:36:49	E170	A	71,2	73,9	83,0
3	07-02-2023 15:38:47	E195	A	72,6	75,4	84,3
3	07-02-2023 15:40:21	E190	A	72,3	75,3	83,8
3	07-02-2023 15:42:16	A21N	A	69,6	72,9	82,2
3	07-02-2023 15:44:35	E75S	A	70,8	73,1	82,3
3	07-02-2023 15:46:20	E190	A	72,2	74,7	84,7
3	07-02-2023 16:01:42	E75S	A	70,4	73,0	83,6
3	07-02-2023 16:05:53	LJ75	A	67,1	68,6	76,1
3	07-02-2023 16:08:29	A21N	A	71,0	73,3	82,8
3	07-02-2023 16:17:01	A321	A	70,0	71,1	81,1
3	07-02-2023 16:23:04	B738	A	71,9	74,0	84,2
3	07-02-2023 16:27:01	B38M	A	71,4	73,6	83,1
3	07-02-2023 16:38:36	E170	A	70,7	72,7	82,2
3	07-02-2023 16:57:57	A320	A	71,1	72,9	82,9
3	07-02-2023 17:05:56	E190	A	71,4	74,3	82,9
3	07-02-2023 17:11:24	B788	A	71,5	74,1	84,8
3	07-02-2023 17:25:25	A321	A	71,2	73,6	83,2
3	07-02-2023 17:29:12	A321	A	70,1	72,8	83,1
3	07-02-2023 17:31:13	E195	A	71,3	74,0	83,8
3	07-02-2023 17:58:13	E75S	A	70,9	73,0	82,4
3	07-02-2023 18:06:30	E190	A	71,9	74,6	83,7
3	07-02-2023 18:09:11	CRJ9	A	70,4	72,8	82,2
3	07-02-2023 18:16:47	B789	A	71,8	73,7	84,8
3	07-02-2023 18:20:41	A20N	A	71,2	73,3	83,3
3	07-02-2023 18:30:06	E75S	A	70,6	72,4	82,1
3	07-02-2023 18:34:17	E75S	A	70,7	74,4	83,5
3	07-02-2023 18:37:51	E195	A	71,0	74,9	82,8
3	07-02-2023 18:42:04	E170	A	70,2	72,0	81,7
3	07-02-2023 18:46:14	E75S	A	72,1	74,1	83,8
3	07-02-2023 18:47:57	B738	A	71,4	74,6	84,4
3	07-02-2023 18:50:41	E75S	A	70,6	72,8	82,3
3	07-02-2023 18:52:49	E170	A	70,1	72,1	81,2
3	07-02-2023 18:58:57	E75S	A	70,2	72,2	81,3
3	07-02-2023 19:01:17	E170	A	71,0	72,8	83,1
3	07-02-2023 19:03:19	E170	A	70,3	72,6	81,5
3	07-02-2023 19:05:09	E195	A	70,8	72,8	81,9

Nr punktu pomiarowego	Data i godz. zdarzenia	Samolot	Operacja*	L _{Aeq}	L _{Amax}	L _{AE}
				[dB]	[dB]	[dB]
3	07-02-2023 19:06:56	B38M	A	70,2	73,3	83,5
3	07-02-2023 19:09:14	E75S	A	70,7	72,7	81,5
3	07-02-2023 19:10:53	E195	A	72,3	74,3	83,4
3	07-02-2023 19:13:08	B38M	A	71,2	74,2	83,8
3	07-02-2023 19:15:00	E195	A	71,9	74,6	83,7
3	07-02-2023 19:18:43	E195	A	71,5	73,7	82,6
3	07-02-2023 19:24:26	E190	A	71,2	74,0	82,7
3	07-02-2023 19:45:23	A20N	A	70,2	72,3	82,0
3	07-02-2023 20:02:36	B738	A	70,7	72,4	82,1
3	07-02-2023 20:26:41	B38M	A	71,8	73,9	83,5
3	07-02-2023 20:53:19	E170	A	70,6	72,4	81,7
3	07-02-2023 20:55:55	E170	A	70,9	73,0	82,4
3	07-02-2023 20:58:11	E190	A	71,2	73,2	83,0
3	07-02-2023 21:00:26	E195	A	71,7	73,7	83,2
3	07-02-2023 21:04:29	E190	A	71,5	74,5	82,6
3	07-02-2023 21:13:32	E190	A	70,8	72,5	81,6
3	07-02-2023 21:25:32	E195	A	72,7	75,5	85,1
3	07-02-2023 21:29:10	E195	A	71,7	74,7	83,2
3	07-02-2023 21:31:55	B38M	A	72,5	75,7	84,8
3	07-02-2023 21:42:28	B738	A	71,7	73,8	83,1
3	07-02-2023 21:45:37	E75S	A	70,2	72,6	82,2
3	07-02-2023 21:48:54	E190	A	71,9	74,5	83,0
3	07-02-2023 21:51:39	E75S	A	70,3	72,3	81,1
3	07-02-2023 21:54:09	E75S	A	70,8	73,2	82,5
3	07-02-2023 21:56:07	B738	A	72,4	74,8	84,7
3	07-02-2023 21:58:05	E190	A	72,3	75,0	83,4
3	08-02-2023 06:03:24	E170	A	70,4	71,7	81,6
3	08-02-2023 06:11:31	E75S	A	71,0	72,4	82,1
3	08-02-2023 06:13:57	E195	A	71,4	73,3	82,8
3	08-02-2023 06:16:06	E190	A	70,8	72,6	82,3
3	08-02-2023 06:18:08	E195	A	72,0	74,2	83,2
3	08-02-2023 06:19:45	E75S	A	71,0	72,9	82,1
3	08-02-2023 06:21:38	A306	A	73,6	78,7	86,7
3	08-02-2023 06:24:18	E190	A	72,2	74,1	83,6
3	08-02-2023 06:26:04	E75S	A	70,8	72,4	81,9
3	08-02-2023 06:28:15	E190	A	71,1	73,5	82,9
3	08-02-2023 06:58:13	B734	A	72,9	75,9	83,7
3	08-02-2023 07:18:22	B738	A	72,2	74,9	83,7
3	08-02-2023 07:27:42	A21N	A	69,9	72,0	81,1
3	08-02-2023 07:32:55	B38M	A	68,7	69,6	79,1
3	08-02-2023 08:07:54	B38M	A	72,4	75,2	84,5
3	08-02-2023 08:09:58	E190	A	71,1	73,3	82,5
3	08-02-2023 08:13:03	E170	A	70,4	72,1	81,9
3	08-02-2023 08:17:38	B789	A	70,4	72,3	83,0
3	08-02-2023 08:33:26	E75S	A	70,3	72,7	83,0
3	08-02-2023 08:48:54	A319	A	70,6	72,2	81,4
3	08-02-2023 08:52:28	B38M	A	70,6	73,0	82,9
3	08-02-2023 08:54:59	C295	A	71,9	74,5	82,3
3	08-02-2023 08:56:51	E190	A	70,7	72,9	81,8
3	08-02-2023 09:02:32	E170	A	71,2	73,7	82,9
3	08-02-2023 09:04:34	E170	A	71,5	73,8	83,8
3	08-02-2023 09:06:31	E195	A	71,9	74,6	84,2
3	08-02-2023 09:11:56	E170	A	71,3	73,4	82,4
3	08-02-2023 09:15:27	E195	A	71,1	74,0	82,9
3	08-02-2023 09:20:15	E190	A	70,5	72,7	81,7
3	08-02-2023 09:27:30	E75S	A	72,3	75,4	84,8
3	08-02-2023 09:30:15	CRJ9	A	70,2	72,5	82,0

Nr punktu pomiarowego	Data i godz. zdarzenia	Samolot	Operacja*	L_{Aeq}	L_{Amax}	L_{AE}
				[dB]	[dB]	[dB]
3	08-02-2023 09:34:09	E75S	A	71,0	73,3	83,5
3	08-02-2023 09:37:03	E75S	A	70,0	72,8	82,1
3	08-02-2023 09:40:49	E75S	A	70,5	72,8	81,6
3	08-02-2023 09:51:30	E75S	A	70,6	72,4	81,4
3	08-02-2023 09:56:01	B788	A	70,4	74,2	84,3
3	08-02-2023 09:58:48	E195	A	71,2	72,9	82,6
3	08-02-2023 10:29:29	A320	A	71,5	73,9	83,3
3	08-02-2023 10:39:21	E195	A	72,3	75,8	85,1
3	08-02-2023 10:53:05	B789	A	71,0	73,6	83,3
3	08-02-2023 10:57:51	A321	A	70,1	72,6	80,5
3	08-02-2023 11:00:36	C295	A	71,0	72,6	81,0
3	08-02-2023 11:10:12	B77W	A	74,2	79,0	87,2
3	08-02-2023 11:16:16	E195	A	70,5	72,8	82
3	08-02-2023 11:38:04	E190	A	70,6	74,9	83,2
3	08-02-2023 11:40:51	E75L	A	70,2	71,8	82
3	08-02-2023 11:43:16	A21N	A	70,6	73,3	83,3
3	08-02-2023 11:57:21	E195	A	71,7	73,5	82,4
3	08-02-2023 11:59:49	A321	A	70,1	72,3	82,7
3	08-02-2023 12:01:53	B737	A	71,2	73,6	83
3	08-02-2023 12:03:37	BCS3	A	69,7	71,3	80,1
3	08-02-2023 12:05:34	A321	A	70,2	71,7	81,7
3	08-02-2023 12:10:27	A333	A	71,8	74,9	84,8
3	08-02-2023 12:12:41	E75S	A	70,7	73,7	84
3	08-02-2023 12:14:29	E190	A	71,2	73,6	82,7
3	08-02-2023 12:16:29	A321	A	70,6	73,2	82,6
3	08-02-2023 12:18:17	E190	A	70,7	72,4	82,5
3	08-02-2023 12:20:08	E195	A	70,6	73,4	82,9
3	08-02-2023 12:22:18	E190	A	71,1	73,1	82,8
3	08-02-2023 12:24:12	E75S	A	69,9	71,4	81
3	08-02-2023 12:26:13	E190	A	70,5	72,9	81,3
3	08-02-2023 12:28:27	B789	A	71,6	73,4	83,4
3	08-02-2023 12:31:09	E195	A	71,1	73,2	82,2
3	08-02-2023 12:33:01	E170	A	70,7	72,6	81,1
3	08-02-2023 12:34:59	E75S	A	70,2	73,4	82,7
3	08-02-2023 12:36:25	E195	A	69,7	74,1	86,4
3	08-02-2023 12:38:49	E170	A	71,5	73,8	82,6
3	08-02-2023 12:40:56	E75S	A	70,4	72,5	81,2
3	08-02-2023 12:43:34	E170	A	69,5	71	80,3
3	08-02-2023 12:45:57	B789	A	70,8	72,7	83,3
3	08-02-2023 13:44:40	B77W	D	68,4	69,6	79,2
3	08-02-2023 14:21:50	W3	D	69,6	73,8	83,7
3	08-02-2023 15:17:11	E170	D	67,5	68,9	77,9
3	08-02-2023 17:20:34	W3	D	69,2	70,8	82,6
3	08-02-2023 21:43:44	B789	D	69,2	70,8	79,2
3	09-02-2023 06:08:58	B738	D	68,3	70	79,1
3	09-02-2023 13:55:48	B77W	D	66,9	69,4	78,4
3	09-02-2023 15:24:38	E170	D	67,5	68,8	77,1
3	09-02-2023 17:26:35	W3	D	68,3	70,3	81,1
3	09-02-2023 18:25:34	B789	D	68	70,1	77,5
3	09-02-2023 18:49:01	B788	D	70,8	72,6	81,3
3	09-02-2023 20:29:36	B738	D	68,1	69,2	79,8
3	09-02-2023 21:56:43	B734	D	66,8	68,9	78,3
3	10-02-2023 06:01:05	E170	A	69,3	70,5	80,1
3	10-02-2023 06:10:09	E170	A	70,0	72,4	81,4
3	10-02-2023 06:12:28	E75S	A	68,8	70,7	79,2
3	10-02-2023 06:14:43	E195	A	70,5	73,0	82,3
3	10-02-2023 06:19:47	E195	A	71,8	74,3	83,6

Nr punktu pomiarowego	Data i godz. zdarzenia	Samolot	Operacja*	L_{Aeq}	L_{Amax}	L_{AE}
				[dB]	[dB]	[dB]
3	10-02-2023 06:22:06	E195	A	71,5	74,5	83,3
3	10-02-2023 06:24:22	E75S	A	70,5	72,7	81,3
3	10-02-2023 06:27:08	E195	A	71,7	74,9	83,8
3	10-02-2023 06:31:17	B738	A	72,9	76	84,9
3	10-02-2023 06:33:42	E190	A	69,7	72,4	82,2
3	10-02-2023 06:36:07	E75S	A	70,3	72,1	81,4
3	10-02-2023 06:39:00	B734	A	73,5	77,1	86,3
3	10-02-2023 07:11:51	A21N	A	70,5	73,6	82,5
3	10-02-2023 07:16:54	B789	A	71,6	74,3	84,6
3	10-02-2023 07:57:01	B738	A	72	74,6	85
3	10-02-2023 08:11:49	E170	A	70	72,3	81,8
3	10-02-2023 08:15:44	B38M	A	71	74,7	83,3
3	10-02-2023 08:18:39	E75S	A	70,2	72,4	81,4
3	10-02-2023 08:20:40	E75S	A	69,5	73,9	81,3
3	10-02-2023 08:31:50	E195	A	72	75,6	84,8
3	10-02-2023 08:37:10	E190	A	71,6	74,6	83,9
3	10-02-2023 08:38:52	A320	A	71,7	74,7	84,2
3	10-02-2023 08:41:32	B738	A	71,5	74,5	84,3
3	10-02-2023 08:48:13	E75S	A	70,2	72	80,6
3	10-02-2023 08:50:52	E75S	A	70,6	73,4	81,4
3	10-02-2023 08:54:49	E190	A	69,6	72,6	83,2
3	10-02-2023 09:05:09	E170	A	69	71,1	79,4
3	10-02-2023 09:09:23	E195	A	71,1	73,6	82,6
3	10-02-2023 09:11:23	E195	A	72,1	74,6	84,4
3	10-02-2023 09:18:55	E195	A	71,1	74,7	83,2
3	10-02-2023 09:21:14	E170	A	70,4	72,8	81,2
3	10-02-2023 09:24:16	E75S	A	69,6	72,6	81,3
3	10-02-2023 09:26:16	E190	A	70,9	73,4	83,2
3	10-02-2023 09:28:43	E190	A	72,5	75,4	84,3
3	10-02-2023 09:31:02	E75S	A	69,7	72,1	81,4
3	10-02-2023 09:33:20	E75S	A	69,9	71,2	81,4
3	10-02-2023 09:38:47	E190	A	71,0	74,2	83,6
3	10-02-2023 09:47:59	A21N	A	72,0	75,8	84,1
3	10-02-2023 09:50:58	E195	A	71,5	75,0	84,3
3	10-02-2023 10:01:32	B38M	A	71,2	74,9	83,5
3	10-02-2023 10:29:38	A321	A	69,1	70,8	79,1
3	10-02-2023 10:35:44	E190	A	71,2	75,1	83,2
3	10-02-2023 10:38:40	E170	A	69,2	70,7	79,2
3	10-02-2023 10:59:26	B738	A	73,2	76,3	85,0
3	10-02-2023 11:07:02	B789	A	72,6	76,0	86,9
3	10-02-2023 11:09:50	E195	A	70,4	74,5	84,2
3	10-02-2023 11:12:37	B77W	A	74,1	78,4	88,9
3	10-02-2023 11:17:05	A321	A	71,2	73,6	82,7
3	10-02-2023 11:41:33	B738	A	72,7	77,0	85,7
3	10-02-2023 11:43:46	E195	A	71,9	74,8	84
3	10-02-2023 11:46:06	A321	A	71,6	74,4	82,8
3	10-02-2023 11:53:58	E75S	A	70,3	72,3	81,7
3	10-02-2023 11:57:10	E75S	A	71,9	75,6	84
3	10-02-2023 12:06:12	A21N	A	70,4	72,7	82,2
3	10-02-2023 12:08:11	E195	A	71,5	75,4	83,6
3	10-02-2023 12:10:34	E75S	A	70,7	74,3	83,2
3	10-02-2023 12:12:56	CN35	A	69,7	71,3	79,2
3	10-02-2023 12:15:05	E195	A	70,6	74	83,6
3	10-02-2023 12:17:15	B788	A	71,4	74,2	85
3	10-02-2023 12:19:20	A333	A	73,1	76,7	86,7
3	10-02-2023 12:21:57	E190	A	72,4	76	84,4
3	10-02-2023 12:23:59	BCS3	A	70,3	72,4	81,4

Nr punktu pomiarowego	Data i godz. zdarzenia	Samolot	Operacja*	L_{Aeq}	L_{Amax}	L_{AE}
				[dB]	[dB]	[dB]
3	10-02-2023 12:25:43	E190	A	71,6	73,6	83,1
3	10-02-2023 12:27:32	B738	A	72,4	74,5	84,4
3	10-02-2023 12:29:22	A21N	A	70,1	73,4	83,1
3	10-02-2023 12:32:35	E170	A	70,3	72,5	82,1
3	10-02-2023 12:34:37	A321	A	71,6	74,6	82,7
3	10-02-2023 12:36:37	E195	A	72,5	76,3	84,3
3	10-02-2023 12:38:40	E75S	A	70,6	73,3	82,4
3	10-02-2023 12:40:23	E170	A	69,5	73,4	83,1
3	10-02-2023 12:42:24	E75S	A	71	73,5	83,1
3	10-02-2023 12:44:17	B738	A	72,6	77,1	84,9
3	10-02-2023 12:46:18	A319	A	70,7	72,8	82,1
3	10-02-2023 12:48:13	E75S	A	71	73,3	82,8
3	10-02-2023 12:50:24	E170	A	69,9	71,4	79,5
3	10-02-2023 12:54:57	E75S	A	70,5	73,8	83,1
3	10-02-2023 12:57:53	E195	A	72,3	75,3	84,3
3	10-02-2023 13:15:35	E190	A	70,9	73	82,6
3	10-02-2023 13:21:47	E170	A	70,4	72,5	82,2
3	10-02-2023 13:35:23	B789	A	71,7	74,1	84,7
3	10-02-2023 13:41:53	B788	A	71,4	74,5	84,6
3	10-02-2023 13:48:57	E75S	A	70,9	73,4	82,7
3	10-02-2023 13:54:00	E190	A	71,4	74,1	83,5
3	10-02-2023 13:57:35	B789	A	72,7	75,1	85,5
3	10-02-2023 14:00:15	BCS3	A	69,9	72	81
3	10-02-2023 14:04:15	E195	A	70,8	73,2	82,6
3	10-02-2023 14:06:15	A319	A	71,1	74,3	83,6
3	10-02-2023 14:15:27	E195	A	72,6	76,6	85,2
3	10-02-2023 14:24:50	B38M	A	72	74,2	84
3	10-02-2023 14:28:13	B38M	A	72,1	75,9	85,3
3	10-02-2023 14:38:57	B738	A	72,7	75,1	84,5
3	10-02-2023 14:46:11	E190	A	72	75,2	84,3
3	10-02-2023 15:03:53	A321	A	71	73,5	83,5
3	10-02-2023 15:11:14	B38M	A	72,4	75,2	84,7
3	10-02-2023 15:23:04	E75S	A	70,6	73,3	82,6
3	10-02-2023 15:26:42	E75S	A	70,8	73,2	82,5
3	10-02-2023 15:28:35	B38M	A	72	74,5	84,3
3	10-02-2023 15:30:30	E195	A	72,2	74,8	84,8
3	10-02-2023 15:32:17	E195	A	72	76,5	85,2
3	10-02-2023 15:34:17	E75S	A	70,3	72,1	81,4
3	10-02-2023 15:36:03	E195	A	72,2	76,2	84
3	10-02-2023 15:37:51	E75S	A	71,4	74,4	83,7
3	10-02-2023 15:39:44	E190	A	72,6	75	84
3	10-02-2023 15:42:19	B789	A	72,8	76,3	85,8
3	10-02-2023 15:44:31	B738	A	70,3	74,7	85,2
3	10-02-2023 15:46:42	E75S	A	70,2	73,1	82,3
3	10-02-2023 15:48:42	E195	A	71,7	75,3	84,7
3	10-02-2023 15:50:42	E195	A	71,8	76,5	85,1
3	10-02-2023 15:53:52	E195	A	71,4	73,2	83,2
3	10-02-2023 16:02:08	E190	A	72,1	75,1	84,1
3	10-02-2023 16:13:33	B789	A	71,4	75,0	85,4
3	10-02-2023 16:15:53	E195	A	71,4	73,9	83,4
3	10-02-2023 16:18:36	CRJ2	A	69,6	72,0	79,1
3	10-02-2023 16:22:39	A21N	A	69,5	70,6	80,2
3	10-02-2023 16:26:59	A319	A	72,1	74,8	84,2
3	10-02-2023 16:32:15	E170	A	71,0	73,4	83,3
3	10-02-2023 16:37:37	B38M	A	71,3	74,8	83,9
3	10-02-2023 16:57:43	A321	A	70,5	72,2	81,9
3	10-02-2023 17:04:39	B738	A	73,3	75,6	85,1

Nr punktu pomiarowego	Data i godz. zdarzenia	Samolot	Operacja*	L_{Aeq}	L_{Amax}	L_{AE}
				[dB]	[dB]	[dB]
3	10-02-2023 17:11:06	E170	A	71,1	73,7	83,2
3	10-02-2023 17:28:03	A21N	A	71,1	73,8	83,1
3	10-02-2023 17:35:55	A321	A	70,5	72,6	82,3
3	10-02-2023 17:51:35	A321	A	71,6	74,1	83,3
3	10-02-2023 17:54:07	A320	A	70,6	73,6	82,7
3	10-02-2023 17:56:36	E170	A	70,6	73,1	82,1
3	10-02-2023 18:04:04	B738	A	71,9	74,8	85,5
3	10-02-2023 18:06:58	A333	A	72,3	75,3	86,1
3	10-02-2023 18:12:55	A20N	A	71,5	74,7	84,1
3	10-02-2023 18:15:56	CL35	A	68,2	70,0	79,3
3	10-02-2023 18:20:50	A321	A	71,0	73,6	82,8
3	10-02-2023 18:24:54	E190	A	71,2	74,0	83,0
3	10-02-2023 18:27:58	CRJ9	A	69,9	72,3	81,1
3	10-02-2023 18:32:34	E75S	A	71,8	74,8	83,3
3	10-02-2023 18:39:23	CRJ9	A	71,0	73,8	81,8
3	10-02-2023 18:41:38	E170	A	69,9	72,7	82,0
3	10-02-2023 18:43:41	E75S	A	71,0	72,3	81,4
3	10-02-2023 18:46:02	E195	A	72,4	75,3	84,5
3	10-02-2023 18:48:15	B738	A	72,2	76,1	85,2
3	10-02-2023 18:51:00	E190	A	71,2	74,0	83,5
3	10-02-2023 18:53:12	E75S	A	70,7	72,2	80,7
3	10-02-2023 18:56:09	E170	A	70,7	72,6	81,5
3	10-02-2023 19:00:33	B38M	A	71,7	74,8	84,0
3	10-02-2023 19:03:57	E190	A	71,9	75,5	83,6
3	10-02-2023 19:12:14	B38M	A	70,3	73,1	82,8
3	10-02-2023 19:16:39	E75S	A	69,0	71,0	81,3
3	10-02-2023 19:19:11	B738	A	70,5	74,8	84,1
3	10-02-2023 19:21:21	E190	A	72,0	74,9	83,8
3	10-02-2023 19:25:55	E195	A	72,8	76,1	84,9
3	10-02-2023 19:50:49	E75S	A	70,2	72,8	82,0
3	10-02-2023 19:54:24	E190	A	72,2	76,1	84,2
3	10-02-2023 20:13:31	B788	A	71,9	74,1	85,2
3	10-02-2023 20:21:36	B738	A	73,8	77,1	86,8
3	10-02-2023 20:50:49	E75S	A	70,3	72,7	82,4
3	10-02-2023 20:53:16	E170	A	70,8	73	82,6
3	10-02-2023 20:55:00	B38M	A	71,3	73,8	83,3
3	10-02-2023 20:57:52	E195	A	71,9	74,4	83,6
3	10-02-2023 20:59:57	E75S	A	70,4	74,1	82,2
3	10-02-2023 21:03:25	E195	A	73	77,1	85,5
3	10-02-2023 21:07:05	E75S	A	70,6	73,9	83,2
3	10-02-2023 21:14:22	E75S	A	70,1	72,4	81,9
3	10-02-2023 21:28:02	E195	A	72	74,7	84,3
3	10-02-2023 21:32:55	B738	A	72,1	75,3	84,4
3	10-02-2023 21:38:19	E195	A	71,8	75,7	84,6
3	10-02-2023 21:40:09	E195	A	72,9	76,5	85,9
3	10-02-2023 21:42:29	E75S	A	70,6	73,4	82,9
3	10-02-2023 21:44:17	B38M	A	71,5	75,7	85,1
3	10-02-2023 21:46:14	B38M	A	71,9	75,8	85,0
3	10-02-2023 21:48:27	E190	A	72,5	76,5	84,3
3	10-02-2023 21:50:10	B38M	A	71,6	75,4	85,2
3	10-02-2023 21:52:36	E195	A	71,8	74,2	83,8
3	10-02-2023 21:55:02	E195	A	73,2	76,0	84,9
3	10-02-2023 21:57:07	B38M	A	71,1	74,1	83,7
3	10-02-2023 21:59:02	B738	A	73,5	77,3	85,8
3	11-02-2023 06:10:21	B738	A	73,5	77,3	85,6
3	11-02-2023 06:14:04	E190	A	70,2	72,6	81,6
3	11-02-2023 06:16:46	E190	A	70,7	72,9	81,8

Nr punktu pomiarowego	Data i godz. zdarzenia	Samolot	Operacja*	L_{Aeq}	L_{Amax}	L_{AE}
				[dB]	[dB]	[dB]
3	11-02-2023 06:18:46	E195	A	72,3	76,2	84,8
3	11-02-2023 06:21:10	E75S	A	72,1	74,7	83,2
3	11-02-2023 06:23:09	E75S	A	70,0	73,4	81,8
3	11-02-2023 06:31:00	E195	A	71,5	74,1	83,5
3	11-02-2023 06:33:24	E170	A	69,5	72,5	81,8
3	11-02-2023 06:45:56	E75S	A	71,4	74,2	82,9
3	11-02-2023 06:48:29	B38M	A	70,4	75,1	84,2
3	11-02-2023 07:09:03	B38M	A	72,4	76,4	84,9
3	11-02-2023 07:13:04	B738	A	72,7	75,0	84,5
3	11-02-2023 07:58:13	B738	A	74,0	77,7	86,6
3	11-02-2023 08:05:36	B38M	A	71,9	76,5	84,2
3	11-02-2023 08:08:21	E170	A	70,1	73,7	81,9
3	11-02-2023 08:16:41	E190	A	71,9	76,6	83,4
3	11-02-2023 08:31:11	GLF5	A	68,4	70,2	79,8
3	11-02-2023 08:51:52	A321	A	71,8	75,5	85,1
3	11-02-2023 08:54:00	E75S	A	71,1	73,9	82,5
3	11-02-2023 08:56:05	E75S	A	71,6	74,1	82,3
3	11-02-2023 08:58:27	E170	A	70,9	73,3	82,1
3	11-02-2023 09:00:34	B38M	A	72,3	74,5	84,1
3	11-02-2023 09:02:30	E195	A	71,3	73,4	83,3
3	11-02-2023 09:05:29	E190	A	70,6	74,1	83,2
3	11-02-2023 09:13:34	E190	A	73,0	76,2	85,3
3	11-02-2023 09:18:02	E195	A	73,5	76,4	85,2
3	11-02-2023 09:20:52	E75S	A	70,8	73,5	82,0
3	11-02-2023 09:25:15	E75S	A	70,5	73,6	82,3
3	11-02-2023 09:27:10	E190	A	72,9	76,7	84,6
3	11-02-2023 09:32:03	E170	A	70,8	73,3	82,6
3	11-02-2023 09:47:46	E75S	A	70,4	72,9	81,9
3	11-02-2023 09:49:51	B38M	A	72,6	74,8	83,7
3	11-02-2023 09:52:02	A21N	A	71,6	74,5	83,6
3	11-02-2023 10:30:51	A321	A	70,5	73,0	82,5
3	11-02-2023 10:41:57	E75S	A	70,2	72,4	80,6
3	11-02-2023 10:44:13	E170	A	69,9	72,5	81,1
3	11-02-2023 10:46:08	B789	A	72,2	75,1	85,2
3	11-02-2023 10:51:07	BCS3	A	69,7	71,3	80,5
3	11-02-2023 10:53:08	E170	A	70,1	72,2	81,2
3	11-02-2023 10:56:00	B789	A	72,8	76,3	86,1
3	11-02-2023 10:59:28	A321	A	70,8	72,8	81,2
3	11-02-2023 11:10:29	A321	A	71,1	73,9	82,8
3	11-02-2023 11:18:20	B77W	A	75,3	79,1	89,1
3	11-02-2023 11:26:04	E195	A	71,5	74,2	83,3
3	11-02-2023 11:39:36	A321	A	70,8	72,9	81,9
3	11-02-2023 11:42:51	B737	A	71,8	75,1	85,4
3	11-02-2023 11:46:15	A321	A	70,5	74,1	83,7
3	11-02-2023 11:48:55	A320	A	70,8	73,5	83,6
3	11-02-2023 11:54:39	B788	A	72,4	75,5	85,2
3	11-02-2023 11:56:59	E75S	A	71,4	73,5	83,5
3	11-02-2023 11:59:12	A321	A	70,9	72,7	82,6
3	11-02-2023 12:01:28	E190	A	71,5	75,5	83,5
3	11-02-2023 12:03:41	E75S	A	70,1	73,1	82,4
3	11-02-2023 12:08:08	C17	A	75,8	80,2	90,1
3	11-02-2023 12:10:43	B788	A	73,3	76,3	85,6
3	11-02-2023 12:12:53	E190	A	71,3	75,5	83,6
3	11-02-2023 12:14:32	E195	A	71,7	74,9	83,5
3	11-02-2023 12:16:24	E75S	A	71,1	73,8	82,6
3	11-02-2023 12:18:29	E195	A	72,0	75,4	84,6
3	11-02-2023 12:21:00	B738	A	74,5	79,6	86,6

Nr punktu pomiarowego	Data i godz. zdarzenia	Samolot	Operacja*	L_{Aeq}	L_{Amax}	L_{AE}
				[dB]	[dB]	[dB]
3	11-02-2023 12:23:45	M28	A	70,9	72,8	80,0
3	11-02-2023 12:26:35	E190	A	71,0	75,2	83,3
3	11-02-2023 12:29:36	BCS3	A	69,6	71,2	80,3
3	11-02-2023 12:31:40	E190	A	72,2	76,3	83,3
3	11-02-2023 12:33:51	B789	A	71,6	74,8	84,8
3	11-02-2023 12:38:11	E75S	A	70,7	73,8	82,1
3	11-02-2023 12:40:34	E195	A	72,0	74,4	83,7
3	11-02-2023 12:43:07	B38M	A	69,4	72,5	80,9
3	11-02-2023 12:46:10	B738	A	71,6	76,1	85,1
3	11-02-2023 12:48:08	E190	A	71,3	74,0	82,8
3	11-02-2023 12:51:26	E190	A	72,2	75,9	84,0
3	11-02-2023 12:53:28	A319	A	70	72,9	81,7
3	11-02-2023 12:58:24	E195	A	71,9	74,8	83,4
3	11-02-2023 13:00:45	E170	A	71,3	74,7	83,1
3	11-02-2023 13:09:28	B789	A	73,1	75,5	85,8
3	11-02-2023 13:12:24	E195	A	71,9	75,6	84,7
3	11-02-2023 13:16:32	B738	A	73,9	77,6	86,7
3	11-02-2023 13:20:01	A321	A	69,4	71,8	81,5
3	11-02-2023 13:24:44	E195	A	73,1	76,6	85,4
3	11-02-2023 13:27:50	E195	A	73,3	77,9	86,1
3	11-02-2023 13:31:12	A21N	A	71,4	74,2	83,7
3	11-02-2023 13:34:20	B788	A	73,0	76,3	86,7
3	11-02-2023 13:37:02	A21N	A	70,7	74,4	83,5
3	11-02-2023 13:46:47	E75S	A	71,2	74,7	83,8
3	11-02-2023 13:49:13	E75S	A	72,2	74,0	83,6
3	11-02-2023 13:51:16	B789	A	72,8	76,8	86,6
3	11-02-2023 13:53:47	B38M	A	71,9	76,9	85,5
3	11-02-2023 13:55:51	E170	A	71,8	74,4	83,6
3	11-02-2023 13:57:49	B38M	A	71,9	75,1	84,9
3	11-02-2023 13:59:52	A320	A	73,8	79,2	86,3
3	11-02-2023 14:02:19	B788	A	71,6	75,1	85,6
3	11-02-2023 14:13:25	B738	A	74,2	80,6	87,8
3	11-02-2023 14:19:00	C17	A	78,4	84	94,1
3	11-02-2023 14:26:27	E75S	A	70,8	75,2	84,9
3	11-02-2023 14:32:50	B738	A	73,7	79	87,1
3	11-02-2023 14:52:34	A319	A	72,7	76,8	85,7
3	11-02-2023 15:10:02	E75S	A	70,4	73,6	83,6
3	11-02-2023 15:16:12	B38M	A	72,2	76,3	86,7
3	11-02-2023 15:21:51	E75S	A	71,2	74,4	83,5
3	11-02-2023 15:30:27	E75S	A	70,3	73,6	83,7
3	11-02-2023 15:32:50	E190	A	71,5	75,3	84,5
3	11-02-2023 15:35:02	E170	A	70,2	73,5	84,3
3	11-02-2023 15:37:30	E75S	A	69,7	72,5	82,5
3	11-02-2023 15:41:41	LJ75	A	67,7	69,4	77,7
3	11-02-2023 15:44:14	A21N	A	70,6	73,8	84,4
3	11-02-2023 15:47:03	E190	A	71,8	74,5	84,3
3	11-02-2023 15:49:27	B738	A	73,9	79	87,3
3	11-02-2023 15:52:09	E195	A	71,9	75,5	84,7
3	11-02-2023 15:54:43	GL5T	A	67,4	68,6	78,2
3	11-02-2023 15:56:59	E75S	A	71,5	74,5	84,3
3	11-02-2023 15:59:29	A21N	A	71,8	74,1	83,8
3	11-02-2023 16:02:17	E195	A	73,5	78,4	86,7
3	11-02-2023 16:04:42	E75S	A	69,3	72,5	82,4
3	11-02-2023 16:07:29	B38M	A	72,8	77,6	85,3
3	11-02-2023 16:27:02	E195	A	71,9	74,8	84,4
3	11-02-2023 16:32:28	B38M	A	72,7	76,8	86,0
3	11-02-2023 16:44:29	B38M	A	72,3	76,8	85,9

Nr punktu pomiarowego	Data i godz. zdarzenia	Samolot	Operacja*	L _{Aeq}	L _{Amax}	L _{AE}
				[dB]	[dB]	[dB]
3	11-02-2023 16:47:36	B38M	A	71,7	75,4	84,9
3	11-02-2023 17:24:01	A321	A	71,8	76,1	85,4
3	11-02-2023 17:56:08	E75S	A	70,3	74,0	82,8
3	11-02-2023 18:03:39	A321	A	71,2	73,8	83,5
3	11-02-2023 18:06:32	B38M	A	71,1	74,0	83,7
3	11-02-2023 18:15:44	A320	A	73,0	76,5	85,5
3	11-02-2023 18:21:14	E170	A	69,2	72,1	79,9
3	11-02-2023 18:26:32	E75S	A	70,4	73,7	82,1
3	11-02-2023 18:28:51	E190	A	70,8	76,0	84,6
3	11-02-2023 18:33:31	E195	A	71,4	74,4	84,0
3	11-02-2023 18:40:26	E170	A	69,5	72,6	81,0
3	11-02-2023 18:45:00	E170	A	70,7	72,8	81,9
3	11-02-2023 18:47:56	E195	A	71,3	74,6	83,4
3	11-02-2023 18:50:43	E75S	A	70,6	73,8	81,7
3	11-02-2023 18:58:18	E195	A	72,0	75,3	84,1
3	11-02-2023 19:00:49	E190	A	71,5	74,6	83,5
3	11-02-2023 19:03:15	E75S	A	69,4	71,8	81,2
3	11-02-2023 19:08:16	B38M	A	71,7	74,5	84,2
3	11-02-2023 19:22:11	E75S	A	69,8	71,4	79,4
3	11-02-2023 19:25:28	E75S	A	69,7	72,3	81,1
3	11-02-2023 19:27:58	E195	A	72,0	75,5	84,1
3	11-02-2023 19:35:43	A21N	A	71,5	73,8	84,1
3	11-02-2023 20:07:57	E170	A	70,4	73,5	82,2
3	11-02-2023 20:33:46	B38M	A	71,5	74,4	84,3
3	11-02-2023 20:36:19	E75S	A	70,5	73,5	83,1
3	11-02-2023 20:38:46	A321	A	71,8	74,5	85,6
3	11-02-2023 20:42:38	E170	A	69,6	71,9	81,3
3	11-02-2023 20:49:54	E190	A	70,7	73,3	83,7
3	11-02-2023 20:53:59	B738	A	72,2	76,4	86,7
3	11-02-2023 20:57:36	B738	A	71,9	75,8	84,2
3	11-02-2023 21:00:15	E190	A	73,4	78,6	85,2
3	11-02-2023 21:17:05	E75S	A	70,1	73,1	81,8
3	11-02-2023 21:20:01	E75S	A	71,7	75,1	85,6
3	11-02-2023 21:24:41	E195	A	71,3	74,9	84,9
3	11-02-2023 21:29:08	B738	A	73,7	78,3	87,1
3	11-02-2023 21:31:48	E195	A	71,9	77,1	85,7
3	11-02-2023 21:36:24	B738	A	72,9	75,4	85,7
3	11-02-2023 21:45:58	A320	A	72,3	75,8	85,7
3	11-02-2023 21:50:05	E75S	A	71,0	73,0	83,3
3	11-02-2023 21:52:42	B38M	A	72,1	74,8	85,6
3	12-02-2023 06:13:36	E75S	A	70,4	72,3	81,6
3	12-02-2023 06:15:31	E195	A	71,8	74,8	83,9
3	12-02-2023 06:19:05	B738	A	73,1	76,8	85,7
3	12-02-2023 06:21:17	E195	A	71,4	73,9	83,4
3	12-02-2023 06:34:33	B38M	A	71,6	74,7	83,7
3	12-02-2023 07:09:46	A21N	A	71,2	72,9	82,4
3	12-02-2023 07:15:49	B789	A	71,8	73,9	84,3
3	12-02-2023 07:56:33	B38M	A	71,9	74,9	83,6
3	12-02-2023 08:04:11	E190	A	71,2	73,2	82,7
3	12-02-2023 08:09:40	B738	A	72,3	75,3	84,3
3	12-02-2023 08:14:12	B738	A	71,6	74,6	83,9
3	12-02-2023 08:17:29	B738	A	74,0	77,3	87,0
3	12-02-2023 08:30:10	B38M	A	71,3	73,6	83,0
3	12-02-2023 08:52:17	M28	A	70,5	72,3	80,9
3	12-02-2023 08:56:51	E190	A	69,5	71,2	81,8
3	12-02-2023 09:15:07	E195	A	72,0	75,1	83,5
3	12-02-2023 09:17:36	E75S	A	70,6	72,3	81,4

Nr punktu pomiarowego	Data i godz. zdarzenia	Samolot	Operacja*	L _{Aeq}	L _{Amax}	L _{AE}
				[dB]	[dB]	[dB]
3	12-02-2023 09:19:53	B738	A	72,3	74,2	83,4
3	12-02-2023 09:23:57	E75S	A	69,7	71,2	80,1
3	12-02-2023 09:40:45	E190	A	71,2	74,1	82,4
3	12-02-2023 09:49:05	E195	A	71,1	74,3	83,4
3	12-02-2023 09:51:34	A21N	A	70,1	72,2	80,8
3	12-02-2023 10:43:24	E75S	A	69,9	72,1	80,7
3	12-02-2023 10:46:41	E170	A	70,8	73,1	81,9
3	12-02-2023 11:22:17	A321	A	70,4	72,9	82,7
3	12-02-2023 11:25:26	E195	A	72,1	75,5	83,9
3	12-02-2023 11:28:26	E190	A	71,7	74,1	82,5
3	12-02-2023 11:36:18	A320	A	69,8	72,6	81,6
3	12-02-2023 11:40:17	B789	A	72,5	75,5	85,6
3	12-02-2023 11:45:46	B77W	A	74,2	77,1	87,2
3	12-02-2023 11:48:04	B738	A	71,8	77,7	84,6
3	12-02-2023 11:50:19	E75S	A	70,5	72,7	81,6
3	12-02-2023 11:52:17	E190	A	71,2	74,2	82,9
3	12-02-2023 11:54:20	E75S	A	70,0	72,1	80,5
3	12-02-2023 11:56:13	A321	A	69,7	71,5	81,1
3	12-02-2023 11:58:04	A321	A	70,8	72,2	81,5
3	12-02-2023 11:59:51	A20N	A	70,8	73,6	82,9
3	12-02-2023 12:01:55	A321	A	70,8	72,5	82,3
3	12-02-2023 12:03:49	BCS3	A	70,3	74	83,1
3	12-02-2023 12:06:02	A21N	A	71,1	73,6	82,6
3	12-02-2023 12:08:36	E190	A	71,2	74	82,6
3	12-02-2023 12:10:48	E170	A	69,6	72,6	80,7
3	12-02-2023 12:12:50	E75S	A	71,4	73,8	83,2
3	12-02-2023 12:14:51	B788	A	70,9	74,7	84,9
3	12-02-2023 12:20:21	B38M	A	71,7	74,4	83,8
3	12-02-2023 12:22:46	E195	A	72,3	76,3	84,6
3	12-02-2023 12:25:01	E195	A	71,5	74,3	83,3
3	12-02-2023 12:26:53	B788	A	73,1	76,3	85,9
3	12-02-2023 12:29:42	E170	A	70,2	72,1	80,6
3	12-02-2023 12:31:48	E75S	A	69,1	71,2	80,9
3	12-02-2023 12:33:23	B788	A	72,7	76,2	85,5
3	12-02-2023 12:36:20	E75S	A	71,3	75,4	83,4
3	12-02-2023 12:39:44	A333	A	75,1	80,2	89,8
3	12-02-2023 12:42:55	E190	A	71,5	73,6	83,2
3	12-02-2023 12:46:17	B789	A	71,8	74,2	84,6
3	12-02-2023 12:49:10	E195	A	71,4	73,3	82,2
3	12-02-2023 12:57:13	E170	A	70,1	71,7	80,9
3	12-02-2023 12:59:58	E195	A	71,8	74,4	83,3
3	12-02-2023 13:10:37	A319	A	71,5	74,1	83,0
3	12-02-2023 13:13:45	A21N	A	70,4	72,9	82,1
3	12-02-2023 13:18:13	E75S	A	70,4	72,1	81,2
3	12-02-2023 13:23:51	B788	A	71,4	75,5	85,0
3	12-02-2023 13:27:06	B789	A	72,2	75,2	85,2
3	12-02-2023 13:43:29	B38M	A	71,4	74,3	83,7
3	12-02-2023 13:46:57	E75S	A	70,4	72,7	82,7
3	12-02-2023 13:50:13	E195	A	72,2	74,7	83,4
3	12-02-2023 13:52:19	E75S	A	70,0	72,5	80,4
3	12-02-2023 14:04:44	E195	A	70,9	73,5	82,4
3	12-02-2023 14:07:08	BCS3	A	71,3	76,5	82,5
3	12-02-2023 14:13:52	A21N	A	73,0	76,1	84,7
3	12-02-2023 14:17:16	E170	A	70,1	72,6	80,6
3	12-02-2023 14:21:51	E190	A	71,3	73,6	82,8
3	12-02-2023 14:29:06	B38M	A	72,2	74,1	83,7
3	12-02-2023 14:43:36	A321	A	70,4	72,2	81,9

Nr punktu pomiarowego	Data i godz. zdarzenia	Samolot	Operacja*	L _{Aeq}	L _{Max}	L _{AE}
				[dB]	[dB]	[dB]
3	12-02-2023 14:45:42	E195	A	70,8	75,1	83,6
3	12-02-2023 14:54:25	B738	A	72,1	74,9	84,1
3	12-02-2023 14:56:33	E170	A	70,4	72,1	81,2
3	12-02-2023 15:12:29	E195	A	71,8	74,7	83,2
3	12-02-2023 15:14:50	E75S	A	70,3	72,5	81,1
3	12-02-2023 15:16:51	E190	A	71,1	73,5	82,9
3	12-02-2023 15:18:47	E75S	A	70,1	72,0	80,9
3	12-02-2023 15:21:03	E195	A	70,7	73,9	83,5
3	12-02-2023 15:23:41	B38M	A	71,0	73,0	82,7
3	12-02-2023 15:26:14	E75S	A	70,8	72,1	81,9
3	12-02-2023 15:28:05	E190	A	71,3	73,7	83
3	12-02-2023 15:30:21	E195	A	72,3	74,7	83,5
3	12-02-2023 15:33:09	E190	A	71	72,7	82,5
3	12-02-2023 15:35:35	E170	A	69,6	71,8	80,4
3	12-02-2023 15:37:53	E75S	A	70,6	73,5	82,1
3	12-02-2023 15:42:59	E75S	A	70,6	72,5	81,1
3	12-02-2023 15:46:56	E170	A	71,9	74	83,1
3	12-02-2023 16:09:27	CRJ9	A	69,5	71,3	80,9
3	12-02-2023 16:12:57	B738	A	71,5	74,2	83,6
3	12-02-2023 16:21:32	A321	A	70,4	72	82,2
3	12-02-2023 16:34:22	E190	A	70,9	73,6	82,7
3	12-02-2023 16:56:02	A321	A	71,4	74,6	83,4
3	12-02-2023 16:59:40	A320	A	70,7	72,3	81,8
3	12-02-2023 17:02:56	A321	A	70,9	73,3	82,7
3	12-02-2023 17:07:52	B38M	A	71,7	74,2	83,5
3	12-02-2023 17:11:37	E75S	A	71	72,9	81,8
3	12-02-2023 17:41:11	CRJ9	A	70,2	73,3	82,2
3	12-02-2023 17:48:46	E190	A	70,2	71,7	82,0
3	12-02-2023 17:50:48	C295	A	71,0	73,3	81,8
3	12-02-2023 17:53:21	E170	A	69,9	71,7	80,7
3	12-02-2023 17:59:36	A321	A	72,0	74,1	83,5
3	12-02-2023 18:01:59	B738	A	72,3	75,0	84,3
3	12-02-2023 18:04:11	C295	A	70,8	72,8	81,2
3	12-02-2023 18:18:12	CRJ9	A	69,7	71,2	80,5
3	12-02-2023 18:21:45	A319	A	71,2	73,6	83,2
3	12-02-2023 18:25:18	E170	A	70,3	71,8	80,8
3	12-02-2023 18:29:18	E195	A	71,9	76,9	83,7
3	12-02-2023 18:31:34	A319	A	71,4	74,0	83,1
3	12-02-2023 18:38:22	A21N	A	71,6	74,2	83,3
3	12-02-2023 18:42:57	A320	A	70,3	72,3	82
3	12-02-2023 18:44:49	E75S	A	71,1	73,3	82,2
3	12-02-2023 18:46:56	E190	A	70,7	73,1	82,8
3	12-02-2023 18:49:53	E75S	A	70,3	72,5	81,8
3	12-02-2023 18:52:07	E195	A	71,5	74,4	83,5
3	12-02-2023 18:54:54	B38M	A	71,7	74,1	83,7
3	12-02-2023 18:58:07	E190	A	69,8	72,3	82,2
3	12-02-2023 19:01:10	E75S	A	69,8	71,8	81,3
3	12-02-2023 19:04:52	E170	A	70,3	72,6	81,7
3	12-02-2023 19:10:08	BCS1	A	69,4	71,7	82,4
3	12-02-2023 19:16:56	E550	A	69,5	71,0	79,1
3	12-02-2023 19:19:13	E195	A	71,9	75,5	84,2
3	12-02-2023 19:21:40	E195	A	72,4	76,1	84,9
3	12-02-2023 19:26:23	E75S	A	70,2	72,4	82,2
3	12-02-2023 19:29:16	B38M	A	71,9	76,4	84,9
3	12-02-2023 19:31:46	B738	A	71,5	74,6	84,7
3	12-02-2023 19:45:44	E170	A	71,3	73	82,8
3	12-02-2023 20:16:50	B738	A	72,8	76,3	85,4

Nr punktu pomiarowego	Data i godz. zdarzenia	Samolot	Operacja*	L _{Aeq}	L _{Max}	L _{AE}
				[dB]	[dB]	[dB]
3	12-02-2023 20:32:48	E75S	A	70,2	73	82,5
3	12-02-2023 20:44:55	E170	A	70,6	72,4	81
3	12-02-2023 20:55:28	E190	A	72,1	74,7	83,8
3	12-02-2023 21:02:11	E195	A	72,3	75,8	84,9
3	12-02-2023 21:04:26	E75S	A	70,3	71,6	81,0
3	12-02-2023 21:07:14	E195	A	72,6	75,2	84,0
3	12-02-2023 21:10:45	E170	A	69,5	71,9	81,2
3	12-02-2023 21:12:49	E195	A	71,9	74,8	84,4
3	12-02-2023 21:14:51	E190	A	71,0	74,2	82,8
3	12-02-2023 21:16:56	E75S	A	70,1	71,3	81,6
3	12-02-2023 21:21:16	E75S	A	70,5	72,3	80,9
3	12-02-2023 21:23:32	A320	A	71,1	73,4	83,4
3	12-02-2023 21:34:32	B38M	A	72,1	76,5	85,6
3	12-02-2023 21:38:24	B38M	A	71,4	73,7	83,8
3	12-02-2023 21:41:28	B738	A	72,5	75,7	85,5
3	12-02-2023 21:43:32	E195	A	71,0	74,6	84,2
3	12-02-2023 21:45:42	E75S	A	70,4	73,1	83,2
3	12-02-2023 21:47:43	E195	A	72,4	75,2	84,5
3	12-02-2023 21:50:09	E75S	A	71,2	73,4	82,4
3	12-02-2023 21:51:54	B38M	A	70,8	74,5	84,6
3	12-02-2023 21:53:52	E190	A	71,4	74,8	83,7
3	12-02-2023 21:55:51	E195	A	72,1	75,3	84,9
3	12-02-2023 21:58:29	E195	A	72,7	75,1	84,4
3	13-02-2023 06:01:46	E195	A	71,2	74,6	85,0
3	13-02-2023 06:04:07	E75S	A	70,7	74,3	84,0
3	13-02-2023 06:06:32	E190	A	72,0	75,1	85,2
3	13-02-2023 06:09:20	A21N	A	71,6	74,2	84,4
3	13-02-2023 06:11:25	E75S	A	69,1	71,4	82,1
3	13-02-2023 06:15:57	E190	A	72,6	76,1	85,1
3	13-02-2023 06:19:04	E75S	A	70,3	72,2	82,4
3	13-02-2023 06:21:22	E195	A	71,9	75,3	84,7
3	13-02-2023 06:23:33	E190	A	71,8	75,4	84,6
3	13-02-2023 06:25:55	E75S	A	70,8	73,0	82,9
3	13-02-2023 06:28:54	E195	A	73,1	76,0	85,6
3	13-02-2023 06:35:32	B738	A	71,3	76,0	85,1
3	13-02-2023 06:38:10	E75S	A	71,2	73,9	84,2
3	13-02-2023 06:40:46	A306	A	74,1	78,7	89,2
3	13-02-2023 07:07:24	B738	A	71,9	74,6	84,5
3	13-02-2023 07:30:10	B38M	A	71,9	75,3	85,9
3	13-02-2023 08:02:33	E170	A	70,3	72,3	82,6
3	13-02-2023 08:10:44	E190	A	70,8	73,6	82,8
3	13-02-2023 08:14:12	E170	A	70,6	72,8	82,0
3	13-02-2023 08:16:23	E195	A	72,4	75,2	85,2
3	13-02-2023 08:18:42	B38M	A	72,0	75,5	85,0
3	13-02-2023 08:22:18	E195	A	72,3	76,0	85,1
3	13-02-2023 08:27:40	A21N	A	72,8	77,7	87,5
3	13-02-2023 08:33:09	A320	A	72,5	76,3	85,9
3	13-02-2023 08:49:46	E290	A	70,1	71,7	82,1
3	13-02-2023 08:52:14	E75S	A	70,0	73,0	83,2
3	13-02-2023 08:54:42	E190	A	70,8	73,9	83,6
3	13-02-2023 08:56:57	CRJ9	A	70,8	73,6	82,9
3	13-02-2023 08:59:19	E75S	A	71,3	72,9	82,1
3	13-02-2023 09:02:05	B738	A	72,2	76,1	86,1
3	13-02-2023 09:13:13	CRJ9	A	69,6	71,3	82,8
3	13-02-2023 09:15:54	E170	A	70,7	73,2	83,1
3	13-02-2023 09:17:53	E195	A	72	75,8	84,8
3	13-02-2023 09:20:18	E190	A	71,5	74,7	84,7

Nr punktu pomiarowego	Data i godz. zdarzenia	Samolot	Operacja*	L _{Aeq}	L _{Max}	L _{AE}
				[dB]	[dB]	[dB]
3	13-02-2023 09:22:45	E195	A	71,7	74,9	83,4
3	13-02-2023 09:24:53	E75S	A	71	74	83,5
3	13-02-2023 09:27:07	E195	A	72,7	75,7	84,7
3	13-02-2023 09:29:09	E170	A	71,7	74,6	84,5
3	13-02-2023 09:31:27	E75S	A	72,6	75,6	84,6
3	13-02-2023 09:34:07	E75S	A	70,7	73,7	83,5
3	13-02-2023 09:41:13	B38M	A	70,2	75,1	84
3	13-02-2023 09:44:16	A21N	A	70,1	73,6	83,1
3	13-02-2023 09:46:57	E75S	A	72,2	75,2	84,2
3	13-02-2023 10:36:06	E75S	A	69,7	72,1	82,3
3	13-02-2023 10:38:28	E75S	A	69,3	72,4	81,8
3	13-02-2023 10:46:10	E170	A	70,3	73,3	82,0
3	13-02-2023 10:48:18	A321	A	72,0	74,9	85,0
3	13-02-2023 11:13:50	B789	A	73,3	76,9	87,5
3	13-02-2023 11:22:27	E195	A	70,9	74,6	84,7
3	13-02-2023 11:27:37	A21N	A	71,9	75,4	83,9
3	13-02-2023 11:31:35	A320	A	71,8	73,9	84,1
3	13-02-2023 11:34:00	E190	A	72,6	76,0	84,6
3	13-02-2023 11:45:48	B77W	A	75,1	79,4	89,6
3	13-02-2023 11:48:41	E190	A	71,4	74,9	85,3
3	13-02-2023 11:51:07	A21N	A	70,5	72,9	83,1
3	13-02-2023 11:53:24	E190	A	71,6	74,2	82,8
3	13-02-2023 11:55:21	BCS3	A	70,3	72,7	82,1
3	13-02-2023 11:57:43	A321	A	71,0	74,0	83,6
3	13-02-2023 11:59:51	E195	A	73,3	76,8	85,6
3	13-02-2023 12:01:49	E75S	A	72,5	76,1	85,5
3	13-02-2023 12:04:00	E190	A	71,6	75,5	84,1
3	13-02-2023 12:05:51	A21N	A	70,9	73,8	83,4
3	13-02-2023 12:07:49	A321	A	71,5	73,7	83,8
3	13-02-2023 12:10:05	E75S	A	71,5	73,9	82,6
3	13-02-2023 12:12:09	B789	A	72,0	75,2	86,1
3	13-02-2023 12:14:42	B38M	A	71,2	75,4	84,8
3	13-02-2023 12:16:53	E195	A	72,7	75,2	84,4
3	13-02-2023 12:18:52	B788	A	70,8	74,0	85,4
3	13-02-2023 12:21:20	B738	A	72,7	77,0	86,7
3	13-02-2023 12:23:26	E75S	A	72,2	74,7	84,0
3	13-02-2023 12:25:34	B788	A	72,6	76,2	86,0
3	13-02-2023 12:28:11	E170	A	72,0	74,4	83,2
3	13-02-2023 12:30:02	E170	A	71,5	74,5	82,9
3	13-02-2023 12:33:08	B738	A	73,1	76,8	85,9
3	13-02-2023 12:35:08	E170	A	69,9	72,0	82,0
3	13-02-2023 12:41:05	B788	A	70,8	75,1	86,5
3	13-02-2023 12:47:34	A333	A	77,3	86,4	92,4
3	13-02-2023 12:50:32	E195	A	72,3	74,5	84,3
3	13-02-2023 12:52:27	E170	A	71,6	76,4	84,8
3	13-02-2023 12:54:33	E190	A	71,9	75,1	84,2
3	13-02-2023 12:58:31	E75S	A	70,5	73,2	83,5
3	13-02-2023 13:00:31	E190	A	71,9	74,2	83,7
3	13-02-2023 13:02:43	E190	A	72,7	77,2	84,8
3	13-02-2023 13:04:54	E75S	A	71,0	74,0	83,0
3	13-02-2023 13:07:00	E195	A	72,8	75,5	84,6
3	13-02-2023 13:14:41	A319	A	70,7	73,6	83,5
3	13-02-2023 13:17:11	A21N	A	71,9	75,6	83,9
3	13-02-2023 13:19:13	E170	A	72,2	75,7	85,0
3	13-02-2023 13:30:46	E195	A	72,4	76,2	85,2
3	13-02-2023 13:45:30	E195	A	72,0	76,1	84,8
3	13-02-2023 13:48:31	E75S	A	72,2	74,8	84,5

Nr punktu pomiarowego	Data i godz. zdarzenia	Samolot	Operacja*	L_{Aeq}	L_{Amax}	L_{AE}
				[dB]	[dB]	[dB]
3	13-02-2023 13:50:52	E75S	A	71,5	74,5	83,3
3	13-02-2023 13:52:56	B38M	A	71,9	76,1	85,5
3	13-02-2023 13:59:53	E195	A	72,1	76,7	85,5
3	13-02-2023 14:03:29	BCS3	A	70,1	73,1	84,1
3	13-02-2023 14:18:50	E75S	A	70,9	74,0	82,7
3	13-02-2023 14:21:05	A319	A	72,0	74,1	84,5
3	13-02-2023 14:24:03	B38M	A	71,9	76,3	84,6
3	13-02-2023 14:36:33	E170	A	70,4	73,3	81,9
3	13-02-2023 14:39:34	B737	A	71,3	75,0	85,0
3	13-02-2023 14:46:39	A321	A	71,0	74,1	84,0
3	13-02-2023 15:10:17	E75S	A	70,4	73,2	82,5
3	13-02-2023 15:13:58	E195	A	72,8	76,3	85,1
3	13-02-2023 15:19:54	E75S	A	70,5	74,4	82,2
3	13-02-2023 15:21:50	E195	A	72,4	74,9	84,2
3	13-02-2023 15:23:18	E190	A	72,2	75,2	83,0
3	13-02-2023 15:24:56	E75S	A	70,6	72,0	82,4
3	13-02-2023 15:26:58	B38M	A	72,2	74,7	84,2
3	13-02-2023 15:29:05	E75S	A	71,4	74,3	83,7
3	13-02-2023 15:31:05	E195	A	71,7	74,1	84,0
3	13-02-2023 15:33:17	B738	A	73,8	76,8	85,9
3	13-02-2023 15:35:49	B789	A	72,8	75,1	85,8
3	13-02-2023 15:38:25	E170	A	70,0	72,0	80,8
3	13-02-2023 15:40:53	E75S	A	70,6	73,0	82,3
3	13-02-2023 15:47:01	E195	A	71,6	74,9	85,0
3	13-02-2023 15:49:46	E190	A	72,4	74,8	84,2
3	13-02-2023 15:54:48	B38M	A	72,3	74,9	85,1
3	13-02-2023 16:05:00	CRJ9	A	69,9	72,6	82,2
3	13-02-2023 16:17:25	A321	A	72,0	75,1	85,0
3	13-02-2023 16:21:11	E190	A	72,5	77,4	85,3
3	13-02-2023 16:31:57	B738	A	72,2	75,5	84,9
3	13-02-2023 16:35:47	A332	A	72,4	76,8	88,2
3	13-02-2023 16:40:17	B38M	A	70,9	73,7	84,2
3	13-02-2023 16:46:00	A321	A	73,4	77,5	86,4
3	13-02-2023 16:50:15	A21N	A	71,5	74,8	84,9
3	13-02-2023 16:54:31	A321	A	72,5	75,1	84,8
3	13-02-2023 17:28:34	A321	A	71,4	75,1	85,1
3	13-02-2023 17:34:40	E190	A	71,9	74,2	84,5
3	13-02-2023 17:39:20	E195	A	72,1	76,8	86,4
3	13-02-2023 17:49:28	E170	A	71,1	74,5	83,7
3	13-02-2023 17:52:40	E190	A	72,4	76,3	84,5
3	13-02-2023 18:11:59	E190	A	71,7	74,7	84,0
3	13-02-2023 18:15:12	E75S	A	70,9	73,0	82,6
3	13-02-2023 18:18:17	CRJ9	A	69,9	71,7	81,0
3	13-02-2023 18:26:28	E190	A	70,8	73,0	82,8
3	13-02-2023 18:29:27	E170	A	70,5	72,6	81,9
3	13-02-2023 18:32:24	E195	A	72,7	75,9	84,5
3	13-02-2023 18:39:14	B738	A	71,1	75,1	84,5
3	13-02-2023 18:41:35	A20N	A	71,8	74,2	84,1
3	13-02-2023 18:43:31	E75S	A	70,5	75,1	84,7
3	13-02-2023 18:45:49	E75S	A	70,6	73,0	82,4
3	13-02-2023 18:51:05	B738	A	71,5	74,6	84,5
3	13-02-2023 18:53:03	E170	A	70,3	73,7	83,1
3	13-02-2023 18:55:21	E75S	A	70,5	72,9	82,5
3	13-02-2023 18:57:33	E170	A	70,1	72,7	81,8
3	13-02-2023 18:59:49	E75S	A	70,2	72,5	81,6
3	13-02-2023 19:02:00	B38M	A	71,4	74,2	84,2
3	13-02-2023 19:07:45	C295	A	70	73,5	83,5

Nr punktu pomiarowego	Data i godz. zdarzenia	Samolot	Operacja*	L_{Aeq}	L_{Amax}	L_{AE}
				[dB]	[dB]	[dB]
3	13-02-2023 19:15:44	B38M	A	71,6	74,8	84,9
3	13-02-2023 19:19:30	E190	A	71,4	74,2	84,2
3	13-02-2023 19:21:58	E75S	A	69,8	72,3	82,6
3	13-02-2023 19:24:23	E75S	A	71,2	73,1	83
3	13-02-2023 19:56:00	B738	A	71,4	75,9	84,8
3	13-02-2023 20:19:40	B38M	A	71,9	75	85,3
3	13-02-2023 20:32:27	E75S	A	70,6	73,6	82,1
3	13-02-2023 20:38:04	B738	A	73,8	78,9	86,8
3	13-02-2023 20:42:17	E75S	A	71,2	74,9	84
3	13-02-2023 20:50:23	E170	A	70,2	72,6	82,5
3	13-02-2023 20:55:08	E195	A	72,4	76,1	85,2
3	13-02-2023 20:56:51	E195	A	72,2	75,8	85
3	13-02-2023 20:59:16	E195	A	72,6	75,8	84
3	13-02-2023 21:14:51	E195	A	72,7	75,7	86,1
3	13-02-2023 21:19:30	E170	A	71,2	73,2	83,0
3	13-02-2023 21:24:56	B38M	A	69,8	74,3	84,1
3	13-02-2023 21:27:48	B38M	A	70,2	74,5	83,9
3	13-02-2023 21:30:09	B38M	A	70	72,8	83
3	13-02-2023 21:32:23	A319	A	71,8	74,9	85,1
3	13-02-2023 21:34:35	E195	A	72,3	76,4	85,1
3	13-02-2023 21:36:33	E190	A	70,9	73,9	83,9
3	13-02-2023 21:40:21	E190	A	72,6	75,9	84,6
3	13-02-2023 21:42:46	CRJ2	A	70,1	73,3	82,1
3	13-02-2023 21:45:34	PC12	A	70,6	73,1	82,4
3	13-02-2023 21:49:01	E75S	A	71,4	74,3	83,1
3	13-02-2023 21:52:16	E75S	A	70,8	72,5	82,6
3	13-02-2023 21:54:30	E195	A	73,1	77,8	86,1
3	13-02-2023 21:59:07	B738	A	72,2	74,3	84,5
3	14-02-2023 06:01:02	E195	A	71,2	73,6	82,9
3	14-02-2023 06:05:29	E75S	A	69,4	71,3	80,2
3	14-02-2023 06:10:39	E195	A	72,1	75,5	83,5
3	14-02-2023 06:16:14	E75S	A	69,4	71,3	80,6
3	14-02-2023 06:18:26	E75S	A	70,7	72,5	81,9
3	14-02-2023 06:20:19	E170	A	69,9	71,3	81,7
3	14-02-2023 06:22:39	E75S	A	69,7	71,1	80,5
3	14-02-2023 06:30:30	E75S	A	70,6	72,9	81,8
3	14-02-2023 06:38:10	B734	A	74,5	77,9	85,9
3	14-02-2023 06:40:55	E190	A	69,9	72,6	81,6
3	14-02-2023 07:24:39	B38M	A	71,4	75,0	83,1
3	14-02-2023 08:02:55	E190	A	70,3	73,7	82,0
3	14-02-2023 08:10:31	B38M	A	70,8	73,4	83,6
3	14-02-2023 08:20:37	E170	A	69,9	71,3	81,1
3	14-02-2023 08:36:37	E195	A	72,2	75	82,7
3	14-02-2023 08:52:25	GLEX	A	70,5	73,4	82,5
3	14-02-2023 08:54:27	E190	A	73,2	77,0	84,6
3	14-02-2023 08:57:05	E170	A	70,1	72,3	80,1
3	14-02-2023 09:00:27	E75S	A	70,2	72,6	81,0
3	14-02-2023 09:12:30	E195	A	70,8	73,9	82,6
3	14-02-2023 09:14:21	BCS1	A	71,8	74,6	82,9
3	14-02-2023 09:16:58	E190	A	71,3	75,3	83,9
3	14-02-2023 09:19:24	CRJ9	A	69,5	70,5	79,5
3	14-02-2023 09:22:16	E170	A	70,4	72,9	81,2
3	14-02-2023 09:24:38	E190	A	71,2	74,9	82,0
3	14-02-2023 09:27:15	E75S	A	69,5	71,6	80,9
3	14-02-2023 09:29:16	E195	A	72,2	76,3	84,2
3	14-02-2023 09:31:39	E75S	A	68,8	69,9	79,2
3	14-02-2023 09:33:59	E75S	A	69,7	72,0	80,5

Nr punktu pomiarowego	Data i godz. zdarzenia	Samolot	Operacja*	L_{Aeq}	L_{Amax}	L_{AE}
				[dB]	[dB]	[dB]
3	14-02-2023 09:36:45	E75S	A	69,8	73,9	82,3
3	14-02-2023 09:46:07	A21N	A	70,1	73,1	81,6
3	14-02-2023 10:24:43	E75S	A	69,8	72,8	80,6
3	14-02-2023 10:31:56	E170	A	69,2	71,8	80,7
3	14-02-2023 10:46:22	E170	A	69,6	71,1	80,0
3	14-02-2023 10:55:47	B789	A	72,2	75,1	84,7
3	14-02-2023 10:59:33	E195	A	71,6	75,0	83,6
3	14-02-2023 11:10:08	B77W	A	73,7	78,1	87,7
3	14-02-2023 11:29:53	E75S	A	70,5	73,7	81,7
3	14-02-2023 11:45:14	A21N	A	70,3	72,3	81,7
3	14-02-2023 11:48:02	A321	A	70,2	71,5	81,0
3	14-02-2023 11:50:07	E190	A	71,1	74,9	82,3
3	14-02-2023 11:53:31	E190	A	71,3	74,2	82,8
3	14-02-2023 12:03:02	E195	A	70,7	73,8	83,2
3	14-02-2023 12:04:56	E195	A	71,2	74,4	83,0
3	14-02-2023 12:07:08	BCS3	A	69,4	71,5	79,8
3	14-02-2023 12:11:38	E190	A	71,6	74,7	83,4
3	14-02-2023 12:13:26	E75S	A	69,3	70,9	80,8
3	14-02-2023 12:16:49	E75S	A	69,7	72,0	81,2
3	14-02-2023 12:19:47	E190	A	71,6	74,0	83,3
3	14-02-2023 12:22:00	E75S	A	70,2	72,7	81,4
3	14-02-2023 12:24:35	B789	A	72,7	75,2	84,7
3	14-02-2023 12:27:13	B788	A	71,5	73,0	83,5
3	14-02-2023 12:29:45	B38M	A	70,7	72,6	82,4
3	14-02-2023 12:32:03	B789	A	71,8	74,7	84,3
3	14-02-2023 12:34:08	B788	A	71,5	75,1	85,1
3	14-02-2023 12:36:49	E170	A	71,4	73,3	82,9
3	14-02-2023 12:38:51	E195	A	71,4	73,7	82,9
3	14-02-2023 12:40:57	E195	A	71,2	73,9	83,0
3	14-02-2023 12:46:05	E170	A	69,9	71,7	81,7
3	14-02-2023 12:53:15	E190	A	70,3	71,8	81,7
3	14-02-2023 12:57:00	A319	A	71,7	74,6	83,1
3	14-02-2023 12:59:24	E170	A	70,1	72,3	81,2
3	14-02-2023 13:02:10	E170	A	69,2	71,4	78,2
3	14-02-2023 13:08:07	B38M	A	71,1	73,9	82,9
3	14-02-2023 13:11:54	B788	A	72,3	75,8	85,5
3	14-02-2023 13:21:01	PC12	A	70,7	73,3	80,7
3	14-02-2023 13:27:17	PC24	A	69,8	71,4	78,8
3	14-02-2023 13:45:14	E75S	A	70,3	72,5	81,5
3	14-02-2023 13:47:56	E75S	A	70,3	72,5	81,8
3	14-02-2023 13:50:34	A21N	A	71	73,2	82,5
3	14-02-2023 13:57:50	A320	A	71,5	73,9	83
3	14-02-2023 14:00:00	A321	A	71,5	74,7	83,3
3	14-02-2023 14:02:05	E195	A	70,1	72	81,9
3	14-02-2023 14:06:30	E195	A	70,6	72,8	82,4
3	14-02-2023 14:11:22	E75S	A	70,3	72,9	81,8
3	14-02-2023 14:14:42	LJ75	A	68,6	71,3	78,1
3	14-02-2023 14:17:25	E190	A	70,8	73,7	82,9
3	14-02-2023 14:25:31	A21N	A	70,6	72,8	82,0
3	14-02-2023 14:30:11	B38M	A	71,0	74,2	82,8
3	14-02-2023 14:41:38	E75S	A	71,6	74,6	83,1
3	14-02-2023 15:01:26	A321	A	69,6	71,1	81,6
3	14-02-2023 15:05:12	E170	A	71,1	73,8	83,4
3	14-02-2023 15:16:31	E190	A	71,2	75,9	82,7
3	14-02-2023 15:26:06	E195	A	72,1	74,9	84,2
3	14-02-2023 15:28:46	E75S	A	69,3	71,4	80,8
3	14-02-2023 15:31:07	E75S	A	70,8	73,7	82,5

Nr punktu pomiarowego	Data i godz. zdarzenia	Samolot	Operacja*	L_{Aeq}	L_{Amax}	L_{AE}
				[dB]	[dB]	[dB]
3	14-02-2023 15:33:20	E170	A	70,3	72,2	81,5
3	14-02-2023 15:35:19	E190	A	71,0	74,3	83,3
3	14-02-2023 15:37:17	A21N	A	70,9	73,4	82,9
3	14-02-2023 15:39:20	B38M	A	72,4	77,7	85,8
3	14-02-2023 15:41:41	E75S	A	71,0	73,6	83,0
3	14-02-2023 15:43:46	A321	A	69,8	72,7	83,2
3	14-02-2023 15:45:55	E195	A	72,0	75,0	84,5
3	14-02-2023 15:48:17	E75S	A	70,4	72,4	82,4
3	14-02-2023 16:13:03	E190	A	71,5	75,2	84,3
3	14-02-2023 16:53:12	A320	A	71,8	74,0	83,5
3	14-02-2023 17:05:27	B788	A	72,0	75,7	85,6
3	14-02-2023 17:08:40	A321	A	71,5	74,0	84,1
3	14-02-2023 17:12:42	E170	A	70,5	72,7	82,3
3	14-02-2023 17:33:46	A321	A	70,0	72,0	82,1
3	14-02-2023 17:36:43	E195	A	71,8	74,0	83,8
3	14-02-2023 17:46:55	A321	A	73,0	77,0	85,8
3	14-02-2023 17:49:09	E170	A	70,9	74,1	82,0
3	14-02-2023 17:54:56	A20N	A	71,5	74,1	84,1
3	14-02-2023 17:58:05	E195	A	71,9	75,7	83,9
3	14-02-2023 18:08:13	B738	A	73,4	77,1	85,9
3	14-02-2023 18:16:19	E170	A	69,1	70,9	79,8
3	14-02-2023 18:24:09	B789	A	71,9	75,5	86,2
3	14-02-2023 18:27:07	E195	A	72,3	75,7	84,8
3	14-02-2023 18:30:43	E190	A	70,4	72,6	82,9
3	14-02-2023 18:33:24	E190	A	72	74,9	84,1
3	14-02-2023 18:35:31	E75S	A	72,1	73,9	84,1
3	14-02-2023 18:37:56	E75S	A	71,3	73,8	83,1
3	14-02-2023 18:40:06	CRJ9	A	70,6	72,5	82,6
3	14-02-2023 18:43:25	E170	A	71,4	73,3	82,9
3	14-02-2023 18:46:47	B38M	A	71,5	75	84,8
3	14-02-2023 18:49:21	E75S	A	70,1	72,9	82,4
3	14-02-2023 18:51:39	E75S	A	70,7	73,3	82,4
3	14-02-2023 18:54:17	E195	A	71,9	75,4	84,2
3	14-02-2023 18:56:35	E75S	A	70	72,3	81,8
3	14-02-2023 18:58:33	B38M	A	72,9	75,1	85,4
3	14-02-2023 19:01:46	E75S	A	70,8	72,8	82
3	14-02-2023 19:04:18	E195	A	71,5	75,1	84,5
3	14-02-2023 19:06:21	E195	A	71,8	74,3	84,1
3	14-02-2023 19:08:21	E75S	A	69,9	72,6	82,9
3	14-02-2023 19:10:46	E75S	A	70,8	74	83,6
3	14-02-2023 19:15:06	E190	A	70,8	74	83,4
3	14-02-2023 19:23:36	A20N	A	71,3	74,4	83,9
3	14-02-2023 19:51:04	B38M	A	71,3	74	84,3
3	14-02-2023 19:54:01	B38M	A	72,8	76,1	85,8
3	14-02-2023 20:39:14	E75S	A	70,2	72,7	82,5
3	14-02-2023 21:01:04	E195	A	72,7	75,7	84,7
3	14-02-2023 21:04:34	E190	A	71,2	73,6	83,5
3	14-02-2023 21:06:45	E190	A	71,8	75	83,8
3	14-02-2023 21:15:39	E170	A	70	71,5	80,8
3	14-02-2023 21:17:38	E195	A	72,8	76,7	85,1
3	14-02-2023 21:19:21	E195	A	70,4	73,8	83,5
3	14-02-2023 21:21:36	E195	A	72,3	75,4	84,8
3	14-02-2023 21:24:51	E170	A	69,7	71,2	80,1
3	14-02-2023 21:28:52	B38M	A	71,3	74,3	84,9
3	14-02-2023 21:31:11	E170	A	70,5	71,9	81,6
3	14-02-2023 21:33:34	E195	A	71,5	74,6	84,3
3	14-02-2023 21:41:58	E75S	A	70,8	73,9	83,3

Nr punktu pomiarowego	Data i godz. zdarzenia	Samolot	Operacja*	L _{Aeq}	L _{Max}	L _{AE}
				[dB]	[dB]	[dB]
3	14-02-2023 21:48:00	B38M	A	71,7	75,8	85,3
3	14-02-2023 21:50:24	E75S	A	70,2	72,6	82
3	14-02-2023 21:52:44	E75S	A	69,7	72,3	81,2
3	14-02-2023 21:54:41	E195	A	72,9	76,2	85
3	15-02-2023 06:01:24	A306	A	74,7	78,1	86,5
3	15-02-2023 06:04:20	E195	A	70,4	72,2	81,2
3	15-02-2023 06:10:55	E195	A	70,8	72,8	81,6
3	15-02-2023 06:16:13	E75S	A	69,9	71,7	79,5
3	15-02-2023 06:19:55	B734	A	70,6	72,2	81,0
3	15-02-2023 06:22:49	E190	A	70,9	72,6	80,9
3	15-02-2023 06:24:47	E190	A	70,1	71,7	79,7
3	15-02-2023 06:26:35	E170	A	68,7	70,5	78,3
3	15-02-2023 06:28:24	E75S	A	69,5	70,9	79,9
3	15-02-2023 06:30:30	E75S	A	68,4	70,3	78,4
3	15-02-2023 06:32:52	E75S	A	69,4	70,7	78,9
3	15-02-2023 07:13:23	B738	A	70,7	72,8	81,5
3	15-02-2023 07:23:04	B789	A	71,1	73,7	82,2
3	15-02-2023 07:58:51	E75S	A	71,5	73,9	82
3	15-02-2023 08:03:34	C17	A	78	82,1	91,6
3	15-02-2023 08:14:30	E170	A	69,4	71,1	79,4
3	15-02-2023 08:17:26	E190	A	70,8	72,3	81,6
3	15-02-2023 08:38:11	A319	A	69,3	70,4	78,8
3	15-02-2023 08:40:42	E195	A	71,4	73,2	81,4
3	15-02-2023 08:44:44	E190	A	69	70,7	79,8
3	15-02-2023 08:46:57	E170	A	70,8	72,7	80,8
3	15-02-2023 08:51:17	E75S	A	70,4	71,8	80,4
3	15-02-2023 08:53:55	B38M	A	70,9	72,9	81,7
3	15-02-2023 08:56:25	B38M	A	71,1	73,4	81,9
3	15-02-2023 09:01:32	E170	A	68,6	70,7	77,7
3	15-02-2023 09:04:29	E195	A	71,6	74,4	82
3	15-02-2023 09:13:15	E190	A	69,9	72,7	80,7
3	15-02-2023 09:15:16	E170	A	69,5	70,9	79
3	15-02-2023 09:17:14	CRJ9	A	69,9	71,8	79,4
3	15-02-2023 09:29:23	E75S	A	69,7	70,7	78,8
3	15-02-2023 09:31:21	E75S	A	68,4	70,5	78,4
3	15-02-2023 09:34:13	E190	A	68,9	70,8	79,3
3	15-02-2023 09:42:08	E75S	A	68,9	70,1	78,5
3	15-02-2023 09:43:56	E195	A	69,9	72,2	80,3
3	15-02-2023 10:31:14	A320	A	70,3	72,0	80,3
3	15-02-2023 11:01:49	A321	A	68,8	70,1	77,8
3	15-02-2023 11:08:47	B789	A	71,3	73,6	82,8
3	15-02-2023 11:17:11	B77W	A	74,2	77,5	86,3
3	15-02-2023 11:20:15	M28	A	70,2	72,0	79,7
3	15-02-2023 11:28:03	E190	A	69,8	71,5	80,2
3	15-02-2023 11:37:35	B738	A	70,8	73,0	81,2
3	15-02-2023 11:39:40	PC12	A	70,1	72	79,1
3	15-02-2023 11:51:03	E195	A	71,0	72,9	81,4
3	15-02-2023 11:55:42	A21N	A	68,9	69,7	77,9
3	15-02-2023 11:58:26	BCS3	A	71,0	73,7	81,4
3	15-02-2023 12:02:35	E75S	A	71,0	73,3	81,4
3	15-02-2023 12:04:20	A321	A	70,7	71,8	81,2
3	15-02-2023 12:05:59	E190	A	70,4	71,9	80,4
3	15-02-2023 12:09:20	A21N	A	70,6	72,1	80,6
3	15-02-2023 12:11:17	E190	A	69,7	71,4	79,7
3	15-02-2023 12:13:06	E195	A	70,2	71,7	79,7
3	15-02-2023 12:14:48	E195	A	70,1	72,9	80,5
3	15-02-2023 12:16:29	A321	A	69,4	70,7	79,4

Nr punktu pomiarowego	Data i godz. zdarzenia	Samolot	Operacja*	L_{Aeq}	L_{Amax}	L_{AE}
				[dB]	[dB]	[dB]
3	15-02-2023 12:18:06	A333	A	73,4	76,7	85,2
3	15-02-2023 12:19:56	B788	A	70,7	72,8	80,7
3	15-02-2023 12:22:08	E75S	A	69,2	70,5	78,2
3	15-02-2023 12:25:22	E75S	A	68,9	70,6	78,5
3	15-02-2023 12:29:21	E195	A	70,9	73,8	82,1
3	15-02-2023 12:31:39	E195	A	70,8	73,0	80,8
3	15-02-2023 12:37:01	B789	A	71,1	72,5	81,1
3	15-02-2023 12:40:52	E190	A	69,4	72,6	80,2
3	15-02-2023 12:48:38	B788	A	72,5	75,4	83,6
3	15-02-2023 12:50:51	E190	A	70,5	72,2	80,1
3	15-02-2023 13:01:08	E170	A	69,8	70,7	78,8
3	15-02-2023 13:11:32	E170	A	69,3	70,6	78,8
3	15-02-2023 13:13:14	E75S	A	68,7	69,9	78,3
3	15-02-2023 13:15:28	B789	A	72,2	75,3	84,0
3	15-02-2023 13:21:35	A321	A	70,2	72,1	79,7
3	15-02-2023 13:47:29	B38M	A	71,1	72,8	81,5
3	15-02-2023 13:51:53	E75S	A	69,8	71,3	78,8
3	15-02-2023 14:02:30	E195	A	70,8	72,9	80,4
3	15-02-2023 14:04:44	E190	A	70,3	72,3	79,9
3	15-02-2023 14:07:14	B38M	A	71,0	74,6	81,5
3	15-02-2023 14:12:50	E295	A	69,4	70,9	78,4
3	15-02-2023 14:19:39	B38M	A	71,3	73,6	82,1
3	15-02-2023 14:46:15	A319	A	70,0	71,9	80,0
3	15-02-2023 14:49:35	W3	A	71,8	75,0	85,5
3	15-02-2023 15:03:24	A21N	A	70,1	71,9	80,1
3	15-02-2023 15:05:25	E75S	A	69,9	71,1	79,4
3	15-02-2023 15:16:52	E75S	A	69,3	70,5	78,8
3	15-02-2023 15:19:33	E170	A	69,0	70,1	78,1
3	15-02-2023 15:22:17	B38M	A	72,1	74,7	83,2
3	15-02-2023 15:23:48	E190	A	71,0	72,5	81,4
3	15-02-2023 15:25:51	E170	A	71,2	73,6	80,8
3	15-02-2023 15:28:48	E190	A	70,2	72,1	80,6
3	15-02-2023 15:31:47	E75S	A	69,8	71,5	79,4
3	15-02-2023 15:33:25	A21N	A	70,1	71,8	79,7
3	15-02-2023 15:35:52	E170	A	69,6	71,7	80
3	15-02-2023 15:47:35	E75S	A	69,7	71,2	78,8
3	15-02-2023 15:49:23	E195	A	69,7	72,3	81,2
3	15-02-2023 15:51:33	E195	A	70,3	71,6	79,9
3	15-02-2023 15:58:37	E195	A	69,6	71,2	79,6
3	15-02-2023 16:08:51	A321	A	70,5	74,2	83,5
3	15-02-2023 16:10:43	B38M	A	69,5	74	82,7
3	15-02-2023 16:34:28	E75S	A	70,3	71,8	79,4
3	15-02-2023 16:36:53	E190	A	69,9	72,3	80,7
3	15-02-2023 16:45:06	A321	A	70,1	72,3	80,5
3	15-02-2023 16:47:42	B738	A	72	74,9	83,5
3	15-02-2023 16:59:28	A321	A	70,1	71,8	80,9
3	15-02-2023 17:10:24	B733	A	70,5	71,8	80
3	15-02-2023 17:14:18	A321	A	69,8	71,5	79,4
3	15-02-2023 17:21:09	E75S	A	68,9	70,9	78,9
3	15-02-2023 17:35:10	E190	A	70,1	71,4	80,1
3	15-02-2023 17:40:11	CRJ9	A	69,2	70,3	78,3
3	15-02-2023 17:42:01	A319	A	70,4	72,5	80,8
3	15-02-2023 17:47:07	A321	A	70,5	71,8	80,5
3	15-02-2023 17:54:27	E75S	A	69,6	72,2	79,6
3	15-02-2023 18:06:13	A320	A	71	72,6	80,5
3	15-02-2023 18:09:03	E190	A	70,2	72,6	80,7
3	15-02-2023 18:22:07	E190	A	70,6	71,9	81

Nr punktu pomiarowego	Data i godz. zdarzenia	Samolot	Operacja*	L _{Aeq}	L _{Max}	L _{AE}
				[dB]	[dB]	[dB]
3	15-02-2023 18:27:46	CRJ9	A	69,9	71,4	79,9
3	15-02-2023 18:32:19	E195	A	70,9	73	81,3
3	15-02-2023 18:34:34	E170	A	70,5	72,4	79,5
3	15-02-2023 18:36:51	E190	A	70,4	72,5	80,8
3	15-02-2023 18:41:05	A320	A	69,9	72,3	79,9
3	15-02-2023 18:43:13	E195	A	72,5	74,9	82,0
3	15-02-2023 18:45:16	E195	A	70,9	73,0	80,5
3	15-02-2023 18:47:58	B738	A	72,3	75,8	83,8
3	15-02-2023 18:51:39	E75S	A	70,3	72,3	79,9
3	15-02-2023 18:53:27	E170	A	70,7	72,9	80,7
3	15-02-2023 18:57:58	C295	A	71,8	74,0	81,3
3	15-02-2023 19:00:10	E195	A	70,4	71,6	79,9
3	15-02-2023 19:04:29	E75S	A	69,3	72,2	80,1
3	15-02-2023 19:08:45	W3	A	74,5	78,0	86,6
3	15-02-2023 19:12:43	E75S	A	69,6	71,2	79,6
3	15-02-2023 19:25:21	C17	A	76,2	80,0	89,0
3	15-02-2023 19:28:44	B738	A	72,7	75,1	84,8
3	15-02-2023 19:30:53	E75S	A	70,5	72,4	80,5
3	15-02-2023 19:37:36	E190	A	71,3	73,0	80,9
3	15-02-2023 19:49:13	E170	A	69,8	71,9	79,8
3	15-02-2023 19:51:56	B738	A	73,0	76,1	84,4
3	16-02-2023 06:26:08	E190	A	71,6	73,5	83,0
3	16-02-2023 06:28:35	E75S	A	70,6	74,4	82,9
3	16-02-2023 06:30:35	E170	A	70,1	71,9	81,3
3	16-02-2023 06:33:12	B734	A	72,1	74,2	83,2
3	16-02-2023 06:35:00	B38M	A	72,3	74,9	84,3
3	16-02-2023 06:37:02	E75S	A	71,2	73,4	82,0
3	16-02-2023 06:39:13	B738	A	71,5	74,3	83,8
3	16-02-2023 06:41:56	E75S	A	70,4	73,0	82,2
3	16-02-2023 06:55:48	GA5C	A	68,9	70,1	78,0
3	16-02-2023 07:11:48	B38M	A	71,5	74,0	83,8
3	16-02-2023 08:14:40	B38M	A	71,9	74,4	83,7
3	16-02-2023 08:19:18	E170	A	70,8	72,5	81,6
3	16-02-2023 08:24:32	B737	A	71,8	73,9	84,1
3	16-02-2023 08:26:27	A21N	A	71,6	73,9	83,4
3	16-02-2023 08:34:33	E190	A	70,2	72,2	82,2
3	16-02-2023 08:37:31	E195	A	71,3	75,2	84,3
3	16-02-2023 08:44:40	A320	A	72,2	75,7	84,3
3	16-02-2023 08:50:55	C295	A	71,5	72,8	82,0
3	16-02-2023 08:54:45	E75S	A	70,2	72,1	81,7
3	16-02-2023 08:56:27	A320	A	72,4	75,3	84,7
3	16-02-2023 09:05:04	E195	A	72,2	75,7	84,9
3	16-02-2023 09:08:15	E170	A	70,2	73,2	82,0
3	16-02-2023 09:10:24	E190	A	71,3	74,3	83,6
3	16-02-2023 09:16:26	E190	A	72,1	74,7	83,6
3	16-02-2023 09:18:59	E195	A	71,3	75,2	84,5
3	16-02-2023 09:21:11	E170	A	70,2	72,3	81,4
3	16-02-2023 09:23:36	E75S	A	69,6	71,3	80,8
3	16-02-2023 09:28:46	CRJ9	A	70,6	74	83,1
3	16-02-2023 09:31:21	E75S	A	69,2	71,6	80,6
3	16-02-2023 09:36:00	E75S	A	69,7	71,4	81,2
3	16-02-2023 09:38:18	E170	A	70,6	72,8	81,4
3	16-02-2023 09:43:27	B38M	A	70,1	73,7	83,9
3	16-02-2023 09:48:25	E190	A	71,3	73,7	83,8
3	16-02-2023 09:54:41	E75S	A	69,9	72,3	81
3	16-02-2023 10:37:41	E170	A	70,4	73	81,9
3	16-02-2023 11:12:42	B77W	A	75,6	81	89,6

Nr punktu pomiarowego	Data i godz. zdarzenia	Samolot	Operacja*	L_{Aeq}	L_{Amax}	L_{AE}
				[dB]	[dB]	[dB]
3	16-02-2023 11:26:49	A319	A	69,9	72	81
3	16-02-2023 11:29:59	B789	A	72,1	75,6	85,5
3	16-02-2023 11:34:13	A321	A	71,1	74	82,9
3	16-02-2023 11:36:13	E195	A	72,1	76	84,1
3	16-02-2023 11:38:11	C17	A	75,7	81,5	90,2
3	16-02-2023 11:40:50	E190	A	72,1	75	83,6
3	16-02-2023 11:42:58	A321	A	70,1	72,6	82,4
3	16-02-2023 11:46:00	B788	A	73,4	76,9	86,7
3	16-02-2023 11:51:39	E75S	A	69,8	71,7	80,6
3	16-02-2023 11:57:24	BCS3	A	69,6	71,3	80,7
3	16-02-2023 11:59:26	E75S	A	71,2	73,5	83
3	16-02-2023 12:04:28	E75S	A	71,7	74,6	82,8
3	16-02-2023 12:10:02	E195	A	71,4	74,3	83,4
3	16-02-2023 12:13:07	E190	A	71,5	74	82,3
3	16-02-2023 12:15:21	E170	A	70,1	71,9	80,1
3	16-02-2023 12:17:15	E75S	A	70,5	72,9	82
3	16-02-2023 12:22:41	C700	A	68,8	70	78,3
3	16-02-2023 12:25:24	E170	A	70,4	73,6	81,8
3	16-02-2023 12:27:12	E75S	A	70,7	74,5	83,3
3	16-02-2023 12:29:10	E195	A	71,8	74,7	83,6
3	16-02-2023 12:31:12	B789	A	70,8	74,9	85,2
3	16-02-2023 12:33:44	E195	A	73	76,3	84,2
3	16-02-2023 12:35:49	E190	A	70,8	72,9	82
3	16-02-2023 12:37:35	B789	A	72,3	76,5	86,3
3	16-02-2023 12:40:09	E190	A	70,9	72,8	81,7
3	16-02-2023 12:42:03	B38M	A	71,3	74,7	82,8
3	16-02-2023 12:44:05	E190	A	71	74,4	82,1
3	16-02-2023 12:46:07	E170	A	70,5	72,8	81,6
3	16-02-2023 12:51:30	B788	A	72,4	75,0	85,4
3	16-02-2023 13:02:01	A319	A	70,8	73,9	82,3
3	16-02-2023 13:08:39	B788	A	73,0	76,3	85,3
3	16-02-2023 13:11:19	A321	A	70,6	72,3	82,1
3	16-02-2023 13:13:21	E190	A	71,3	73,5	82,1
3	16-02-2023 13:15:18	E170	A	70,7	72,5	80,7
3	16-02-2023 13:17:01	B738	A	71,6	74,7	84,4
3	16-02-2023 13:18:59	A21N	A	71,2	74,8	84,2
3	16-02-2023 13:21:16	A321	A	71,4	74,1	83,2
3	16-02-2023 13:44:17	E75S	A	71,0	73,4	82,2
3	16-02-2023 13:49:22	E75S	A	70,9	72,9	81,3
3	16-02-2023 13:58:29	B38M	A	71,4	74,8	84,4
3	16-02-2023 14:07:28	BCS3	A	69,9	72	81,4
3	16-02-2023 14:09:27	E195	A	72,6	75	84,1
3	16-02-2023 14:29:38	E190	A	71,1	73,7	83,4
3	16-02-2023 14:46:00	B38M	A	72,3	75,8	84,6
3	16-02-2023 14:50:00	E170	A	69,2	70,9	80
3	16-02-2023 14:52:18	A21N	A	71,2	73,4	83,2
3	16-02-2023 14:54:41	PC12	A	71,1	74	81,8
3	16-02-2023 15:01:51	E75S	A	70,5	73,2	82,2
3	16-02-2023 15:05:52	A21N	A	71,6	73,9	84
3	16-02-2023 15:11:14	E75S	A	70,4	73,8	82,1
3	16-02-2023 15:18:49	B738	A	72,4	75,3	84,5
3	16-02-2023 15:26:20	E75S	A	70,5	73,2	81,6
3	16-02-2023 15:28:36	E190	A	71,7	74,8	84,5
3	16-02-2023 15:32:08	B789	A	72,2	75,7	85,4
3	16-02-2023 15:37:29	E75S	A	69,6	70,9	80,4
3	16-02-2023 15:39:27	E170	A	70,7	72,8	82,7
3	16-02-2023 15:41:31	E190	A	70,9	73,5	82,6

Nr punktu pomiarowego	Data i godz. zdarzenia	Samolot	Operacja*	L_{Aeq}	L_{Amax}	L_{AE}
				[dB]	[dB]	[dB]
3	16-02-2023 15:44:06	E170	A	70,9	73,5	82,4
3	16-02-2023 15:46:59	B38M	A	72	74,1	84,8
3	16-02-2023 15:49:25	E195	A	71,1	75,4	84,1
3	16-02-2023 15:51:58	C130	A	75,5	78,9	87,5
3	16-02-2023 15:54:03	E195	A	71,1	74	83,4
3	16-02-2023 15:56:18	E190	A	71,3	74,8	84,7
3	16-02-2023 15:58:33	C130	A	75,3	80,1	87,8
3	16-02-2023 16:01:31	E75S	A	69,5	70,8	80,6
3	16-02-2023 16:03:27	E75S	A	71	73	82,7
3	16-02-2023 16:24:35	C56X	A	69,3	70,6	78,3
3	16-02-2023 16:31:20	E190	A	71,8	74,8	83
3	16-02-2023 16:34:05	B38M	A	71,3	73,7	84
3	16-02-2023 16:39:51	A321	A	69,5	71,6	80,6
3	16-02-2023 16:49:37	A320	A	72,1	74,7	84,1
3	16-02-2023 17:17:43	E170	A	70,4	72,6	81,8
3	16-02-2023 17:29:29	B789	A	72,7	75,8	86,1
3	16-02-2023 17:36:55	E195	A	72,5	75,2	84,5
3	16-02-2023 17:44:07	E195	A	71	74,1	83,1
3	16-02-2023 17:53:40	CRJ9	A	69,1	71	80,3
3	16-02-2023 17:56:34	E170	A	71,6	74	83,1
3	16-02-2023 18:06:58	B788	A	70,8	72,9	83,6
3	16-02-2023 18:14:37	E195	A	71,8	74,8	83,8
3	16-02-2023 18:21:46	E190	A	71,2	73,6	82,7
3	16-02-2023 18:29:14	E195	A	72,1	74,8	83,6
3	16-02-2023 18:36:30	B738	A	73,2	76	85,7
3	16-02-2023 18:39:08	E75S	A	70,5	72,6	81,6
3	16-02-2023 18:41:49	E75S	A	70,1	72,2	81,2
3	16-02-2023 18:45:18	E190	A	71,2	74,2	82,9
3	16-02-2023 18:50:51	A20N	A	71,2	73,6	83,5
3	16-02-2023 18:52:46	B738	A	72,3	75,5	85,3
3	16-02-2023 18:54:38	E75S	A	71,2	73,7	83,2
3	16-02-2023 18:56:20	E195	A	71,9	75,9	85,1
3	16-02-2023 18:58:31	E190	A	72,0	74,8	83,7
3	16-02-2023 19:00:23	A20N	A	71,8	74,2	83,6
3	16-02-2023 19:02:22	CRJ9	A	71,3	73,7	82,7
3	16-02-2023 19:04:28	E75S	A	70,5	72,5	81,6
3	16-02-2023 19:06:12	E170	A	70,2	71,7	80,9
3	16-02-2023 19:07:57	E195	A	71,7	75,0	84,2
3	16-02-2023 19:09:55	E195	A	72,3	75,7	84,4
3	16-02-2023 19:11:55	BCS3	A	69,7	72,0	82,0
3	16-02-2023 19:13:46	E75S	A	70,8	72,4	82,3
3	16-02-2023 19:15:55	B38M	A	71,5	74,8	84,5
3	16-02-2023 19:25:15	E75S	A	70,1	72,7	81,6
3	16-02-2023 19:37:42	E195	A	72,2	75,7	84,5
3	16-02-2023 19:44:35	E170	A	70,4	73,3	82,1
3	16-02-2023 20:00:26	E170	A	71,0	73,0	82,5
3	16-02-2023 20:26:46	B738	A	71,1	75,0	84,9
3	16-02-2023 20:46:51	E190	A	71,0	75,2	83,3
3	16-02-2023 20:49:34	E75S	A	70,4	73,3	82,7
3	16-02-2023 20:52:47	E195	A	71,9	75,2	84,6
3	16-02-2023 20:55:21	E190	A	72,5	75,7	84,5
3	16-02-2023 21:08:53	E170	A	70,8	72,9	81,6
3	16-02-2023 21:20:04	A320	A	71,8	75,3	84,2
3	16-02-2023 21:31:03	B38M	A	72,2	77,1	85,8
3	16-02-2023 21:33:58	E75S	A	71,4	73,3	83,2
3	16-02-2023 21:35:50	E195	A	71,7	75,7	84,7
3	16-02-2023 21:37:42	B738	A	72,1	75,8	85,2

Nr punktu pomiarowego	Data i godz. zdarzenia	Samolot	Operacja*	L_{Aeq}	L_{Amax}	L_{AE}
				[dB]	[dB]	[dB]
3	16-02-2023 21:39:41	E195	A	71,5	74,7	84,3
3	16-02-2023 21:41:30	E190	A	71,1	74	83,4
3	16-02-2023 21:43:12	B38M	A	70,3	73,6	83,9
3	16-02-2023 21:45:10	E170	A	71,2	73,7	82,9
3	16-02-2023 21:47:26	B38M	A	71	74,8	84,9
3	16-02-2023 21:51:38	E75S	A	70,9	73,3	83,2
3	16-02-2023 21:56:18	E195	A	71,4	75,1	84,5
3	16-02-2023 21:58:22	E75S	A	71,2	73,2	82,6
3	17-02-2023 06:01:10	A21N	A	70,9	73,4	82,4
3	17-02-2023 06:05:14	E190	A	72,5	75,2	84,5
3	17-02-2023 06:08:10	E75S	A	70,1	72,5	81,9
3	17-02-2023 06:11:15	E190	A	71,4	73,8	83,7
3	17-02-2023 06:14:11	E195	A	71,8	74,1	83,5
3	17-02-2023 06:16:03	E75S	A	70,9	72,8	82,3
3	17-02-2023 06:18:18	E75S	A	72,5	75	84
3	17-02-2023 06:20:13	E190	A	71,6	74,7	83,6
3	17-02-2023 06:22:08	E195	A	72,6	75,6	84,4
3	17-02-2023 06:23:57	E75S	A	71,2	73,9	83,5
3	17-02-2023 06:26:30	B738	A	72,4	75,5	85
3	17-02-2023 06:28:31	B734	A	72	74,8	84,3
3	17-02-2023 06:30:36	E190	A	71	73,1	82,7
3	17-02-2023 06:32:24	E195	A	72,6	75,7	84,9
3	17-02-2023 06:34:55	E75S	A	70	72,1	81,4
3	17-02-2023 07:28:15	C295	A	71,3	74,1	81,7
3	17-02-2023 08:05:34	B738	A	72,2	75	84
3	17-02-2023 08:09:10	A319	A	71,3	73,8	83
3	17-02-2023 08:11:55	E170	A	70	72,3	81,1
3	17-02-2023 08:14:07	E195	A	72,4	75	84,1
3	17-02-2023 08:17:31	B38M	A	71,8	74,3	83,8
3	17-02-2023 08:26:48	E195	A	72,1	74,4	83,9
3	17-02-2023 08:30:54	B38M	A	72,8	76,3	85,4
3	17-02-2023 08:45:13	E170	A	71,6	75,6	83,3
3	17-02-2023 08:55:28	E190	A	71,2	73,2	83,5
3	17-02-2023 09:05:29	B789	A	71,5	73,6	84,3
3	17-02-2023 09:09:44	B738	A	70,1	73,6	82,9
3	17-02-2023 09:16:18	E195	A	72,3	75,3	84,4
3	17-02-2023 09:19:00	E75S	A	71,1	74	82,2
3	17-02-2023 09:22:12	E195	A	71,7	74,6	83,5
3	17-02-2023 09:26:11	E170	A	71,4	73,7	83,4
3	17-02-2023 09:28:54	E75S	A	70,7	73,6	83
3	17-02-2023 09:30:55	E75S	A	71,9	75,2	83,9
3	17-02-2023 09:36:26	E195	A	72,8	76	84,6
3	17-02-2023 09:38:31	E75S	A	71,5	73,2	82,2
3	17-02-2023 09:43:10	E195	A	71,6	73,9	83,6
3	17-02-2023 09:46:03	A21N	A	70,5	72,5	81,3
3	17-02-2023 09:47:45	B38M	A	71,7	74,4	83,5
3	17-02-2023 09:55:48	CL30	A	68,3	69,1	77,8
3	17-02-2023 10:27:11	A21N	A	72,2	75,5	84,8
3	17-02-2023 10:33:24	CRJ9	A	70,9	72,8	82,4
3	17-02-2023 10:50:12	E170	A	71,3	74,7	83,9
3	17-02-2023 10:52:02	E75S	A	72,1	74,5	82,5
3	17-02-2023 10:56:20	B789	A	72,7	76,5	86,7
3	17-02-2023 10:59:38	A321	A	71,3	73,3	82,7
3	17-02-2023 11:04:03	B738	A	73,6	77,3	85,9
3	17-02-2023 11:08:55	B77W	A	75,0	79,1	88,3
3	17-02-2023 11:11:46	A320	A	70,4	73,5	82,2
3	17-02-2023 11:34:25	E75S	A	71	73,6	82,4

Nr punktu pomiarowego	Data i godz. zdarzenia	Samolot	Operacja*	L_{Aeq}	L_{Amax}	L_{AE}
				[dB]	[dB]	[dB]
3	17-02-2023 11:49:29	A21N	A	70,2	71,6	81,4
3	17-02-2023 11:51:58	E75S	A	71,4	73,4	81,9
3	17-02-2023 11:54:03	BCS3	A	69,6	72,6	81,1
3	17-02-2023 11:56:44	E190	A	72	76,2	83,5
3	17-02-2023 11:59:22	E195	A	72,1	75,3	83,5
3	17-02-2023 12:01:16	A321	A	70,6	72,9	82
3	17-02-2023 12:07:53	E190	A	71,3	74,8	82,8
3	17-02-2023 12:13:05	E75S	A	70,3	72,4	80,7
3	17-02-2023 12:14:49	A321	A	72,3	75,4	84
3	17-02-2023 12:17:06	E170	A	69,8	72,5	81,3
3	17-02-2023 12:19:07	E75S	A	71,4	73,6	82,8
3	17-02-2023 12:21:47	B38M	A	71,9	74,1	83,7
3	17-02-2023 12:24:09	A333	A	74,2	77,6	87,7
3	17-02-2023 12:27:28	E195	A	71,4	73,6	82,5
3	17-02-2023 12:30:05	B788	A	72,3	75,5	84,3
3	17-02-2023 12:35:51	E75S	A	69,9	72,2	79,9
3	17-02-2023 12:37:39	E190	A	71,9	75,3	83,6
3	17-02-2023 12:39:39	B738	A	73	76,2	84,8
3	17-02-2023 12:46:54	E190	A	71,6	74,6	82,8
3	17-02-2023 12:49:30	B789	A	73,6	76,7	85,9
3	17-02-2023 12:55:05	E190	A	70,5	73,2	82,3
3	17-02-2023 13:03:05	B788	A	72,5	76	85,5
3	17-02-2023 13:05:38	A321	A	71,7	74,5	84
3	17-02-2023 13:07:34	E195	A	72,1	74,8	83,9
3	17-02-2023 13:16:03	E170	A	71,4	73,8	82,6
3	17-02-2023 13:18:10	E195	A	71,9	75,2	83
3	17-02-2023 13:21:43	E170	A	70,2	72,5	81
3	17-02-2023 13:28:15	A21N	A	70,7	72,6	82,1
3	17-02-2023 13:34:39	E190	A	71,3	74,5	82,1
3	17-02-2023 13:38:54	B738	A	73,1	75,6	84,6
3	17-02-2023 13:47:11	E75S	A	69,6	72	80,4
3	17-02-2023 13:49:51	B38M	A	72	75,1	84,1
3	17-02-2023 13:51:58	E170	A	70,6	73,6	82,4
3	17-02-2023 13:54:19	A21N	A	68,6	70,3	79
3	17-02-2023 13:59:25	B38M	A	72,3	75,4	84
3	17-02-2023 14:04:50	A321	A	70,6	72,6	81,8
3	17-02-2023 14:06:42	E75S	A	69,8	71,4	80,2
3	17-02-2023 14:08:29	E195	A	71,7	75,5	83,8
3	17-02-2023 14:10:40	BCS3	A	69,5	70,9	80
3	17-02-2023 14:38:01	E170	A	70	72,5	80
3	17-02-2023 14:44:27	E190	A	70,7	73,4	82,7
3	17-02-2023 15:04:19	E195	A	70,3	72,5	80,3
3	17-02-2023 15:06:59	E195	A	72,1	74,6	82,9
3	17-02-2023 15:12:01	B789	A	72,3	75,1	85,1
3	17-02-2023 15:14:31	E195	A	71,6	74,2	82,4
3	17-02-2023 15:16:22	E75S	A	70,1	72,2	80,9
3	17-02-2023 15:18:18	E195	A	71,3	73	82,1
3	17-02-2023 15:20:09	E190	A	72,1	74,9	83,6
3	17-02-2023 15:22:05	B788	A	73,1	76,5	85,4
3	17-02-2023 15:24:16	B38M	A	71,8	74,5	82,9
3	17-02-2023 15:26:26	E75S	A	69,9	71,4	80,4
3	17-02-2023 15:29:20	E190	A	71,6	74,6	82,8
3	17-02-2023 15:31:18	E75S	A	70	72,1	80
3	17-02-2023 15:33:05	E190	A	71	74,6	82,8
3	17-02-2023 15:41:49	E195	A	71,6	74,7	82,8
3	17-02-2023 15:43:43	E190	A	70,1	73,3	82,2
3	17-02-2023 15:45:44	E195	A	71,3	74	82,8

Nr punktu pomiarowego	Data i godz. zdarzenia	Samolot	Operacja*	L_{Aeq}	L_{Amax}	L_{AE}
				[dB]	[dB]	[dB]
3	17-02-2023 15:47:29	E195	A	70,4	72,4	80
3	17-02-2023 15:58:11	E190	A	71,1	73,8	82,3
3	17-02-2023 16:01:29	B788	A	72,3	75,5	84,6
3	17-02-2023 16:04:02	E195	A	70,2	73,2	81,9
3	17-02-2023 16:06:37	E195	A	71,5	74,3	82,3
3	17-02-2023 16:18:35	A332	A	72,9	74,7	85
3	17-02-2023 16:22:39	E190	A	70	72,6	81,5
3	17-02-2023 16:26:15	C295	A	71,2	73,6	81,2
3	17-02-2023 17:17:04	A21N	A	71,9	75,6	83,9
3	17-02-2023 17:19:07	C295	A	70	72,9	81,2
3	17-02-2023 17:22:03	A320	A	72,1	74,4	82,5
3	17-02-2023 17:25:10	E170	A	71	73,5	82,1
3	17-02-2023 17:31:08	A321	A	71,1	73,5	82,9
3	17-02-2023 17:35:59	A321	A	71,3	73,7	82,8
3	17-02-2023 17:43:18	C295	A	70,2	73	81,7
3	17-02-2023 17:46:15	A321	A	71,6	74,8	83,6
3	17-02-2023 17:48:40	CRJ9	A	70,3	72,5	81,8
3	17-02-2023 17:53:09	A20N	A	72,5	75,6	84,3
3	17-02-2023 17:59:05	E170	A	69,9	72,6	81,9
3	17-02-2023 18:03:24	E75S	A	71,5	73,4	82,7
3	17-02-2023 18:14:39	A333	A	73,3	75,7	86,1
3	17-02-2023 18:17:48	E190	A	72	75,4	84
3	17-02-2023 18:20:59	E190	A	71,7	75,2	83,1
3	17-02-2023 18:24:17	E75S	A	71,2	73,4	81,6
3	17-02-2023 18:28:51	B738	A	72,6	76,8	86,2
3	17-02-2023 18:31:07	E195	A	72,2	76,1	85
3	17-02-2023 18:39:58	C56X	A	69,8	72,7	79,3
3	17-02-2023 18:41:45	E75S	A	70,4	73,1	83
3	17-02-2023 18:44:09	E190	A	71,6	74,4	83,4
3	17-02-2023 18:58:23	E170	A	72,2	74,6	84
3	17-02-2023 19:02:10	E290	A	70,9	74,4	82
3	17-02-2023 19:04:43	B38M	A	72,4	75,7	84,7
3	17-02-2023 19:06:59	E190	A	71,4	75,3	83,7
3	17-02-2023 19:10:09	C17	A	78,4	84,3	94,4
3	17-02-2023 19:13:10	E195	A	72,8	76	84,3
3	17-02-2023 19:15:38	E75S	A	71,5	73,9	82,6
3	17-02-2023 19:18:19	B38M	A	73,5	77,2	84,9
3	17-02-2023 19:20:37	E195	A	72,9	75,7	85
3	17-02-2023 19:22:53	E75S	A	71,2	74,1	82,4
3	17-02-2023 19:31:18	B738	A	74,3	78,5	87,5
3	17-02-2023 19:39:45	E75S	A	69,9	71,8	81,1
3	17-02-2023 19:42:03	E75S	A	71,2	73,3	82,4
3	17-02-2023 19:53:18	E190	A	72,4	76,9	84,7
3	17-02-2023 21:08:45	E190	A	72	77,2	85,2
3	17-02-2023 21:10:55	B38M	A	72,1	75,8	84,6
3	17-02-2023 21:13:56	E75S	A	72,1	76,3	84,1
3	17-02-2023 21:20:25	E190	A	72,6	76,1	85,6
3	17-02-2023 21:30:42	E195	A	71,1	76,7	85,1
3	17-02-2023 21:39:45	A319	A	72	75,5	85,2
3	17-02-2023 21:42:22	E195	A	73,5	78,4	86,3
3	17-02-2023 21:44:28	E195	A	73,4	77,8	86,4
3	17-02-2023 21:46:36	E190	A	71,6	76,6	85,4
3	17-02-2023 21:48:45	B738	A	74,1	77,2	86,9
3	17-02-2023 21:51:56	B38M	A	73,0	77,2	86,8
3	17-02-2023 21:54:28	E190	A	72,1	78,3	86,3
3	17-02-2023 21:56:40	E195	A	73,2	77,1	86,0
3	17-02-2023 21:58:58	B738	A	73,5	78,0	86,9

Nr punktu pomiarowego	Data i godz. zdarzenia	Samolot	Operacja*	L_{Aeq}	L_{Amax}	L_{AE}
				[dB]	[dB]	[dB]
3	18-02-2023 06:14:35	E190	A	71,3	76,4	85,3
3	18-02-2023 06:17:35	E195	A	72,3	76	85,1
3	18-02-2023 06:24:01	E195	A	73,6	77,6	86,1
3	18-02-2023 06:25:57	E190	A	70,9	74,5	84,3
3	18-02-2023 06:28:37	E190	A	73,1	77,7	86,5
3	18-02-2023 06:31:08	E75S	A	72,3	76,1	85,3
3	18-02-2023 06:33:46	B38M	A	72,2	77,2	86,2
3	18-02-2023 06:38:11	E190	A	73,8	79,2	87,4
3	18-02-2023 07:06:04	B38M	A	71,6	76,7	84,8
3	18-02-2023 07:41:41	B38M	A	71,4	76,5	85,1
3	18-02-2023 08:09:59	E170	A	71,1	74,7	84,9
3	18-02-2023 08:27:31	B738	A	73,2	77,9	87,2
3	18-02-2023 08:30:45	B38M	A	72,1	76,5	85,2
3	18-02-2023 08:40:38	A319	A	73,0	78,5	86,3
3	18-02-2023 08:49:20	E290	A	71,3	76,5	85,3
3	18-02-2023 08:51:59	E190	A	72,3	75,9	85,1
3	18-02-2023 09:00:15	E195	A	72,7	77,5	86,1
3	18-02-2023 09:12:14	E195	A	73,2	77,5	86,2
3	18-02-2023 09:14:51	E75S	A	71,8	74,7	83,6
3	18-02-2023 09:19:02	E190	A	72,1	75,7	85,5
3	18-02-2023 09:22:26	E195	A	72,0	77,0	84,7
3	18-02-2023 09:25:08	B738	A	72,4	76,1	85,5
3	18-02-2023 09:32:36	E195	A	72,9	79,0	85,7
3	18-02-2023 09:35:17	E75S	A	71,8	77,5	85,3
3	18-02-2023 09:44:46	E75S	A	71,3	75,7	84,8
3	18-02-2023 09:55:23	A21N	A	70,6	74,8	84,0
3	18-02-2023 10:10:34	A320	A	71,6	74,9	84,4
3	18-02-2023 10:25:50	C56X	A	69,4	72,2	79,9
3	18-02-2023 10:36:28	E75S	A	70,9	74,4	83,7
3	18-02-2023 10:40:00	A321	A	73,4	76,3	86,5
3	18-02-2023 10:46:12	B789	A	74,4	77,4	87,4
3	18-02-2023 10:49:17	E170	A	71,6	74,5	83,6
3	18-02-2023 11:01:13	A321	A	71,0	75,0	84,6
3	18-02-2023 11:14:14	B77W	A	77,3	81,6	91,3
3	18-02-2023 11:21:44	B789	A	74,3	77,8	88,1
3	18-02-2023 11:28:52	B77W	A	77,1	82,8	91,7
3	18-02-2023 11:32:33	A321	A	72,9	76,3	85,9
3	18-02-2023 11:36:51	A21N	A	71,6	74,9	84,2
3	18-02-2023 11:41:21	E190	A	72,8	76,2	85,8
3	18-02-2023 11:47:19	B738	A	72,2	77,0	85,4
3	18-02-2023 11:51:04	E195	A	72,7	77,5	85,7
3	18-02-2023 11:53:44	BCS3	A	69,6	73,6	83,9
3	18-02-2023 11:56:14	E195	A	71,8	76,6	85,6
3	18-02-2023 11:59:14	B788	A	72,6	75,4	86,2
3	18-02-2023 12:03:41	E195	A	72,6	76,8	86,0
3	18-02-2023 12:05:48	E190	A	72,0	75,8	85,5
3	18-02-2023 12:08:15	B788	A	71,9	74,5	85,7
3	18-02-2023 12:11:15	E75S	A	71,5	75,3	84,1
3	18-02-2023 12:13:24	E195	A	71,6	76,1	84,9
3	18-02-2023 12:15:40	E75S	A	72,6	76,0	85,2
3	18-02-2023 12:17:40	E195	A	72,3	76	84,8
3	18-02-2023 12:19:55	E170	A	69,8	73,9	84,7
3	18-02-2023 12:24:15	B38M	A	72,6	77,8	86
3	18-02-2023 12:26:34	E190	A	72,8	76,5	85,4
3	18-02-2023 12:28:50	E195	A	74,7	78,5	87,3
3	18-02-2023 12:33:17	E75S	A	71,1	74,9	84,9
3	18-02-2023 12:43:02	E195	A	72,8	75,8	84,9

Nr punktu pomiarowego	Data i godz. zdarzenia	Samolot	Operacja*	L_{Aeq}	L_{Amax}	L_{AE}
				[dB]	[dB]	[dB]
3	18-02-2023 12:45:16	E195	A	71,5	74,7	85,1
3	18-02-2023 12:46:58	B789	A	73,2	76,9	87,4
3	18-02-2023 12:49:40	E195	A	72,5	74,9	84,5
3	18-02-2023 12:51:58	E190	A	72,0	75,0	84,8
3	18-02-2023 12:53:58	E190	A	72,6	74,7	84,1
3	18-02-2023 12:56:08	E75S	A	70,6	72,8	83,6
3	18-02-2023 12:58:37	A21N	A	71,6	76,6	86,3
3	18-02-2023 13:03:55	E195	A	71,7	75,8	85,1
3	18-02-2023 13:09:20	A321	A	72,3	75,0	84,9
3	18-02-2023 13:11:50	B738	A	73,2	77,2	86,4
3	18-02-2023 13:14:32	B788	A	72,7	76,5	86,4
3	18-02-2023 13:18:08	B738	A	73	77,5	86
3	18-02-2023 13:20:33	E75S	A	71,2	73,6	83,3
3	18-02-2023 13:24:45	E195	A	72,5	76,8	84,8
3	18-02-2023 13:27:35	A319	A	70,9	74,2	83,7
3	18-02-2023 13:34:20	E75S	A	71,3	74,9	84,3
3	18-02-2023 13:38:09	A321	A	72,1	75,3	84,7
3	18-02-2023 13:43:04	E170	A	71,3	74,6	84,3
3	18-02-2023 13:45:55	E170	A	70,5	74	82,6
3	18-02-2023 13:48:56	B38M	A	73,2	76,7	85
3	18-02-2023 13:52:54	GLF4	A	69,5	72,3	81,3
3	18-02-2023 13:58:21	A21N	A	71,9	76,2	85,7
3	18-02-2023 14:01:00	B788	A	72	75,4	85,2
3	18-02-2023 14:03:18	E190	A	71,9	74,7	84,5
3	18-02-2023 14:05:52	B788	A	73	76,6	86,8
3	18-02-2023 14:12:21	B38M	A	71,8	76,4	84,8
3	18-02-2023 14:17:15	BCS3	A	69,9	74	82,7
3	18-02-2023 14:32:30	E190	A	71,7	76,5	84,9
3	18-02-2023 14:41:44	A319	A	72,7	76,8	85,8
3	18-02-2023 14:50:40	E35L	A	69,6	71,4	79,2
3	18-02-2023 14:59:41	E75S	A	70,3	74,5	84,6
3	18-02-2023 15:04:48	E190	A	71,9	75,1	83,6
3	18-02-2023 15:08:42	E75S	A	70,3	75	83,9
3	18-02-2023 15:11:20	B38M	A	71,8	75,9	85
3	18-02-2023 15:30:59	A21N	A	72,1	75,4	83,8
3	18-02-2023 15:34:18	E75S	A	70,5	73,8	81,7
3	18-02-2023 15:36:09	E190	A	73,3	75,7	84,5
3	18-02-2023 15:38:31	B38M	A	71,9	75,1	84,2
3	18-02-2023 15:42:41	E190	A	71,8	75,6	84,4
3	18-02-2023 15:45:22	E75S	A	70,8	73,4	82,6
3	18-02-2023 15:47:42	A321	A	72,5	76,5	85,0
3	18-02-2023 15:49:53	E75S	A	69,7	72,8	83,7
3	18-02-2023 15:52:13	A321	A	71,4	74,9	83,7
3	18-02-2023 15:54:11	E75S	A	70,4	74,2	82,4
3	18-02-2023 15:56:16	E190	A	70,1	73,3	83,5
3	18-02-2023 15:58:09	B38M	A	72,3	76	85,9
3	18-02-2023 16:00:15	E75S	A	70,7	73,9	83,2
3	18-02-2023 16:02:52	E195	A	72,5	75,8	84,5
3	18-02-2023 16:07:46	B38M	A	72,3	76,4	85,1
3	18-02-2023 16:33:14	B38M	A	72	77,1	86,4
3	18-02-2023 16:41:10	E195	A	72,8	77,7	86,2
3	18-02-2023 16:43:25	A21N	A	70,3	72,7	83,3
3	18-02-2023 16:45:32	B38M	A	72,4	75,6	85,6
3	18-02-2023 16:57:05	B738	A	72,3	76,6	86,3
3	18-02-2023 17:17:31	B738	A	71,6	74,8	85,2
3	18-02-2023 17:27:21	LJ75	A	67,1	67,7	76,6
3	18-02-2023 17:29:46	B738	A	72,8	76,2	85,1

Nr punktu pomiarowego	Data i godz. zdarzenia	Samolot	Operacja*	L _{Aeq}	L _{Max}	L _{AE}
				[dB]	[dB]	[dB]
3	18-02-2023 17:31:45	A321	A	71,8	74,7	83,9
3	18-02-2023 17:34:15	PC12	A	70,7	74,2	81,1
3	18-02-2023 17:47:45	A20N	A	71,1	73,4	83,9
3	18-02-2023 18:01:21	E195	A	71,2	74,6	83,3
3	18-02-2023 18:03:36	E35L	A	68,8	72,0	78,3
3	18-02-2023 18:12:16	B738	A	71,8	74,4	84,4
3	18-02-2023 18:14:23	E190	A	71,4	73,6	83,2
3	18-02-2023 18:25:36	E75S	A	70,8	73,1	82,2
3	18-02-2023 18:29:32	E195	A	72,0	74,5	84,3
3	18-02-2023 18:31:50	E190	A	72,0	74,7	84,3
3	18-02-2023 18:33:53	A321	A	70,0	72,4	82,6
3	18-02-2023 18:35:49	E75S	A	71,2	73,1	82,7
3	18-02-2023 18:42:06	A21N	A	70,8	73,1	82,6
3	18-02-2023 18:46:11	E195	A	72,0	76,0	84,8
3	18-02-2023 18:53:01	E170	A	71,3	72,9	82,5
3	18-02-2023 18:55:34	E195	A	71,5	74,6	83,3
3	18-02-2023 18:57:45	E75S	A	71,5	74,4	83,5
3	18-02-2023 19:00:57	E190	A	72,0	74,6	84,3
3	18-02-2023 19:03:30	E195	A	72,1	76,1	83,8
3	18-02-2023 19:05:48	E170	A	71,2	73,9	84,2
3	18-02-2023 19:08:03	E195	A	70,9	73,1	83,5
3	18-02-2023 19:16:38	E75S	A	70,3	73,2	82,6
3	18-02-2023 19:19:26	B38M	A	72,0	75,5	84,8
3	18-02-2023 19:35:51	E170	A	70,1	71,8	81,2
3	18-02-2023 19:51:22	E190	A	71,2	74,5	84,0
3	18-02-2023 19:55:30	B738	A	72,1	75,2	84,9
3	18-02-2023 20:18:58	B738	A	73,3	76,7	86,6
3	18-02-2023 20:41:33	B738	A	73,9	76,4	87,5
3	18-02-2023 20:45:10	E190	A	71,0	74,1	83,1
3	18-02-2023 20:54:58	E75S	A	70,8	73,8	81,9
3	18-02-2023 20:57:48	E75S	A	70,7	73,6	81,1
3	18-02-2023 21:00:07	E195	A	71,5	75,9	84,5
3	18-02-2023 21:02:13	B738	A	72,9	76,1	85,2
3	18-02-2023 21:04:31	E75S	A	70,5	73,0	81,6
3	18-02-2023 21:12:20	E75S	A	72,1	76,0	84,7
3	18-02-2023 21:14:37	E75S	A	71,9	75,4	84,7
3	18-02-2023 21:24:01	B738	A	73,2	77,4	86,2
3	18-02-2023 21:26:22	E195	A	72,2	75,6	83,9
3	18-02-2023 21:33:28	B38M	A	72,0	74,3	84,0
3	18-02-2023 21:39:41	B738	A	73,1	78,0	86,1
3	18-02-2023 21:41:59	E195	A	72,8	76,7	84,8
3	18-02-2023 21:52:29	B38M	A	72,0	74,7	85,0
3	18-02-2023 21:54:31	E190	A	72,3	76,0	84,6
3	18-02-2023 21:56:06	B738	A	72,6	75,4	85,4
3	18-02-2023 21:58:20	B38M	A	72,3	77,0	84,6
3	19-02-2023 06:02:59	A21N	A	71,2	72,9	82,9
3	19-02-2023 06:10:12	E190	A	71,2	74,0	83,3
3	19-02-2023 06:13:01	B738	A	72,1	76,8	86,1
3	19-02-2023 06:16:17	E75S	A	70,4	73,7	82,2
3	19-02-2023 06:27:44	E195	A	71,0	75,1	84,0
3	19-02-2023 06:35:02	E75S	A	70,2	72,4	82,2
3	19-02-2023 06:51:54	B38M	A	71,9	75,1	84,2
3	19-02-2023 07:16:49	B38M	A	73,0	76,0	86,2
3	19-02-2023 07:23:33	B789	A	71,8	75,3	85,9
3	19-02-2023 07:54:32	B738	A	73,2	77,3	86,8
3	19-02-2023 07:59:04	C17	A	74,9	79,2	89,7
3	19-02-2023 08:02:29	B738	A	72,1	74,8	84,9

Nr punktu pomiarowego	Data i godz. zdarzenia	Samolot	Operacja*	L_{Aeq}	L_{Amax}	L_{AE}
				[dB]	[dB]	[dB]
3	19-02-2023 08:15:10	B738	A	73,0	77,1	86,4
3	19-02-2023 08:27:53	B38M	A	72,4	75,6	85,6
3	19-02-2023 08:31:31	E195	A	72,4	75,0	84,4
3	19-02-2023 08:43:26	E190	A	71,0	73,8	83,8
3	19-02-2023 08:59:53	E195	A	73,2	77,4	85,6
3	19-02-2023 09:14:37	E75S	A	71,3	74,3	84,0
3	19-02-2023 09:24:57	B738	A	72,1	75,8	85,5
3	19-02-2023 09:37:32	E75S	A	71,0	74,4	82,7
3	19-02-2023 09:40:36	E190	A	71,7	76,7	85,3
3	19-02-2023 09:54:14	A21N	A	70,6	73,5	83,1
3	19-02-2023 10:05:08	E35L	A	73,0	76,1	84,5
3	19-02-2023 10:30:31	C17	A	77,3	82,3	92,3
3	19-02-2023 10:40:45	E75S	A	69,7	71,2	81,2
3	19-02-2023 10:47:57	E190	A	71,1	74,7	84,1
3	19-02-2023 11:21:38	A21N	A	71,1	74,6	83,4
3	19-02-2023 11:25:24	A321	A	70,5	73,9	84,3
3	19-02-2023 11:28:35	B77W	A	75,2	79,5	89,0
3	19-02-2023 11:31:41	C17	A	76,6	81,8	92,2
3	19-02-2023 11:33:56	B789	A	72,4	75,9	85,6
3	19-02-2023 11:36:18	E195	A	71,1	74,3	84,1
3	19-02-2023 11:39:26	E195	A	72,4	75,5	84,9
3	19-02-2023 11:41:44	A20N	A	70,3	71,9	82,1
3	19-02-2023 11:47:36	BCS3	A	70,1	73,1	83,6
3	19-02-2023 11:50:09	A321	A	70,8	73,7	83,3
3	19-02-2023 11:52:20	A321	A	70,3	72,8	82,9
3	19-02-2023 11:56:12	E75S	A	71,7	74,7	82,8
3	19-02-2023 12:02:19	A20N	A	71,2	73,5	82,9
3	19-02-2023 12:04:48	E75S	A	72,3	75,3	84,1
3	19-02-2023 12:10:54	E170	A	70,7	73,0	82,7
3	19-02-2023 12:13:26	E195	A	72,2	75,5	84,5
3	19-02-2023 12:15:38	E190	A	71,7	74,2	83,1
3	19-02-2023 12:17:35	E75S	A	71,0	73,2	83,3
3	19-02-2023 12:19:42	E190	A	70,8	74,9	83,8
3	19-02-2023 12:21:45	A333	A	76,0	82,3	90,6
3	19-02-2023 12:24:20	E75S	A	70,8	73,2	82,0
3	19-02-2023 12:27:31	B788	A	72,5	76,6	86,1
3	19-02-2023 12:30:16	A21N	A	70,1	72,8	82,4
3	19-02-2023 12:32:09	E190	A	72,0	76,0	84,8
3	19-02-2023 12:35:05	E195	A	70,7	75,4	85,1
3	19-02-2023 12:37:16	E170	A	69,9	72,2	82,4
3	19-02-2023 12:40:25	E190	A	71,6	74,6	83,7
3	19-02-2023 12:44:09	E190	A	72,2	76,0	84,5
3	19-02-2023 12:51:07	E170	A	70,5	73,5	83,1
3	19-02-2023 12:59:33	B789	A	72,4	75,9	86,2
3	19-02-2023 13:01:44	B788	A	71,4	74,9	85,3
3	19-02-2023 13:04:24	E195	A	74,1	78,2	86,1
3	19-02-2023 13:06:25	B38M	A	71,3	75,7	84,3
3	19-02-2023 13:08:34	A21N	A	70,5	74,0	83,3
3	19-02-2023 13:22:03	A319	A	71,3	75,3	85,0
3	19-02-2023 13:24:20	E170	A	70,1	72,4	81,5
3	19-02-2023 13:27:14	C17	A	78,3	83,4	93,3
3	19-02-2023 13:36:56	A21N	A	71,7	74,9	84,2
3	19-02-2023 13:43:20	E75S	A	70,1	73,0	82,1
3	19-02-2023 13:47:11	E75S	A	71,1	74,0	82,6
3	19-02-2023 13:50:38	E75S	A	71,1	74,0	83,4
3	19-02-2023 13:57:18	B38M	A	72,1	75,8	84,6
3	19-02-2023 14:04:54	B789	A	71,9	75,0	85,6

Nr punktu pomiarowego	Data i godz. zdarzenia	Samolot	Operacja*	L_{Aeq}	L_{Amax}	L_{AE}
				[dB]	[dB]	[dB]
3	19-02-2023 14:11:01	E170	A	70,2	72,9	82,8
3	19-02-2023 14:20:12	BCS3	A	69,3	71,1	80,8
3	19-02-2023 14:22:20	A319	A	71,1	74,0	83,2
3	19-02-2023 14:31:10	E195	A	72,7	76,6	85,2
3	19-02-2023 14:40:33	E195	A	71,3	74,3	84,3
3	19-02-2023 14:43:36	B38M	A	71,8	74,8	84,1
3	19-02-2023 14:46:13	E190	A	72,2	77,2	84,8
3	19-02-2023 14:58:40	B789	A	73,3	77,2	87,3
3	19-02-2023 15:01:57	B38M	A	71,7	74,7	84,5
3	19-02-2023 15:04:17	PC12	A	69,2	72,2	81,8
3	19-02-2023 15:14:43	B38M	A	72,0	74,9	85,0
3	19-02-2023 15:17:13	E170	A	70,7	73,2	83,0
3	19-02-2023 15:19:28	E195	A	70,7	75,0	84,3
3	19-02-2023 15:21:19	E195	A	72,2	75,5	83,9
3	19-02-2023 15:23:11	E75S	A	69,5	72,4	81,0
3	19-02-2023 15:24:53	A321	A	71,1	75,1	83,9
3	19-02-2023 15:27:54	E195	A	71,9	75,4	84,5
3	19-02-2023 15:29:57	E195	A	71,8	75,7	85,4
3	19-02-2023 15:31:47	E195	A	71,8	76,0	85,0
3	19-02-2023 15:33:39	B38M	A	71,1	74,2	84,1
3	19-02-2023 15:37:13	E195	A	72,8	75,9	84,8
3	19-02-2023 15:39:26	E75S	A	71,1	74,0	83,1
3	19-02-2023 15:44:36	E195	A	72,3	76,0	84,6
3	19-02-2023 15:49:35	E190	A	72,1	75,3	83,9
3	19-02-2023 15:51:35	E190	A	71,6	73,7	83,7
3	19-02-2023 15:53:37	E75S	A	70,7	73,4	82,5
3	19-02-2023 15:55:56	B38M	A	71,9	73,7	83,4
3	19-02-2023 15:58:37	E190	A	72,4	76,5	85,0
3	19-02-2023 16:03:36	A321	A	71,2	73,5	83,3
3	19-02-2023 16:08:07	E190	A	71,5	74,6	82,9
3	19-02-2023 16:12:24	CRJ9	A	69,4	72,5	81,4
3	19-02-2023 16:21:39	B738	A	72,9	75,3	84,6
3	19-02-2023 16:44:03	A321	A	71,6	74,8	83,9
3	19-02-2023 16:52:31	E170	A	69,8	72,8	83,4
3	19-02-2023 16:55:30	A320	A	71,8	74,7	84,6
3	19-02-2023 16:58:05	A321	A	71,1	73,8	83,1
3	19-02-2023 17:10:59	B788	A	70,8	74,0	85,1
3	19-02-2023 17:13:51	E170	A	71,1	74,0	82,6
3	19-02-2023 17:18:35	A321	A	71,3	74,4	84,1
3	19-02-2023 17:47:14	A21N	A	70,9	74,0	83,7
3	19-02-2023 17:57:49	E190	A	71,3	73,7	83,3
3	19-02-2023 17:59:56	E75S	A	71,1	74,4	83,6
3	19-02-2023 18:01:45	B738	A	72,8	75,9	85,6
3	19-02-2023 18:04:27	CRJ9	A	69,8	71,3	81,6
3	19-02-2023 18:23:57	A321	A	71,7	75,0	85,0
3	19-02-2023 18:36:18	A319	A	72,3	76,3	85,6
3	19-02-2023 18:41:21	E75S	A	69,6	73,1	83,2
3	19-02-2023 18:44:56	E195	A	72,3	74,7	84,3
3	19-02-2023 18:46:41	E295	A	71	74,1	84,2
3	19-02-2023 18:48:35	E170	A	70,9	73,2	82,7
3	19-02-2023 18:50:09	E195	A	72,1	74,7	83,9
3	19-02-2023 18:51:52	E195	A	71,2	75,8	83,8
3	19-02-2023 18:53:42	E195	A	71,6	74,5	83,9
3	19-02-2023 18:55:38	E75S	A	70,2	72,6	81,4
3	19-02-2023 18:57:47	E190	A	70,9	73	82,9
3	19-02-2023 18:59:27	CRJ9	A	70,4	71,8	81,5
3	19-02-2023 19:01:15	E170	A	70,9	74	83,5

Nr punktu pomiarowego	Data i godz. zdarzenia	Samolot	Operacja*	L_{Aeq}	L_{Amax}	L_{AE}
				[dB]	[dB]	[dB]
3	19-02-2023 19:06:49	B38M	A	72,4	75,3	84,9
3	19-02-2023 19:14:08	BCS3	A	69,7	71,6	79,7
3	19-02-2023 19:16:04	E170	A	69,8	72,6	82,6
3	19-02-2023 19:19:58	B38M	A	70,7	73,4	83
3	19-02-2023 19:24:18	B38M	A	71,7	74,4	83,7
3	19-02-2023 19:26:06	E195	A	71,3	74	83,3
3	19-02-2023 19:38:53	B788	A	70,1	73,4	84,1
3	19-02-2023 19:41:50	E75S	A	69,9	72,3	81,9
3	19-02-2023 19:43:59	A320	A	72,4	75,5	85,4
3	19-02-2023 19:46:59	E190	A	70,6	73,2	83,3
3	19-02-2023 20:43:44	E75S	A	70,3	72,9	82,3
3	19-02-2023 20:46:34	E170	A	70,1	71,5	81,3
3	19-02-2023 20:56:22	E190	A	71,9	76,1	83,9
3	19-02-2023 20:58:56	E195	A	71,9	75,3	84,7
3	19-02-2023 21:01:31	B38M	A	72	75,5	85
3	19-02-2023 21:05:51	B738	A	72,2	75,5	85,6
3	19-02-2023 21:10:36	E170	A	69,6	72,7	81,6
3	19-02-2023 21:12:56	E170	A	70,4	72,1	82,2
3	19-02-2023 21:19:57	E195	A	72,5	76,4	84,8
3	19-02-2023 21:22:16	B38M	A	69,9	74,3	83,7
3	19-02-2023 21:24:32	E75S	A	70,9	74,6	83,7
3	19-02-2023 21:26:24	E195	A	73	77	85,5
3	19-02-2023 21:29:22	A320	A	71,6	75,2	84,6
3	19-02-2023 21:37:33	B738	A	72,2	75,4	84,8
3	19-02-2023 21:40:03	B38M	A	70,5	74,0	83,3
3	19-02-2023 21:42:53	B38M	A	70,5	74,7	84,1
3	19-02-2023 21:44:43	E75S	A	70,1	72,3	81,3
3	19-02-2023 21:47:01	E195	A	72,6	76,0	84,9
3	19-02-2023 21:49:18	E75S	A	70,2	72,4	81,7
3	19-02-2023 21:56:26	E75S	A	70,6	74,2	83,8
3	19-02-2023 21:58:50	E195	A	72,5	76,0	85,1
3	20-02-2023 06:06:55	A21N	A	71,4	73,4	83,4
3	20-02-2023 06:09:43	E195	A	71,9	75,6	84,6
3	20-02-2023 06:15:15	E170	A	71	72,7	82,5
3	20-02-2023 06:18:42	E195	A	73,2	76,6	85,2
3	20-02-2023 06:21:02	E195	A	73,8	77,3	86,3
3	20-02-2023 06:24:21	E75S	A	70,7	74,8	82,8
3	20-02-2023 06:27:00	E195	A	72,6	76,2	85,8
3	20-02-2023 06:29:14	E190	A	73,2	77,2	85,7
3	20-02-2023 06:31:17	E75S	A	70,3	72,6	82,8
3	20-02-2023 06:33:24	B38M	A	71,7	73,6	83,7
3	20-02-2023 06:35:49	E195	A	72,1	76	85,3
3	20-02-2023 06:51:34	B38M	A	71,8	74,2	83,6
3	20-02-2023 07:51:50	B38M	A	71,5	74,7	83,5
3	20-02-2023 07:54:03	E170	A	69,2	72	80,7
3	20-02-2023 07:56:46	C295	A	70,4	73,2	81,5
3	20-02-2023 08:06:09	B738	A	71,4	75,6	84,8
3	20-02-2023 08:10:47	E75S	A	69,5	72,3	81,5
3	20-02-2023 08:12:59	E170	A	70	72,2	81,4
3	20-02-2023 08:15:27	C295	A	70,3	73,4	81,8
3	20-02-2023 08:20:12	E190	A	70,7	72,9	81,8
3	20-02-2023 08:26:49	B38M	A	72,2	75,8	84,3
3	20-02-2023 08:32:25	A319	A	72,1	74,1	83,9
3	20-02-2023 08:43:30	E170	A	70,8	73,6	83,5
3	20-02-2023 08:50:31	E195	A	71,4	74,8	83,9
3	20-02-2023 08:53:03	A21N	A	72,1	75,4	84,9
3	20-02-2023 08:55:47	E190	A	72,6	75,6	84,3

Nr punktu pomiarowego	Data i godz. zdarzenia	Samolot	Operacja*	L _{Aeq}	L _{Amax}	L _{AE}
				[dB]	[dB]	[dB]
3	20-02-2023 08:58:05	E290	A	71,7	77,1	82,5
3	20-02-2023 09:01:09	CRJ9	A	70,1	72,2	81,2
3	20-02-2023 09:04:23	E195	A	72,4	75,2	84,2
3	20-02-2023 09:06:51	E75S	A	71,4	73,6	83,5
3	20-02-2023 09:15:04	E190	A	71,7	74,3	83,5
3	20-02-2023 09:18:36	E190	A	71,8	75,2	84,3
3	20-02-2023 09:21:33	E170	A	71,1	73,5	81,9
3	20-02-2023 09:23:53	E195	A	72,3	75,8	84,6
3	20-02-2023 09:26:10	E75S	A	69,5	72,7	81,8
3	20-02-2023 09:33:57	CRJ9	A	71,2	73,5	82,6
3	20-02-2023 09:37:44	B38M	A	71,9	75,8	84,2
3	20-02-2023 09:40:25	E75S	A	70,4	72,6	82,1
3	20-02-2023 09:46:07	E195	A	70,8	74,6	84,2
3	20-02-2023 09:48:46	E75S	A	69,7	73,2	81,8
3	20-02-2023 10:24:33	A21N	A	71	72,5	82,1
3	20-02-2023 10:28:06	E75S	A	71,8	74,4	83,2
3	20-02-2023 10:45:27	E170	A	72	75,7	82,8
3	20-02-2023 10:55:34	E75S	A	70,2	73	82,8
3	20-02-2023 11:08:40	A321	A	71,7	73,1	82,5
3	20-02-2023 11:20:10	E195	A	71,1	73,4	83,4
3	20-02-2023 11:33:49	B77W	A	74,6	79,4	89,9
3	20-02-2023 11:36:40	E190	A	71,5	74	83,8
3	20-02-2023 11:39:11	B789	A	72,3	75,5	85,5
3	20-02-2023 11:41:16	B789	A	73,6	77,2	87
3	20-02-2023 11:44:10	A320	A	71,3	73,6	82,5
3	20-02-2023 11:46:19	C130	A	74,4	78,2	86,5
3	20-02-2023 11:49:00	E190	A	71,2	73,2	83,8
3	20-02-2023 11:53:23	BCS3	A	70,3	73,2	82,8
3	20-02-2023 11:55:56	A321	A	71,8	74,4	83,2
3	20-02-2023 11:58:08	E75S	A	69,9	72,3	81,7
3	20-02-2023 12:02:06	E295	A	70,9	73,5	82,7
3	20-02-2023 12:04:06	E170	A	71,5	73,9	83,0
3	20-02-2023 12:06:08	E170	A	70,0	72,7	83,0
3	20-02-2023 12:08:01	B788	A	72,6	76,1	86,2
3	20-02-2023 12:11:10	E195	A	72,4	76,4	85,2
3	20-02-2023 12:13:16	E195	A	72,2	77,2	85,6
3	20-02-2023 12:15:27	A321	A	71,6	74,2	83,4
3	20-02-2023 12:17:58	E190	A	71,6	74,4	83,6
3	20-02-2023 12:20:00	A21N	A	70,6	73,4	83,4
3	20-02-2023 12:22:05	B738	A	73,1	78,1	86,5
3	20-02-2023 12:24:22	A21N	A	71,4	75,1	84,7
3	20-02-2023 12:27:11	E195	A	73,2	77,8	86,0
3	20-02-2023 12:29:28	E195	A	71,7	74,5	84,0
3	20-02-2023 12:31:45	E195	A	72,2	75,1	84,0
3	20-02-2023 12:34:58	E190	A	72,5	76,7	85,0
3	20-02-2023 12:37:04	A21N	A	71,2	73,8	82,9
3	20-02-2023 12:39:45	B788	A	73,7	77,1	87,3
3	20-02-2023 12:41:53	A333	A	76,7	84,1	91,0
3	20-02-2023 12:44:54	E170	A	70,3	72,5	81,8
3	20-02-2023 12:47:07	B788	A	72,4	75,8	86,0
3	20-02-2023 12:49:53	E195	A	72,3	77,0	85,5
3	20-02-2023 12:52:04	E195	A	72,3	76,0	84,8
3	20-02-2023 12:54:13	E195	A	72,4	76,4	84,4
3	20-02-2023 12:56:41	E195	A	73,0	76,9	85,3
3	20-02-2023 12:59:08	A319	A	72,3	75,5	84,8
3	20-02-2023 13:01:14	E75S	A	71,4	73,8	82,2
3	20-02-2023 13:03:32	E75S	A	70,5	72,7	81,6

Nr punktu pomiarowego	Data i godz. zdarzenia	Samolot	Operacja*	L _{Aeq}	L _{Max}	L _{AE}
				[dB]	[dB]	[dB]
3	20-02-2023 13:05:46	A321	A	71,3	75,4	84,3
3	20-02-2023 13:17:24	E190	A	72	75,5	85
3	20-02-2023 13:26:06	E170	A	72,5	75,1	83,9
3	20-02-2023 13:28:58	B38M	A	72,2	75,4	85
3	20-02-2023 13:35:36	E170	A	71,4	74,3	83,7
3	20-02-2023 13:51:59	E75S	A	70,8	73,3	83,1
3	20-02-2023 13:54:33	BCS3	A	70	74,3	82,5
3	20-02-2023 13:57:32	E75S	A	70,3	72,7	82,4
3	20-02-2023 13:59:42	E75S	A	71,7	74,6	83,5
3	20-02-2023 14:03:01	B38M	A	71,7	77,2	85,5
3	20-02-2023 14:13:19	E195	A	73,8	78,5	86,4
3	20-02-2023 14:26:44	E75S	A	70,9	73,4	83,7
3	20-02-2023 14:33:41	E190	A	71,8	75,4	84,6
3	20-02-2023 14:35:45	A319	A	71,5	74,5	85,0
3	20-02-2023 14:42:47	A321	A	72,0	74,7	84,5
3	20-02-2023 14:50:01	B38M	A	72,6	76,1	86,0
3	20-02-2023 14:59:13	E195	A	72,1	76,1	85,4
3	20-02-2023 15:01:56	E75S	A	71,0	75,0	83,3
3	20-02-2023 15:20:30	E75S	A	70,6	73,6	82,3
3	20-02-2023 15:26:44	E195	A	72,7	76,7	85,7
3	20-02-2023 15:29:40	E170	A	69,7	72,8	82,0
3	20-02-2023 15:36:55	B38M	A	72,7	75,5	85,4
3	20-02-2023 15:39:13	E195	A	72,0	78,1	85,2
3	20-02-2023 15:41:13	E190	A	70,7	74,7	84,4
3	20-02-2023 15:43:22	B38M	A	73,0	77,6	86,5
3	20-02-2023 15:46:08	E170	A	72,6	76,7	84,4
3	20-02-2023 15:48:58	E190	A	72,4	78,0	85,2
3	20-02-2023 15:50:52	E190	A	71,7	74,1	84,3
3	20-02-2023 15:53:16	E195	A	73,6	77,1	85,9
3	20-02-2023 15:55:32	E190	A	71,6	75,7	85,0
3	20-02-2023 15:58:20	E75S	A	70,0	74,1	83,5
3	20-02-2023 16:00:57	A319	A	70,9	73,5	83,2
3	20-02-2023 16:03:04	CRJ9	A	69,9	72,0	82,2
3	20-02-2023 16:05:26	E75S	A	70,6	73,0	82,9
3	20-02-2023 16:14:27	A332	A	74,3	78,4	88,6
3	20-02-2023 16:17:23	B789	A	71,9	75,5	85,9
3	20-02-2023 16:23:46	E190	A	72,5	74,9	84,3
3	20-02-2023 16:28:31	A321	A	72,2	75,8	85,2
3	20-02-2023 16:35:38	B38M	A	71,6	74,9	85,2
3	20-02-2023 16:46:17	A319	A	72,1	76,2	84,7
3	20-02-2023 16:48:54	E75S	A	71,5	74,9	84,8
3	20-02-2023 16:59:48	A21N	A	72,1	75,5	85,1
3	20-02-2023 17:02:08	A21N	A	71,1	74,6	84,5
3	20-02-2023 17:26:05	E195	A	73,6	78,3	86,6
3	20-02-2023 17:32:59	A321	A	73,0	77,0	86,4
3	20-02-2023 17:40:39	E190	A	71,3	76,6	85,1
3	20-02-2023 17:44:19	A321	A	73,9	78,1	86,6
3	20-02-2023 17:54:52	E75S	A	72,2	76,0	84,8
3	20-02-2023 17:57:11	E195	A	73,2	78,3	86,0
3	20-02-2023 18:05:32	E170	A	70,8	73,2	83,6
3	20-02-2023 18:21:46	B738	A	75,5	82,2	88,5
3	20-02-2023 18:27:45	E190	A	72,3	77,1	86,5
3	20-02-2023 18:31:46	E75S	A	72,5	75,7	83,7
3	20-02-2023 18:34:54	LJ75	A	68,1	70,0	78,5
3	20-02-2023 18:37:24	E195	A	73,4	76,5	86,7
3	20-02-2023 18:39:56	E170	A	70,7	74,2	84,3
3	20-02-2023 18:42:25	E190	A	72,0	76,1	85,5

Nr punktu pomiarowego	Data i godz. zdarzenia	Samolot	Operacja*	L _{Aeq}	L _{Amax}	L _{AE}
				[dB]	[dB]	[dB]
3	20-02-2023 18:45:21	E75S	A	70,2	73,4	83,4
3	20-02-2023 18:47:44	CRJ9	A	71,5	75,2	83,8
3	20-02-2023 18:51:13	E195	A	72,6	77,2	86,4
3	20-02-2023 18:55:38	E75S	A	72,4	75,9	85,4
3	20-02-2023 19:00:25	E195	A	73,4	77,6	86,4
3	20-02-2023 19:04:00	E195	A	73,1	76,0	85,9
3	20-02-2023 19:07:10	A320	A	72,1	76,9	85,8
3	20-02-2023 19:09:44	B38M	A	73,3	77,1	87,1
3	20-02-2023 19:12:38	E75S	A	72,0	75,5	84,8
3	20-02-2023 19:17:58	E75S	A	71,4	76,6	85,6
3	20-02-2023 19:20:32	E195	A	74,2	78,2	86,3
3	20-02-2023 19:23:32	E75S	A	71,0	74,8	84,4
3	20-02-2023 19:25:47	E195	A	73,1	77,4	86,7
3	20-02-2023 19:29:23	B738	A	75,4	81,3	88,4
3	20-02-2023 19:35:24	B38M	A	74,2	78,4	88,2
3	20-02-2023 19:45:32	E170	A	71,7	76,2	86,2
3	20-02-2023 20:02:25	B38M	A	72,7	77,5	86,4
3	20-02-2023 20:12:15	GLF5	A	68,3	71,6	79,7
3	20-02-2023 20:27:40	B788	A	74	78,5	88,9
3	20-02-2023 20:42:07	E170	A	71	75,7	85,2
3	20-02-2023 20:52:06	E195	A	72,5	78,0	85,9
3	20-02-2023 20:55:26	E75S	A	71,6	75,7	86,4
3	20-02-2023 20:58:11	B738	A	70,7	75,0	85,5
3	20-02-2023 21:00:10	E195	A	73,2	78,3	86,2
3	20-02-2023 21:03:19	E190	A	71,6	75,7	85,8
3	20-02-2023 21:09:46	E195	A	73,7	78,6	87,3
3	20-02-2023 21:16:21	A321	A	74,5	77,9	87,3
3	20-02-2023 21:21:44	E75S	A	70,9	74,2	83,9
3	20-02-2023 21:26:48	LJ75	A	68,4	69,8	77,9
3	20-02-2023 21:30:28	E190	A	72,4	75,5	85,6
3	20-02-2023 21:36:57	B38M	A	72,3	76,3	86,6
3	20-02-2023 21:43:14	E190	A	73,1	77,5	85,9
3	20-02-2023 21:46:37	B38M	A	72,6	76,7	86
3	20-02-2023 21:49:17	E195	A	73,6	77,3	87
3	20-02-2023 21:56:46	B38M	A	73,6	78,4	87,5
3	21-02-2023 06:04:46	E195	A	72,2	75,2	84,7
3	21-02-2023 06:13:38	B789	A	72,4	76,3	86,8
3	21-02-2023 06:17:02	E195	A	74,2	78,5	87
3	21-02-2023 06:19:26	E190	A	72,5	76,3	85,7
3	21-02-2023 06:23:22	E75S	A	70,7	73,6	83,7
3	21-02-2023 06:26:01	B788	A	73,4	76,3	87,2
3	21-02-2023 06:28:51	E190	A	71,9	74,7	84
3	21-02-2023 06:31:27	B789	A	72,1	75,4	85,9
3	21-02-2023 06:34:16	B734	A	72,3	77	86,1
3	21-02-2023 06:37:18	E170	A	71,0	74,9	84,3
3	21-02-2023 06:39:50	E75S	A	71,6	75,6	84,8
3	21-02-2023 07:50:17	B742	A	79,1	84,9	95,0
3	21-02-2023 08:02:29	E170	A	70,7	76,0	84,5
3	21-02-2023 08:07:42	PC12	A	70,9	75,2	82,4
3	21-02-2023 08:21:28	B38M	A	72,3	76,0	85,5
3	21-02-2023 08:23:35	E190	A	72,7	76,7	85,3
3	21-02-2023 08:25:55	B38M	A	73,1	75,3	84,5
3	21-02-2023 08:28:45	E170	A	72,3	75,3	85,5
3	21-02-2023 08:38:35	E195	A	72,3	76,7	86,1
3	21-02-2023 08:46:57	E170	A	71,5	75,1	84,1
3	21-02-2023 08:49:26	E75S	A	71,5	75,2	83,8
3	21-02-2023 08:57:35	BCS3	A	69,4	71,9	81,7

Nr punktu pomiarowego	Data i godz. zdarzenia	Samolot	Operacja*	L _{Aeq}	L _{Max}	L _{AE}
				[dB]	[dB]	[dB]
3	21-02-2023 09:01:46	E190	A	72,4	75,1	85,4
3	21-02-2023 09:05:28	B763	A	73,8	77,6	88,6
3	21-02-2023 09:08:37	E195	A	73,1	77,9	86,3
3	21-02-2023 09:10:46	CRJ9	A	69,3	72,8	82,9
3	21-02-2023 09:14:30	E195	A	71,9	75,5	85,3
3	21-02-2023 09:17:06	E75S	A	71,1	74,8	84,1
3	21-02-2023 09:22:14	E195	A	71,4	73,5	84,6
3	21-02-2023 09:28:50	E75S	A	72,1	75,3	84,7
3	21-02-2023 09:32:59	E75S	A	71,1	73,6	82,5
3	21-02-2023 09:36:46	E190	A	71,3	75,5	84,9
3	21-02-2023 09:39:42	A21N	A	73,2	76,7	84,9
3	21-02-2023 09:52:20	E75S	A	70,5	74,1	83,7
3	21-02-2023 09:58:00	C56X	A	69,6	72,2	81,0
3	21-02-2023 10:33:16	E75S	A	71,3	74,4	85,4
3	21-02-2023 10:36:18	E170	A	70,2	74,2	84,5
3	21-02-2023 10:39:14	E170	A	71,4	75,2	84,8
3	21-02-2023 11:09:34	B788	A	72,6	76,8	87,1
3	21-02-2023 11:21:03	A21N	A	70,7	74,3	83,8
3	21-02-2023 11:25:01	E170	A	71,4	74,5	84,7
3	21-02-2023 11:27:12	E195	A	72,3	75,4	84,9
3	21-02-2023 11:29:26	B77W	A	76,2	81,9	91,3
3	21-02-2023 11:39:07	A321	A	72,8	77,1	86,0
3	21-02-2023 11:41:05	A321	A	72,2	76,2	85,7
3	21-02-2023 11:53:41	E75S	A	71,2	73,5	83,2
3	21-02-2023 12:01:22	B789	A	71,8	76,0	86,3
3	21-02-2023 12:09:13	E190	A	71,6	74,2	84,0
3	21-02-2023 12:11:09	BCS3	A	69,8	72,6	83,0
3	21-02-2023 12:13:47	E195	A	71,7	75,4	85,5
3	21-02-2023 12:15:38	E190	A	71,5	76,3	84,9
3	21-02-2023 12:18:17	E190	A	71,5	74,5	84,5
3	21-02-2023 12:24:40	B788	A	73,4	76,9	87,8
3	21-02-2023 12:27:16	E195	A	71,7	75,2	84,9
3	21-02-2023 12:29:24	E195	A	72,1	75,7	85,5
3	21-02-2023 12:33:43	B789	A	72,8	76,8	87,4
3	21-02-2023 12:36:36	E195	A	72,4	74,6	85,4
3	21-02-2023 12:39:11	E75S	A	71,2	73,3	83,2
3	21-02-2023 12:41:22	E75S	A	70,9	73,4	83,7
3	21-02-2023 12:43:43	E195	A	74,7	79,1	86,7
3	21-02-2023 12:45:37	E170	A	71,3	74,1	83,4
3	21-02-2023 12:48:16	E75S	A	72,0	75,8	84,8
3	21-02-2023 12:50:28	B788	A	71,6	76,8	86,3
3	21-02-2023 12:53:24	E190	A	72,5	76,5	85,5
3	21-02-2023 12:55:18	B38M	A	71,0	75,6	85,2
3	21-02-2023 12:57:43	B38M	A	72,0	78,2	85,6
3	21-02-2023 13:00:06	A319	A	71,3	74,4	84,3
3	21-02-2023 13:02:19	E170	A	70,8	74,0	84,1
3	21-02-2023 13:04:59	B789	A	72,7	77,1	86,1
3	21-02-2023 13:08:58	E195	A	74,1	77,8	85,6
3	21-02-2023 13:47:37	E75S	A	71,0	74,2	83,3
3	21-02-2023 13:49:34	E75S	A	71,7	75,1	84,9
3	21-02-2023 13:51:50	BCS3	A	70,4	74,0	81,8
3	21-02-2023 13:53:41	E190	A	72,8	75,6	85,1
3	21-02-2023 13:55:55	E75S	A	71,5	75,2	84,9
3	21-02-2023 13:58:06	B38M	A	72,1	76,9	86,1
3	21-02-2023 14:00:15	A21N	A	71,8	74,7	84,6
3	21-02-2023 14:02:29	E195	A	72,5	76,1	85,5
3	21-02-2023 14:04:55	E170	A	70,4	72,8	83,4

Nr punktu pomiarowego	Data i godz. zdarzenia	Samolot	Operacja*	L_{Aeq}	L_{Amax}	L_{AE}
				[dB]	[dB]	[dB]
3	21-02-2023 14:09:09	E75S	A	70,9	74,2	83,7
3	21-02-2023 14:14:17	B38M	A	72,3	75,9	85,5
3	21-02-2023 14:23:52	A319	A	71,1	74,2	85,1
3	21-02-2023 14:27:43	A21N	A	72,5	76,1	85,5
3	21-02-2023 14:39:53	E195	A	71,9	76,0	85,7
3	21-02-2023 14:48:04	A321	A	72,5	76,4	86,1
3	21-02-2023 14:55:15	E75S	A	70,5	73,3	83,1
3	21-02-2023 15:05:32	E75S	A	71	73,9	84,6
3	21-02-2023 15:08:02	C30J	A	70,6	74,9	83,6
3	21-02-2023 15:10:30	E170	A	72	75,4	84,6
3	21-02-2023 15:21:28	E190	A	72,1	76,5	84,9
3	21-02-2023 15:23:47	E190	A	71,2	74,3	84,6
3	21-02-2023 15:27:38	LJ75	A	67,7	69	76,8
3	21-02-2023 15:29:47	E75S	A	71,8	75,7	84,8
3	21-02-2023 15:32:00	E75S	A	71,9	74,3	83,9
3	21-02-2023 15:34:01	E170	A	70,7	73,5	82,5
3	21-02-2023 15:35:59	A21N	A	70,9	74	83,7
3	21-02-2023 15:38:12	A321	A	71,5	73,8	84,1
3	21-02-2023 15:40:04	E170	A	71,2	74,3	84,5
3	21-02-2023 15:42:19	E195	A	71,7	75,5	84,9
3	21-02-2023 15:44:25	E170	A	71,7	76,4	84,9
3	21-02-2023 15:47:11	E190	A	72,4	75,6	85,1
3	21-02-2023 15:52:16	E190	A	71,1	75,1	84,8
3	21-02-2023 16:00:58	E75S	A	70,7	73,5	82,8
3	21-02-2023 16:07:57	E170	A	71,6	75,5	83,6
3	21-02-2023 16:11:17	A319	A	69,9	73,1	83,1
3	21-02-2023 16:19:28	B38M	A	72,1	76,3	85,1
3	21-02-2023 16:50:49	A320	A	71,8	74,9	84,8
3	21-02-2023 16:55:33	A321	A	73,3	77,5	86,9
3	21-02-2023 17:17:18	A321	A	69,9	72,1	82,9
3	21-02-2023 17:19:53	E75S	A	70,5	73,1	82,8
3	21-02-2023 17:35:55	E195	A	71,5	74,8	84,0
3	21-02-2023 17:44:25	B788	A	70,9	74,6	85,3
3	21-02-2023 17:48:40	A321	A	71,8	76,4	85,6
3	21-02-2023 17:52:35	E170	A	70,9	74,1	83,2
3	21-02-2023 17:55:29	B738	A	72,6	76,5	85,6
3	21-02-2023 17:57:35	E195	A	71,5	75,5	84,1
3	21-02-2023 18:01:07	A20N	A	72,2	75,3	85,4
3	21-02-2023 18:16:28	E190	A	71,3	74,4	84,7
3	21-02-2023 18:19:34	CRJ9	A	70,3	73,0	83,0
3	21-02-2023 18:24:00	E195	A	71,2	73,5	83,7
3	21-02-2023 18:31:13	A320	A	71,3	74,5	83,8
3	21-02-2023 18:33:49	E75S	A	71,0	73,6	83,3
3	21-02-2023 18:36:17	E190	A	71,9	75,4	84,2
3	21-02-2023 18:38:34	E195	A	72,5	76,7	85,6
3	21-02-2023 18:42:52	E190	A	70,7	74,7	83,7
3	21-02-2023 18:45:23	E170	A	71,1	74,2	84,3
3	21-02-2023 18:47:41	E195	A	72,0	74,4	84,6
3	21-02-2023 18:50:12	E190	A	72,6	75,2	84,6
3	21-02-2023 18:54:16	E170	A	70,1	73,3	83,1
3	21-02-2023 18:56:04	E195	A	72,6	75,5	85,2
3	21-02-2023 18:58:13	B789	A	72,4	76,3	86,3
3	21-02-2023 19:01:03	E190	A	71,7	75,8	85,1
3	21-02-2023 19:03:24	E75S	A	71,2	73,6	83,2
3	21-02-2023 19:05:44	E75S	A	71,7	73,9	83,7
3	21-02-2023 19:11:51	B38M	A	71,4	75	84,9
3	21-02-2023 19:14:31	E75S	A	70,9	73,9	83,4

Nr punktu pomiarowego	Data i godz. zdarzenia	Samolot	Operacja*	L_{Aeq}	L_{Amax}	L_{AE}
				[dB]	[dB]	[dB]
3	21-02-2023 19:19:36	B38M	A	70,9	74,4	84,1
3	21-02-2023 19:22:32	E75S	A	70,7	72,8	82,4
3	21-02-2023 19:25:07	B738	A	72,1	75,5	85,5
3	21-02-2023 19:28:42	PC12	A	69,8	72,1	80,9
3	21-02-2023 19:58:39	AT75	A	69,8	71,8	79,8
3	21-02-2023 20:04:36	B38M	A	71,2	75,2	84,8
3	21-02-2023 20:10:58	B762	A	72,1	77,6	86,6
3	21-02-2023 20:28:17	B38M	A	71,8	75,3	85,1
3	21-02-2023 20:40:22	E75S	A	70,7	73,5	83,2
3	21-02-2023 20:42:55	E170	A	70,3	73,6	82,8
3	21-02-2023 21:01:08	E190	A	72,8	77,2	85,3
3	21-02-2023 21:04:33	E170	A	69,7	72,1	82,3
3	21-02-2023 21:06:58	E75S	A	69	72,7	83,9
3	21-02-2023 21:11:48	E195	A	71,6	75,7	85,1
3	21-02-2023 21:14:52	E195	A	72,4	76,0	85,4
3	21-02-2023 21:17:56	E75S	A	70,1	72,5	83,1
3	21-02-2023 21:20:02	E195	A	71,7	78,2	85,5
3	21-02-2023 21:22:25	E75S	A	69,8	73,5	81,8
3	21-02-2023 21:24:39	A319	A	70,2	73,4	82,0
3	21-02-2023 21:26:50	B38M	A	71,2	73,7	83,7
3	21-02-2023 21:29:04	E190	A	72,0	76,2	84,8
3	21-02-2023 21:31:16	E195	A	71,7	74,6	84,5
3	21-02-2023 21:33:19	E195	A	71,2	75	84,9
3	21-02-2023 21:35:24	E75S	A	70,7	74,4	84,4
3	21-02-2023 21:37:35	B38M	A	70,9	75,3	85,1
3	21-02-2023 21:40:15	E195	A	71,3	75,5	84,9
3	21-02-2023 21:43:09	E75S	A	69,9	73,0	82,4
3	21-02-2023 21:50:47	E190	A	71,4	73,8	83,9
3	22-02-2023 06:02:11	A306	A	74,7	78,6	88,1
3	22-02-2023 06:07:01	E170	A	70,3	73,3	83,1
3	22-02-2023 06:08:55	E195	A	72,8	76,3	84,8
3	22-02-2023 06:10:43	B734	A	72,5	76,1	85
3	22-02-2023 06:15:35	E195	A	72	74,4	83,8
3	22-02-2023 06:17:30	E190	A	70,9	72,6	82,3
3	22-02-2023 06:19:24	E195	A	72,4	74,9	84,2
3	22-02-2023 06:21:22	E75S	A	70,9	73,2	82,1
3	22-02-2023 06:23:19	E75S	A	70,0	71,9	81,1
3	22-02-2023 06:25:11	B762	A	71,4	74,9	85,6
3	22-02-2023 06:33:00	E75S	A	70,4	72,0	81,9
3	22-02-2023 06:35:29	E75S	A	71,0	73,1	82,4
3	22-02-2023 07:09:16	B738	A	71,8	74,6	84,1
3	22-02-2023 07:18:51	B738	A	70,2	72,9	82,5
3	22-02-2023 07:28:39	B789	A	70,6	72,7	83,4
3	22-02-2023 07:51:35	PC12	A	71,2	73,4	82,0
3	22-02-2023 08:00:53	B38M	A	72,8	75,1	84,8
3	22-02-2023 08:02:49	E75S	A	70,0	72,9	82,1
3	22-02-2023 08:05:22	E170	A	69,6	71,5	80,4
3	22-02-2023 08:19:08	E190	A	71,2	73,3	83,2
3	22-02-2023 08:33:34	A321	A	72,1	74,6	83,8
3	22-02-2023 08:36:30	E195	A	70,8	72,7	81,2
3	22-02-2023 08:39:37	A319	A	71,8	73,5	83,0
3	22-02-2023 08:43:13	E170	A	71,3	73,7	83,1
3	22-02-2023 08:45:05	E75S	A	70,8	73,3	82,5
3	22-02-2023 08:54:59	E190	A	72,1	75,2	83,8
3	22-02-2023 08:58:46	B38M	A	71,7	74,6	83,2
3	22-02-2023 09:02:41	E195	A	71,0	73,2	83,0
3	22-02-2023 09:16:42	E170	A	71,7	74,7	83,4

Nr punktu pomiarowego	Data i godz. zdarzenia	Samolot	Operacja*	L_{Aeq}	L_{Amax}	L_{AE}
				[dB]	[dB]	[dB]
3	22-02-2023 09:19:01	E75S	A	71,5	73,4	83,0
3	22-02-2023 09:21:03	E170	A	70,6	73,1	82,4
3	22-02-2023 09:24:52	E195	A	71,1	73,2	82,6
3	22-02-2023 09:28:57	E170	A	71,4	73,2	82,6
3	22-02-2023 09:31:45	E75S	A	71,4	73,9	82,9
3	22-02-2023 09:35:53	E190	A	71,9	73,9	83,9
3	22-02-2023 09:38:25	E75S	A	70,1	73,2	82,6
3	22-02-2023 09:40:51	CRJ9	A	70,2	72,8	82,3
3	22-02-2023 10:36:12	A320	A	71,6	74,1	83,3
3	22-02-2023 10:47:04	E170	A	71,1	72,9	81,9
3	22-02-2023 10:59:16	A321	A	70,5	72,3	81,7
3	22-02-2023 11:05:22	C27J	A	71,5	74,8	82,7
3	22-02-2023 11:10:07	E190	A	73,0	76,3	85,3
3	22-02-2023 11:18:07	B789	A	72,2	75,5	85,8
3	22-02-2023 11:25:44	E75S	A	70,7	73,6	83,0
3	22-02-2023 11:28:17	A21N	A	70,5	72,3	81,6
3	22-02-2023 11:40:40	A319	A	71,4	73,5	82,2
3	22-02-2023 11:48:11	E190	A	72,1	75,5	84,6
3	22-02-2023 11:51:04	F2TH	A	69,9	72,5	80,7
3	22-02-2023 11:52:55	E190	A	71,2	73,9	83,5
3	22-02-2023 11:54:55	E75S	A	71,3	73,7	83,6
3	22-02-2023 11:57:08	B77W	A	73,9	79,1	88,4
3	22-02-2023 11:59:27	E190	A	70,7	73,1	83,3
3	22-02-2023 12:01:21	BCS3	A	71,0	75,2	82,5
3	22-02-2023 12:03:10	B788	A	72,3	76,1	85,9
3	22-02-2023 12:06:04	A321	A	70,4	72,8	82,2
3	22-02-2023 12:08:01	C295	A	71,3	73,2	82,1
3	22-02-2023 12:09:55	A321	A	71,3	73,5	82,7
3	22-02-2023 12:11:51	B789	A	71,7	74,5	84,7
3	22-02-2023 12:16:10	E75S	A	71,3	73,5	82,8
3	22-02-2023 12:18:11	A333	A	75,3	80,6	89,1
3	22-02-2023 12:20:32	E190	A	72,8	75,1	84,5
3	22-02-2023 12:22:23	E170	A	70,8	72,4	82,3
3	22-02-2023 12:24:14	E195	A	71,6	74,7	83,6
3	22-02-2023 12:26:02	E75S	A	70,0	73,1	82,8
3	22-02-2023 12:29:56	E195	A	71,7	74,2	84,0
3	22-02-2023 12:32:37	E75S	A	70,5	73,2	84,0
3	22-02-2023 12:34:35	E170	A	70,9	73,4	82,3
3	22-02-2023 12:36:29	E195	A	71,9	75,8	84,7
3	22-02-2023 12:38:40	C56X	A	68,7	70,5	79,1
3	22-02-2023 12:40:30	B789	A	71,5	73,3	83,8
3	22-02-2023 12:42:53	E75S	A	71,0	73,4	82,8
3	22-02-2023 12:44:44	B788	A	71,1	74,3	83,8
3	22-02-2023 12:47:12	E170	A	70,7	72,8	82,1
3	22-02-2023 12:49:16	E195	A	72,1	74,9	84,1
3	22-02-2023 12:51:21	E170	A	71,2	73,9	82,6
3	22-02-2023 12:53:19	E170	A	70,6	72,2	81,0
3	22-02-2023 13:07:09	A321	A	70,6	72,4	81,8
3	22-02-2023 13:22:00	E75S	A	70,4	73,1	81,5
3	22-02-2023 13:25:16	B789	A	72,6	76,3	86,4
3	22-02-2023 13:28:06	A319	A	70,0	73,2	82,3
3	22-02-2023 13:30:10	E75S	A	70,4	72,4	81,9
3	22-02-2023 13:40:30	BCS1	A	71,2	73,3	82,4
3	22-02-2023 13:42:57	E190	A	70,8	73,6	82,3
3	22-02-2023 13:45:52	B38M	A	71,1	74,1	83,4
3	22-02-2023 13:49:32	E195	A	71,8	74,6	83,3
3	22-02-2023 13:51:38	E190	A	72,2	75,2	84,5

Nr punktu pomiarowego	Data i godz. zdarzenia	Samolot	Operacja*	L _{Aeq}	L _{Max}	L _{AE}
				[dB]	[dB]	[dB]
3	22-02-2023 14:00:14	E195	A	72,5	74,6	83,7
3	22-02-2023 14:02:19	A320	A	71,4	75,0	83,7
3	22-02-2023 14:17:52	E195	A	75,0	78,4	86,5
3	22-02-2023 14:30:45	B38M	A	71,0	73,9	83,6
3	22-02-2023 14:40:50	A21N	A	70,8	73,5	82,6
3	22-02-2023 14:54:02	B738	A	72,2	75,8	85,4
3	22-02-2023 15:02:01	E195	A	71,6	75,0	83,9
3	22-02-2023 15:05:12	A21N	A	71,8	75,7	83,8
3	22-02-2023 15:08:14	E190	A	70,2	73,6	82,8
3	22-02-2023 15:14:44	B38M	A	72,3	76,2	84,6
3	22-02-2023 15:24:14	E75S	A	71,1	74,1	82,6
3	22-02-2023 15:26:17	E190	A	72,6	75,3	83,7
3	22-02-2023 15:28:48	E190	A	71,8	74,1	82,9
3	22-02-2023 15:31:29	E190	A	70,0	72,9	81,8
3	22-02-2023 15:33:32	E170	A	70,5	72,5	82,0
3	22-02-2023 15:35:27	E75S	A	71,3	73,6	82,5
3	22-02-2023 15:39:55	E75S	A	69,6	71,2	80,4
3	22-02-2023 15:41:43	E170	A	70,6	72,4	83,0
3	22-02-2023 15:43:33	E195	A	71,3	73,5	83,1
3	22-02-2023 15:45:47	E75S	A	70,4	72,8	82,1
3	22-02-2023 15:47:52	E195	A	72,3	75,9	83,7
3	22-02-2023 15:50:27	E190	A	71,6	74,1	84,6
3	22-02-2023 15:52:37	E195	A	71,2	73,3	83,2
3	22-02-2023 16:03:51	A319	A	71,6	73,9	83,4
3	22-02-2023 16:08:43	E170	A	71,6	74,8	84,2
3	22-02-2023 16:42:06	B738	A	72,2	74,9	83,9
3	22-02-2023 16:47:49	A321	A	71,3	73,8	82,8
3	22-02-2023 17:19:31	A321	A	70,6	72,6	81,4
3	22-02-2023 17:26:30	CRJ9	A	69,3	72,8	82,3
3	22-02-2023 17:55:05	CRJ9	A	69,7	71,2	80,4
3	22-02-2023 18:01:38	A321	A	69,9	73,3	83,2
3	22-02-2023 18:05:47	A321	A	72,3	75,0	84,6
3	22-02-2023 18:14:30	E170	A	70,0	71,5	80,4
3	22-02-2023 18:20:34	A319	A	70,8	74,0	83,8
3	22-02-2023 18:27:44	E75S	A	70,1	72,0	80,5
3	22-02-2023 18:30:03	E195	A	71,3	73,4	82,5
3	22-02-2023 18:32:47	E75S	A	70,4	72,4	81,2
3	22-02-2023 18:35:53	E190	A	71,0	73,1	81,8
3	22-02-2023 18:37:56	E190	A	72,0	74,6	84,0
3	22-02-2023 18:42:15	E195	A	71,4	73,5	82,6
3	22-02-2023 18:43:50	E190	A	72,5	74,4	84
3	22-02-2023 18:45:40	E195	A	71,4	74,1	82,9
3	22-02-2023 18:47:28	E195	A	71,9	74,0	83,4
3	22-02-2023 18:49:58	E170	A	70,5	72,7	81,2
3	22-02-2023 18:51:38	E75S	A	70,1	72,1	80,9
3	22-02-2023 18:56:05	A21N	A	70,8	72,8	81,6
3	22-02-2023 18:59:49	B38M	A	71,8	74,7	83,2
3	22-02-2023 19:02:39	BCS3	A	69,9	72	80,7
3	22-02-2023 19:04:25	CRJ9	A	70,6	73,1	81,4
3	22-02-2023 19:06:05	E75S	A	70	72,6	81,2
3	22-02-2023 19:08:17	E190	A	71	74,1	82,1
3	22-02-2023 19:10:22	E170	A	71,5	74,0	82,9
3	22-02-2023 19:12:57	C17	A	76,2	80,3	90,0
3	22-02-2023 19:19:58	E75S	A	69,5	71,5	80,9
3	22-02-2023 19:31:05	B38M	A	71,0	73,3	82,2
3	22-02-2023 19:41:04	E75S	A	70	71,3	80,4
3	22-02-2023 19:46:08	E190	A	71,2	73,3	82,3

Nr punktu pomiarowego	Data i godz. zdarzenia	Samolot	Operacja*	L_{Aeq}	L_{Amax}	L_{AE}
				[dB]	[dB]	[dB]
3	22-02-2023 19:49:49	C295	A	70,3	72,8	80,7
3	22-02-2023 20:15:30	B38M	A	71,4	73,5	82,8
3	22-02-2023 20:52:41	E75S	A	71,1	73,5	82,3
3	22-02-2023 21:00:44	E75S	A	70,2	71,7	80,6
3	22-02-2023 21:04:29	B38M	A	70,3	73,3	82,8
3	22-02-2023 21:08:41	E195	A	70,7	72,6	81,8
3	22-02-2023 21:14:08	E75S	A	70,3	72,0	81,1
3	22-02-2023 21:18:55	B38M	A	70,3	72,3	81,7
3	22-02-2023 21:21:08	E195	A	71,0	74,1	83,0
3	22-02-2023 21:23:33	E195	A	72,2	73,9	84,0
3	22-02-2023 21:26:18	E170	A	71,7	73,8	83,1
3	22-02-2023 21:28:57	A321	A	69,8	72,2	81,3
3	22-02-2023 21:31:00	B38M	A	72,3	74,8	83,7
3	22-02-2023 21:32:34	E75S	A	71,8	73,7	82,5
3	22-02-2023 21:34:21	E190	A	70,9	73,4	83,2
3	22-02-2023 21:36:39	E75S	A	69,9	71,2	80,3
3	22-02-2023 21:44:47	B38M	A	72,0	74,8	83,8
3	22-02-2023 21:46:56	PC12	A	71,7	74,1	81,3
3	22-02-2023 21:49:01	E190	A	70,8	72,7	82,2
3	22-02-2023 21:51:32	E190	A	69,3	71,6	81,6
3	22-02-2023 21:55:08	E195	A	71,0	73,7	82,4
3	22-02-2023 21:57:41	B738	A	71,4	74,3	82,9
3	22-02-2023 21:59:07	E195	A	72,0	75,1	83,8
3	23-02-2023 06:41:50	B789	D	67,0	68,2	76,6
3	23-02-2023 06:49:55	A321	D	65,8	68,5	75,8
3	23-02-2023 07:32:09	E195	D	69,1	71,6	80,6
3	23-02-2023 08:05:18	C17	D	72,9	77,5	87,9
3	23-02-2023 08:32:45	E75S	D	70,6	74,1	81,3
3	23-02-2023 10:24:28	C17	D	74,9	80,9	90,3
3	23-02-2023 10:45:31	E195	D	68,4	72,3	80,7
3	23-02-2023 12:05:11	B789	D	68,9	71,2	79,3
3	23-02-2023 12:53:10	E190	D	67,6	69,8	77,6
3	23-02-2023 14:02:14	B77W	D	68,8	71,8	80,5
3	23-02-2023 14:42:12	C17	D	72,3	77,0	86,1
3	23-02-2023 15:00:27	E195	D	69,1	70,5	79,5
3	23-02-2023 15:08:37	E190	D	67,9	69,5	76,9
3	23-02-2023 15:19:12	E75S	D	68,4	71,4	79,9
3	23-02-2023 16:09:30	E190	D	67,7	69,7	77,2
3	23-02-2023 16:15:04	A321	D	69,9	74,4	83,4
3	23-02-2023 16:55:18	E190	D	67,1	69,3	77,1
3	23-02-2023 17:04:59	B788	D	69,9	71,8	82,7
3	23-02-2023 17:40:55	B789	D	68,2	69,1	77,2
3	23-02-2023 17:49:21	B789	D	70,4	73,4	83,4
3	23-02-2023 17:55:11	A321	D	67,0	68,8	76,5
3	23-02-2023 19:37:49	A321	D	69,6	72,6	81,9
3	23-02-2023 20:31:33	E190	D	68,0	69,1	77,0
3	23-02-2023 21:12:43	E190	D	69,6	71,6	79,2
3	23-02-2023 21:15:46	A21N	D	69,7	72,1	81,5
3	24-02-2023 07:19:39	B38M	A	73,1	75,8	85,1
3	24-02-2023 07:35:27	B789	A	74,1	77,5	87,3
3	24-02-2023 07:56:10	B738	A	72,4	75,7	84,7
3	24-02-2023 08:02:32	E75S	A	70,0	71,7	80,8
3	24-02-2023 08:04:51	B38M	A	72,0	74,8	84,6
3	24-02-2023 08:06:57	E170	A	69,6	71,1	81,1
3	24-02-2023 08:10:10	E195	A	71,4	74,1	83,2
3	24-02-2023 08:18:12	E190	A	71,6	73,8	83,1
3	24-02-2023 08:20:21	E195	A	72,7	75,8	84,1

Nr punktu pomiarowego	Data i godz. zdarzenia	Samolot	Operacja*	L _{Aeq}	L _{Max}	L _{AE}
				[dB]	[dB]	[dB]
3	24-02-2023 08:28:20	E170	A	70,9	73,1	82,3
3	24-02-2023 08:44:19	C17	A	78,1	82,7	93,2
3	24-02-2023 08:48:18	E170	A	69,6	71,1	80,0
3	24-02-2023 08:50:27	A320	A	71,9	75,3	84,0
3	24-02-2023 09:03:16	E190	A	71,7	74,3	83,2
3	24-02-2023 09:06:49	B788	A	71,5	75,7	84,7
3	24-02-2023 09:09:55	E195	A	72,2	74,1	83,3
3	24-02-2023 09:12:19	E75S	A	70,6	73,1	81,0
3	24-02-2023 09:14:29	E170	A	71,6	73,8	83,0
3	24-02-2023 09:16:21	CRJ9	A	70,5	73,1	81,9
3	24-02-2023 09:18:49	E190	A	73,0	75,8	83,8
3	24-02-2023 09:21:03	E190	A	72,0	74,6	83,5
3	24-02-2023 09:23:32	C295	A	71,0	73,0	81,4
3	24-02-2023 09:26:25	E170	A	70,1	72,2	81,9
3	24-02-2023 09:28:54	E75S	A	71,7	74,0	83,2
3	24-02-2023 09:30:54	E190	A	72,1	74,7	83,2
3	24-02-2023 09:36:44	E75S	A	69,0	70,8	81,6
3	24-02-2023 09:40:02	E75S	A	70,4	71,9	81,6
3	24-02-2023 09:42:05	E195	A	72,4	75,3	84,1
3	24-02-2023 09:50:51	B38M	A	71,5	75,7	85,3
3	24-02-2023 09:59:33	A21N	A	72,2	74,2	82,6
3	24-02-2023 10:07:05	CRJ2	A	68,8	70,5	78,8
3	24-02-2023 10:21:15	E195	A	71,2	73,7	82,7
3	24-02-2023 10:25:21	A321	A	72,7	75,9	84,2
3	24-02-2023 10:40:28	CL35	A	70,2	72,1	79,8
3	24-02-2023 10:42:32	E190	A	70,3	72,3	81,4
3	24-02-2023 10:47:01	E75S	A	69,9	71,2	80,3
3	24-02-2023 10:54:06	A321	A	71,3	73,6	82,1
3	24-02-2023 10:56:39	E190	A	71,7	75,5	82,5
3	24-02-2023 11:02:31	B788	A	73,1	75,2	85,2
3	24-02-2023 11:05:36	E190	A	71,9	74,8	83,9
3	24-02-2023 11:12:51	B77W	A	74,3	79,3	88,7
3	24-02-2023 11:22:23	B738	A	72,9	75,6	85,0
3	24-02-2023 11:24:37	A320	A	70,8	73,4	83,6
3	24-02-2023 11:28:15	A321	A	71,7	74,3	84,0
3	24-02-2023 11:31:32	A21N	A	70,5	73,6	83,5
3	24-02-2023 11:39:23	E195	A	71,9	75,7	84,9
3	24-02-2023 11:49:52	A21N	A	71,9	73,7	83,6
3	24-02-2023 11:51:53	E75S	A	71,1	73,0	82,6
3	24-02-2023 11:55:02	E195	A	71,2	73,5	82,9
3	24-02-2023 12:03:27	E190	A	71,6	75,5	83,6
3	24-02-2023 12:05:14	E195	A	71,1	73,7	83,4
3	24-02-2023 12:07:41	BCS3	A	71,1	72,7	81,9
3	24-02-2023 12:09:56	B789	A	70,3	73,5	82,8
3	24-02-2023 12:12:25	E75S	A	70,9	72,9	81,3
3	24-02-2023 12:15:55	E190	A	72,2	74,7	84,0
3	24-02-2023 12:17:52	A321	A	71,1	73,8	83,1
3	24-02-2023 12:19:53	E170	A	70,1	71,9	81,6
3	24-02-2023 12:21:44	E195	A	72,4	75,0	84,2
3	24-02-2023 12:23:46	E195	A	72,4	75,5	83,6
3	24-02-2023 12:32:09	B789	A	73,7	76,9	86,9
3	24-02-2023 12:34:47	A21N	A	71,9	74,1	84,4
3	24-02-2023 12:36:41	E195	A	71,4	74,0	83,8
3	24-02-2023 12:39:06	A333	A	74,3	78,8	89,2
3	24-02-2023 12:41:46	E170	A	71,2	75,4	84,7
3	24-02-2023 12:43:40	E170	A	70,9	73,1	82,7
3	24-02-2023 12:45:21	E170	A	72,4	74,6	84,5

Nr punktu pomiarowego	Data i godz. zdarzenia	Samolot	Operacja*	L _{Aeq}	L _{Amax}	L _{AE}
				[dB]	[dB]	[dB]
3	24-02-2023 12:48:16	E195	A	72,7	76,3	85,3
3	24-02-2023 12:50:19	E195	A	71,5	74,2	84,1
3	24-02-2023 12:52:17	E75S	A	69,3	71,1	79,7
3	24-02-2023 12:54:02	A21N	A	71,1	72,6	82,9
3	24-02-2023 12:56:24	A319	A	72,1	75,1	84,1
3	24-02-2023 12:58:26	B789	A	71,4	74,6	85,3
3	24-02-2023 13:03:47	B38M	A	71,4	75,0	84,7
3	24-02-2023 13:09:15	C17	A	77,2	82,0	92,1
3	24-02-2023 13:22:50	B788	A	71,9	74,8	84,9
3	24-02-2023 13:25:11	E195	A	72,4	75,2	84,7
3	24-02-2023 13:26:59	E190	A	71,6	74,9	83,4
3	24-02-2023 13:37:40	B38M	A	72,0	75,6	85,0
3	24-02-2023 13:40:10	B789	A	72,2	75,9	86,0
3	24-02-2023 13:47:02	B38M	A	73,5	77,0	86,7
3	24-02-2023 13:49:12	E75S	A	71,8	74,1	83,2
3	24-02-2023 13:51:18	BCS3	A	71,1	75,6	81,8
3	24-02-2023 13:53:10	B738	A	73,5	77,3	86,1
3	24-02-2023 13:55:12	E195	A	72,1	75,0	83,9
3	24-02-2023 14:00:04	B738	A	72,7	75,3	85,0
3	24-02-2023 14:01:50	E75S	A	71,4	74,2	83,2
3	24-02-2023 14:11:32	B38M	A	72,2	74,9	84,6
3	24-02-2023 14:18:10	A321	A	71,8	74,1	83,3
3	24-02-2023 14:41:17	E190	A	72,0	74,8	83,8
3	24-02-2023 14:44:03	B38M	A	72,3	75,8	85,3
3	24-02-2023 14:52:59	B38M	A	71,8	75,1	84,1
3	24-02-2023 15:00:40	E195	A	71,6	74,7	84,1
3	24-02-2023 15:16:56	E75S	A	71,5	73,8	82,3
3	24-02-2023 15:21:55	E195	A	72,6	75,3	83,7
3	24-02-2023 15:24:57	E190	A	73,0	75,9	84,4
3	24-02-2023 15:27:26	E170	A	69,6	71,3	80,7
3	24-02-2023 15:28:53	E195	A	72,8	75,7	84,3
3	24-02-2023 15:31:10	PC12	A	70,3	72,9	81,4
3	24-02-2023 15:33:12	E75S	A	71,7	74,8	85,5
3	24-02-2023 15:35:07	E195	A	71,8	74,4	83,3
3	24-02-2023 15:37:05	E195	A	72,0	74,8	84,0
3	24-02-2023 15:38:48	E190	A	71,4	75,7	84,8
3	24-02-2023 15:40:50	E75S	A	69,6	71,6	81,0
3	24-02-2023 15:42:44	E195	A	70,9	73,2	82,7
3	24-02-2023 15:51:13	E190	A	71,7	73,6	83,2
3	24-02-2023 15:58:51	E195	A	71,9	74,9	84,2
3	24-02-2023 16:02:36	E190	A	72,3	76,3	84,6
3	24-02-2023 16:08:37	B738	P	74,2	77,3	87,0
3	24-02-2023 16:24:53	A321	A	70,8	73,0	82,8
3	24-02-2023 16:28:07	A319	A	72,0	74,2	83,5
3	24-02-2023 16:36:28	A321	A	71,9	74,0	83,4
3	24-02-2023 17:25:45	A321	A	71,5	74,3	82,9
3	24-02-2023 17:29:18	E75S	A	71,2	74,0	83,3
3	24-02-2023 17:41:46	CRJ9	A	71,1	74,0	82,3
3	24-02-2023 17:43:54	A320	A	71,2	75,7	84,7
3	24-02-2023 17:46:16	E190	A	70,5	73,6	83,3
3	24-02-2023 17:49:58	E170	A	70,4	72,7	82,1
3	24-02-2023 17:54:21	A333	A	72,8	76,2	86,2
3	24-02-2023 17:57:13	E190	A	70,6	72,8	83,1
3	24-02-2023 18:06:42	CRJ9	A	69,9	71,7	82,0
3	24-02-2023 18:11:08	E75S	A	70,6	72,6	82,4
3	24-02-2023 18:19:12	A321	A	72,5	74,5	83,9
3	24-02-2023 18:29:20	E195	A	72,2	74,4	84,2

Nr punktu pomiarowego	Data i godz. zdarzenia	Samolot	Operacja*	L _{Aeq}	L _{Max}	L _{AE}
				[dB]	[dB]	[dB]
3	24-02-2023 18:31:17	E195	A	72,6	76,0	85,1
3	24-02-2023 18:33:07	E190	A	71,1	73,3	83,2
3	24-02-2023 18:35:15	B788	A	72,2	75,1	85,2
3	24-02-2023 18:37:21	A320	A	72,4	74,7	84,4
3	24-02-2023 18:41:08	E75S	A	69,7	71,4	80,8
3	24-02-2023 18:46:22	B38M	A	72,6	76,0	85,4
3	24-02-2023 18:49:32	E195	A	72,0	75,3	84,0
3	24-02-2023 18:54:44	B738	A	72,7	75,5	85,2
3	24-02-2023 18:58:09	E75S	A	70,5	73,1	82,3
3	24-02-2023 19:01:33	BCS3	A	70,0	71,1	80,8
3	24-02-2023 19:03:27	B738	A	72,6	76,4	85,6
3	24-02-2023 19:05:43	E170	A	71,9	74,5	84,0
3	24-02-2023 19:07:19	E195	A	71,5	74,0	83,2
3	24-02-2023 19:09:13	E190	A	71,5	74,3	83,6
3	24-02-2023 19:11:12	E75S	A	70,9	72,7	81,3
3	24-02-2023 19:15:12	B38M	A	71,3	74,2	84,3
3	24-02-2023 19:23:46	B38M	A	72,5	75,0	85,0
3	24-02-2023 19:30:02	E190	A	71,5	74,2	83,8
3	24-02-2023 19:33:22	E190	A	71,7	74,3	83,1
3	24-02-2023 19:58:27	B738	A	73,5	76,6	86,3
3	24-02-2023 20:35:03	E75S	A	70,5	72,4	81,6
3	24-02-2023 20:38:37	E190	A	71,9	75,3	83,7
3	24-02-2023 20:41:38	E190	A	71,4	74,0	82,6
3	24-02-2023 20:50:38	E195	A	71,9	74,4	84,0
3	24-02-2023 20:56:30	W3	A	75,6	79,8	89,0
3	24-02-2023 21:01:50	A321	A	71,0	73,7	83,0
3	24-02-2023 21:07:00	B38M	A	72,2	74,6	84,5
3	24-02-2023 21:09:31	B38M	A	71,3	74,1	83,6
3	24-02-2023 21:11:49	E195	A	72,1	75,1	83,8
3	24-02-2023 21:17:43	B38M	A	71,4	73,7	83,1
3	24-02-2023 21:22:41	E170	A	70,0	72,5	81,2
3	24-02-2023 21:24:47	E195	A	72,3	74,1	83,5
3	24-02-2023 21:26:44	E195	A	72,8	75,2	84,5
3	24-02-2023 21:28:16	E195	A	72,2	74,3	83,3
3	24-02-2023 21:30:02	E190	A	72,4	75,5	85,2
3	24-02-2023 21:32:34	E75S	A	71,1	72,6	82,2
3	24-02-2023 21:35:23	PC12	A	70,8	73,9	81,6
3	24-02-2023 21:37:18	E195	A	71,0	73,8	82,7
3	24-02-2023 21:38:42	E195	A	71,4	74,2	83,7
3	24-02-2023 21:41:36	B38M	A	71,3	75,4	84,8
3	24-02-2023 21:45:03	B38M	A	73,4	76,3	85,7
3	24-02-2023 21:48:44	E190	A	71,4	73,6	82,9
3	24-02-2023 21:50:23	E170	A	70,3	72,9	82,0
3	24-02-2023 21:51:59	B38M	A	71,4	74,6	83,7
3	24-02-2023 21:53:34	E75S	A	70,7	72,8	81,9
3	24-02-2023 21:56:15	B738	A	72,6	75,3	84,4
3	24-02-2023 21:57:45	E190	A	71,2	74,0	82,7
3	24-02-2023 21:59:24	B738	A	72,2	75,0	84,2
3	25-02-2023 06:03:06	LJ45	A	68,7	71,3	78,2
3	25-02-2023 06:10:29	E75S	A	71,0	74,7	84,0
3	25-02-2023 06:16:35	E75S	A	69,6	71,3	80,7
3	25-02-2023 06:18:18	E190	A	71,7	74,6	83,5
3	25-02-2023 06:20:15	E190	A	71,6	75,0	84,0
3	25-02-2023 06:22:30	E195	A	72,3	76,7	84,9
3	25-02-2023 06:24:34	B38M	A	71,7	75,3	84,7
3	25-02-2023 06:26:56	E195	A	71,7	75,3	84,2
3	25-02-2023 06:29:14	E190	A	71,6	74,9	84,1

Nr punktu pomiarowego	Data i godz. zdarzenia	Samolot	Operacja*	L _{Aeq}	L _{Amax}	L _{AE}
				[dB]	[dB]	[dB]
3	25-02-2023 06:31:32	E195	A	73,7	77,1	85,2
3	25-02-2023 06:33:55	B38M	A	72,1	75,1	84,6
3	25-02-2023 06:36:26	B738	A	72,2	76,4	86,2
3	25-02-2023 07:39:09	B38M	A	72,1	74,4	84,2
3	25-02-2023 07:49:42	B738	A	73,3	76,9	84,8
3	25-02-2023 08:06:27	E170	A	70,2	72,4	81,7
3	25-02-2023 08:09:45	B38M	A	70,8	74,5	83,4
3	25-02-2023 08:21:31	E170	A	71,1	73,7	83,4
3	25-02-2023 08:27:25	E190	A	71,6	74,8	83,7
3	25-02-2023 08:31:27	A321	A	72,4	75,8	84,2
3	25-02-2023 08:33:25	E195	A	72,3	75,1	84,0
3	25-02-2023 08:38:59	A321	A	70,6	73,2	81,8
3	25-02-2023 08:41:25	BCS3	A	69,5	72,8	82,3
3	25-02-2023 08:45:37	E190	A	71,4	74,1	83,4
3	25-02-2023 08:47:29	E75S	A	72,5	74,9	84,6
3	25-02-2023 08:54:51	B38M	A	72,4	76,4	85,2
3	25-02-2023 09:05:55	E195	A	71,5	74,1	84,1
3	25-02-2023 09:08:01	E190	A	71,3	73,9	83,9
3	25-02-2023 09:12:31	E195	A	73,5	75,3	85,0
3	25-02-2023 09:17:24	E75S	A	70,9	74,1	82,7
3	25-02-2023 09:19:19	E170	A	71,1	73,7	82,6
3	25-02-2023 09:25:15	E75S	A	70,4	74,0	83,4
3	25-02-2023 09:38:49	B38M	A	71,8	75,1	83,8
3	25-02-2023 09:54:18	E75S	A	70,9	74,3	83,2
3	25-02-2023 10:03:14	H25B	A	70,8	72,9	81,6
3	25-02-2023 10:05:27	E75S	A	71,8	74,1	82,9
3	25-02-2023 10:08:09	A21N	A	71,1	74,5	84,3
3	25-02-2023 10:20:33	E170	A	71,3	74,5	83,8
3	25-02-2023 10:31:48	A321	A	72,9	75,8	84,6
3	25-02-2023 10:38:44	B788	A	72,1	75,5	85,7
3	25-02-2023 10:41:18	A321	A	71,6	74,7	84,1
3	25-02-2023 10:45:11	A321	A	70,7	72,9	82,2
3	25-02-2023 10:49:50	B789	A	72,9	75,3	84,9
3	25-02-2023 10:53:27	E170	A	70,9	73,6	83,0
3	25-02-2023 11:17:22	B77W	A	75,1	78,6	88,5
3	25-02-2023 11:32:04	E190	A	70,8	74,0	84,1
3	25-02-2023 11:34:57	A321	A	70,3	73,1	82,7
3	25-02-2023 11:38:32	A21N	A	71,2	73,5	83,0
3	25-02-2023 11:42:20	A321	A	70,3	71,8	82,3
3	25-02-2023 11:45:46	B788	A	72,9	77,2	86,9
3	25-02-2023 11:48:13	E190	A	72,6	75,0	84,6
3	25-02-2023 11:50:55	B788	A	74,0	77,9	87,6
3	25-02-2023 11:53:10	B738	A	73,3	76,3	86,3
3	25-02-2023 11:55:21	BCS3	A	70,0	72,4	82,1
3	25-02-2023 11:57:11	E190	A	73,1	75,9	84,9
3	25-02-2023 11:59:00	E195	A	71,7	74,8	84,0
3	25-02-2023 12:03:36	A321	A	71,3	74,6	84,0
3	25-02-2023 12:10:52	E75S	A	71,1	73,8	82,3
3	25-02-2023 12:13:07	B38M	A	72,8	75,6	84,6
3	25-02-2023 12:16:14	E75S	A	70,1	73,1	82,4
3	25-02-2023 12:20:24	E195	A	72,4	74,6	84,1
3	25-02-2023 12:22:50	B788	A	71,7	74,6	84,7
3	25-02-2023 12:25:29	E190	A	73,5	76,4	84,3
3	25-02-2023 12:27:29	E195	A	72,7	76,7	84,7
3	25-02-2023 12:29:25	E195	A	71,7	75,2	83,7
3	25-02-2023 12:31:39	E170	A	70,8	73,1	82,9
3	25-02-2023 12:33:37	E75S	A	71,2	73,5	82,4

Nr punktu pomiarowego	Data i godz. zdarzenia	Samolot	Operacja*	L _{Aeq}	L _{Max}	L _{AE}
				[dB]	[dB]	[dB]
3	25-02-2023 12:35:42	E190	A	71,9	74,3	83,6
3	25-02-2023 12:40:29	E195	A	72,6	76,0	84,6
3	25-02-2023 12:43:48	B789	A	72,4	75,6	85,6
3	25-02-2023 12:46:20	E170	A	71,2	74,2	82,6
3	25-02-2023 12:48:22	E195	A	72,0	77,1	84,8
3	25-02-2023 12:50:19	A319	A	71,6	73,6	83,1
3	25-02-2023 12:52:27	P180	A	74,5	77,9	88,1
3	25-02-2023 12:56:00	E190	A	72,3	74,8	84,1
3	25-02-2023 12:57:56	B738	A	73,1	76,7	85,9
3	25-02-2023 12:59:49	E190	A	73,1	76,2	83,9
3	25-02-2023 13:01:30	E190	A	71,7	74,6	83,7
3	25-02-2023 13:03:11	B738	A	72,2	75,5	84,8
3	25-02-2023 13:05:05	E75S	A	70,7	72,7	81,5
3	25-02-2023 13:14:26	E190	A	71,1	73,1	83,4
3	25-02-2023 13:16:37	A21N	A	71,0	73,4	82,8
3	25-02-2023 13:18:47	B38M	A	71,4	74,6	84,1
3	25-02-2023 13:24:53	B789	A	74,2	77,9	87,3
3	25-02-2023 13:31:13	A21N	A	70,8	73,3	83,4
3	25-02-2023 13:40:43	E75S	A	71,0	73,7	84,0
3	25-02-2023 13:51:51	E75S	A	71,6	73,7	83,6
3	25-02-2023 13:54:26	B38M	A	71,6	75,3	84,6
3	25-02-2023 13:58:41	BCS3	A	69,6	72,3	81,9
3	25-02-2023 14:06:05	E195	A	72,1	74,9	84,4
3	25-02-2023 14:26:03	A321	A	73,0	75,6	85,1
3	25-02-2023 14:28:37	B38M	A	72,6	76,1	85,4
3	25-02-2023 14:39:26	B38M	A	72,7	78,2	86,5
3	25-02-2023 14:47:29	B738	A	71,5	74,9	85,5
3	25-02-2023 14:50:08	E75S	A	72,0	74,2	83,8
3	25-02-2023 14:54:30	CL30	A	67,1	68,6	77,5
3	25-02-2023 15:03:04	PC12	A	72,2	74,8	83,7
3	25-02-2023 15:16:05	PC12	A	70,8	73,9	82,5
3	25-02-2023 15:19:27	E195	A	72,6	76,3	84,4
3	25-02-2023 15:26:36	E190	A	71,9	74,1	84,2
3	25-02-2023 15:29:32	E170	A	71,0	73,4	83,0
3	25-02-2023 15:33:04	E195	A	72,6	74,8	85,0
3	25-02-2023 15:35:54	A321	A	71,6	73,8	83,6
3	25-02-2023 15:39:08	E190	A	71,9	75,7	84,2
3	25-02-2023 15:42:16	A21N	A	72,2	74,8	84,5
3	25-02-2023 15:43:57	E75S	A	71,3	75,0	84,9
3	25-02-2023 15:46:18	A21N	A	72,7	77,8	84,8
3	25-02-2023 15:48:02	B38M	A	72,2	75,1	84,2
3	25-02-2023 15:52:16	E195	A	72,4	75,7	84,9
3	25-02-2023 15:54:06	E195	A	71,1	74,5	84,8
3	25-02-2023 15:56:11	B738	A	72,3	76,6	86,4
3	25-02-2023 15:58:15	E190	A	71,1	74,4	84,3
3	25-02-2023 16:00:25	E75S	A	71,0	73,8	82,8
3	25-02-2023 16:05:34	E170	A	70,6	72,7	82,7
3	25-02-2023 16:07:39	B38M	A	71,8	75,0	85,2
3	25-02-2023 16:10:12	E75S	A	71,4	73,9	83,2
3	25-02-2023 16:14:38	B789	A	71,7	75,1	85,5
3	25-02-2023 16:24:30	B788	A	71,9	74,8	85,9
3	25-02-2023 16:27:00	B38M	A	72,4	75,6	85,2
3	25-02-2023 16:29:26	B38M	A	72,0	75,7	84,6
3	25-02-2023 17:13:51	A321	A	72,2	74,7	84,5
3	25-02-2023 17:34:45	A321	A	72,1	74,7	84,4
3	25-02-2023 17:40:43	P180	A	75,6	80,3	90,8
3	25-02-2023 17:43:11	E195	A	70,8	73,4	83,4

Nr punktu pomiarowego	Data i godz. zdarzenia	Samolot	Operacja*	L _{Aeq}	L _{Max}	L _{AE}
				[dB]	[dB]	[dB]
3	25-02-2023 17:47:39	E195	A	72,1	75,9	84,4
3	25-02-2023 17:56:27	A321	A	71,1	73,8	83,4
3	25-02-2023 18:06:06	A320	A	73,7	77,3	86,7
3	25-02-2023 18:11:12	E190	A	72,3	75,8	85,1
3	25-02-2023 18:24:32	E75S	A	70,4	73,3	82,5
3	25-02-2023 18:34:37	E75S	A	70,8	73,4	82,8
3	25-02-2023 18:42:44	E190	A	71,5	75,2	83,5
3	25-02-2023 18:46:49	E195	A	72,8	75,8	84,8
3	25-02-2023 18:49:50	E195	A	71,9	74,7	84,0
3	25-02-2023 18:51:34	E170	A	71,2	73,1	81,9
3	25-02-2023 18:53:26	E195	A	72,9	75,7	84,7
3	25-02-2023 18:55:33	E195	A	71,2	73,5	83,0
3	25-02-2023 18:57:37	E190	A	72,7	76,0	84,2
3	25-02-2023 19:02:18	E75S	A	72,0	75,5	83,8
3	25-02-2023 19:05:06	E75S	A	70,9	73,6	83,2
3	25-02-2023 19:09:17	E190	A	72,1	75,4	84,4
3	25-02-2023 19:11:31	E190	A	71,5	74,1	84,0
3	25-02-2023 19:19:37	E75S	A	70,1	72,7	81,6
3	25-02-2023 19:31:12	E170	A	70,5	73,1	83,0
3	25-02-2023 19:40:32	E75S	A	71,0	73,9	82,8
3	25-02-2023 19:56:46	B38M	A	71,2	75,6	85,1
3	25-02-2023 20:21:35	B738	A	72,5	75,7	85,7
3	25-02-2023 20:36:02	B762	A	72,3	75,3	86,4
3	25-02-2023 20:43:51	E170	A	71,1	73,3	81,9
3	25-02-2023 20:47:20	E190	A	72,0	75,2	84,1
3	25-02-2023 20:52:07	B38M	A	71,5	75,4	85,6
3	25-02-2023 20:58:58	E170	A	70,3	72,7	82,4
3	25-02-2023 21:01:44	E190	A	72,2	74,8	83,4
3	25-02-2023 21:05:05	B738	A	73,0	76,7	85,8
3	25-02-2023 21:19:37	E75S	A	71,0	74,0	83,3
3	25-02-2023 21:21:51	E75S	A	72,4	74,5	84,5
3	25-02-2023 21:29:00	B738	A	72,7	75,5	85,2
3	25-02-2023 21:37:59	A320	A	73,2	75,6	85,2
3	25-02-2023 21:39:44	E195	A	71,5	75,1	84,9
3	25-02-2023 21:41:42	E75S	A	71,5	73,9	84,0
3	25-02-2023 21:43:37	E195	A	72,8	76,0	85,1
3	25-02-2023 21:45:37	B738	A	73,2	76,4	86,5
3	25-02-2023 21:47:30	E195	A	72,5	76,8	85,0
3	25-02-2023 21:56:57	B38M	A	72,6	76,7	85,9
3	26-02-2023 06:06:57	B38M	A	71,0	73,9	84,2
3	26-02-2023 06:09:26	E75S	A	70,8	73,1	81,9
3	26-02-2023 06:12:44	B738	A	72,1	74,8	84,6
3	26-02-2023 06:18:40	E190	A	72,2	74,8	83,7
3	26-02-2023 06:27:35	E195	A	71,5	74,4	83,8
3	26-02-2023 06:59:11	E75S	A	71,1	73,5	82,3
3	26-02-2023 07:04:36	B789	A	72,0	74,6	85,6
3	26-02-2023 07:33:36	B38M	A	72,1	75,6	85,5
3	26-02-2023 07:46:52	B738	A	71,9	74,9	84,0
3	26-02-2023 07:54:55	B738	A	72,7	76,1	85,7
3	26-02-2023 08:02:31	B38M	A	72,8	79,3	87,2
3	26-02-2023 08:05:08	E190	A	71,2	73,4	83,5
3	26-02-2023 08:11:58	B38M	A	72,4	76,5	86,0
3	26-02-2023 08:22:44	E195	A	71,4	72,7	83,4
3	26-02-2023 09:03:00	E190	A	72,3	75,5	84,1
3	26-02-2023 09:20:26	B738	A	71,1	73,9	83,7
3	26-02-2023 09:22:43	E75S	A	70,9	73,5	82,4
3	26-02-2023 09:34:19	E75S	A	70,9	73,8	81,7

Nr punktu pomiarowego	Data i godz. zdarzenia	Samolot	Operacja*	L _{Aeq}	L _{Max}	L _{AE}
				[dB]	[dB]	[dB]
3	26-02-2023 09:39:57	E75S	A	70,4	72,9	83,2
3	26-02-2023 09:53:20	E75S	A	70,7	72,6	82,8
3	26-02-2023 09:58:45	A21N	A	70,6	73,0	82,4
3	26-02-2023 10:43:21	E75S	A	70,4	73,0	82,9
3	26-02-2023 10:45:45	E75S	A	70,9	73,9	82,4
3	26-02-2023 11:09:10	A321	A	71,2	74,2	82,7
3	26-02-2023 11:16:13	B77W	A	74,0	78,9	88,4
3	26-02-2023 11:21:24	E75S	A	70,3	72,9	81,8
3	26-02-2023 11:31:45	A321	A	70,7	72,8	82,7
3	26-02-2023 11:48:54	E195	A	70,9	74,0	83,0
3	26-02-2023 11:52:24	B789	A	71,7	74,4	85,6
3	26-02-2023 11:55:28	A20N	A	70,8	73,4	83,1
3	26-02-2023 11:58:08	E195	A	71,4	74,3	83,7
3	26-02-2023 12:00:21	E190	A	90,4	90,5	109,9
3	26-02-2023 12:02:50	A321	A	70,4	72,5	82,1
3	26-02-2023 12:05:44	E170	A	70,8	72,5	82,9
3	26-02-2023 12:08:15	A321	A	70,4	72,9	81,8
3	26-02-2023 12:11:23	E195	A	72,1	75,5	84,2
3	26-02-2023 12:13:45	A332	A	75,3	81,8	89,1
3	26-02-2023 12:16:12	A21N	A	71,4	74,8	84,2
3	26-02-2023 12:18:19	E190	A	71,2	73,6	83,5
3	26-02-2023 12:20:45	E195	A	71,3	74,0	83,8
3	26-02-2023 12:25:46	B788	A	72,3	75,0	85,3
3	26-02-2023 12:28:25	E190	A	71,6	75,0	83,9
3	26-02-2023 12:32:40	E75S	A	70,6	73,0	82,9
3	26-02-2023 12:36:01	E195	A	71,9	74,8	83,7
3	26-02-2023 12:38:40	B788	A	72,4	75,2	84,7
3	26-02-2023 12:41:08	BCS3	A	69,7	71,8	81,1
3	26-02-2023 12:43:08	E195	A	71,6	73,2	83,4
3	26-02-2023 12:45:13	E195	A	71,6	74,4	83,9
3	26-02-2023 12:47:04	E170	A	71,0	73,2	82,2
3	26-02-2023 12:55:21	B788	A	72,9	75,8	85,9
3	26-02-2023 12:58:47	B38M	A	72,3	74,5	84,6
3	26-02-2023 13:00:55	E170	A	70,1	72,5	81,6
3	26-02-2023 13:03:00	E190	A	71,4	73,7	83,9
3	26-02-2023 13:05:12	E195	A	71,4	74,3	83,5
3	26-02-2023 13:07:19	E170	A	70,0	73,2	82,6
3	26-02-2023 13:20:34	A319	A	70,5	73,2	83,5
3	26-02-2023 13:23:02	B788	A	71,2	75,1	84,8
3	26-02-2023 13:25:15	E75S	A	71,0	72,8	82,5
3	26-02-2023 13:27:16	B788	A	71,7	75,6	84,0
3	26-02-2023 13:29:48	A21N	A	71,7	73,6	84,0
3	26-02-2023 13:33:06	A21N	A	71,0	75,1	83,0
3	26-02-2023 13:43:32	E75S	A	70,5	73,1	81,7
3	26-02-2023 13:46:06	E190	A	71,9	76,1	84,2
3	26-02-2023 14:01:21	E190	A	72,1	75,1	83,9
3	26-02-2023 14:06:03	E195	A	72,0	74,5	84,1
3	26-02-2023 14:08:42	GLF5	A	68,3	69,0	77,3
3	26-02-2023 14:10:33	B38M	A	71,9	77,8	85,4
3	26-02-2023 14:20:12	BCS3	A	69,2	71,2	81,0
3	26-02-2023 14:25:40	E190	A	71,2	73,3	83,0
3	26-02-2023 14:28:54	E170	A	71,0	74,2	83,0
3	26-02-2023 14:45:11	E195	A	71,6	74,6	83,3
3	26-02-2023 14:53:36	A320	A	72,0	76,0	84,0
3	26-02-2023 15:00:12	B738	A	72,5	76,6	84,8
3	26-02-2023 15:02:26	E75S	A	69,9	72,7	81,4
3	26-02-2023 15:06:23	B38M	A	71,4	74,1	82,6

Nr punktu pomiarowego	Data i godz. zdarzenia	Samolot	Operacja*	L_{Aeq}	L_{Amax}	L_{AE}
				[dB]	[dB]	[dB]
3	26-02-2023 15:08:14	E195	A	71,3	73,6	83,3
3	26-02-2023 15:10:26	A321	A	71,0	73,0	82,5
3	26-02-2023 15:12:45	B38M	A	72,4	74,8	83,5
3	26-02-2023 15:14:53	E190	A	71,2	73,5	83,2
3	26-02-2023 15:17:38	A320	A	71,3	74,3	83,6
3	26-02-2023 15:20:00	E75S	A	69,9	72,1	81,7
3	26-02-2023 15:23:59	E75S	A	69,9	72,4	81,0
3	26-02-2023 15:31:16	E190	A	70,7	73,5	82,8
3	26-02-2023 15:33:14	E75S	A	70,5	74,6	82,2
3	26-02-2023 15:35:15	E195	A	72,4	78,6	84,7
3	26-02-2023 15:39:48	B38M	A	71,4	73,7	82,9
3	26-02-2023 15:41:58	E195	A	71,7	74,5	83,8
3	26-02-2023 15:44:19	E195	A	71,2	74,1	83,5
3	26-02-2023 15:59:10	E190	A	71,4	73,7	82,6
3	26-02-2023 16:04:58	B38M	A	71,2	74,3	83,5
3	26-02-2023 16:07:07	A321	A	70,6	72,0	83,3
3	26-02-2023 16:09:10	E190	A	71,2	73,8	82,9
3	26-02-2023 16:12:24	CRJ9	A	69,4	70,2	78,9
3	26-02-2023 16:14:28	E190	A	71,0	74,0	83,0
3	26-02-2023 16:29:22	A320	A	70,5	72,3	81,6
3	26-02-2023 16:37:44	E170	A	70,3	72,6	81,1
3	26-02-2023 16:53:22	A321	A	70,1	72,0	81,6
3	26-02-2023 16:56:34	A321	A	69,0	71,6	83,1
3	26-02-2023 16:59:05	B738	A	72,2	75,0	84,2
3	26-02-2023 17:01:16	B38M	A	70,2	73,6	83,4
3	26-02-2023 17:23:01	E190	A	71,1	74,0	82,6
3	26-02-2023 17:25:51	C30J	A	73,3	76,1	84,1
3	26-02-2023 17:31:37	CRJ9	A	69,9	71,5	80,7
3	26-02-2023 17:37:45	A21N	A	70,9	73,4	82,9
3	26-02-2023 17:49:47	E170	A	69,7	71,3	80,5
3	26-02-2023 17:52:10	B738	A	71,2	74,8	84,8
3	26-02-2023 17:54:30	E195	A	72,4	75,4	84,1
3	26-02-2023 18:03:19	CRJ9	A	69,3	71,7	81,6
3	26-02-2023 18:13:33	HDJT	A	68,0	68,7	77,1
3	26-02-2023 18:22:01	E190	A	72,2	75,6	83,7
3	26-02-2023 18:26:59	GL5T	A	69,5	70,6	79,1
3	26-02-2023 18:33:27	E195	A	71,1	72,9	82,6
3	26-02-2023 18:38:19	E170	A	70,6	73,0	82,1
3	26-02-2023 18:40:36	E75S	A	70,2	72,5	81,3
3	26-02-2023 18:43:32	B738	A	72,0	74,7	84,3
3	26-02-2023 18:48:36	E195	A	71,7	75,6	83,4
3	26-02-2023 18:50:52	E190	A	70,7	72,4	82,2
3	26-02-2023 18:54:53	E75S	A	69,6	71,5	80,4
3	26-02-2023 18:57:29	E190	A	71,9	74,3	83,1
3	26-02-2023 18:59:39	A21N	A	70,2	72,7	81,7
3	26-02-2023 19:01:46	B38M	A	71,7	74,9	84,0
3	26-02-2023 19:03:55	E190	A	71,3	73,5	83,1
3	26-02-2023 19:06:07	E75S	A	69,9	71,9	81,1
3	26-02-2023 19:09:11	B38M	A	71,9	74,4	84,2
3	26-02-2023 19:11:43	A20N	A	70,9	72,9	82,4
3	26-02-2023 19:13:46	E195	A	71,6	74,9	83,6
3	26-02-2023 19:19:33	E75S	A	70,4	72,6	82,5
3	26-02-2023 19:24:10	A21N	A	71,1	73,5	82,9
3	26-02-2023 19:27:38	E195	A	72,1	75,5	84,1
3	26-02-2023 19:36:08	E170	A	69,4	71,5	81,1
3	26-02-2023 19:42:02	BCS3	A	70,1	71,8	80,5
3	26-02-2023 19:59:26	PC12	A	70,9	72,5	79,9

Nr punktu pomiarowego	Data i godz. zdarzenia	Samolot	Operacja*	L_{Aeq}	L_{Amax}	L_{AE}
				[dB]	[dB]	[dB]
3	26-02-2023 20:11:27	B738	A	72,7	78,1	86,2
3	26-02-2023 20:46:21	E75S	A	69,9	71,9	80,7
3	26-02-2023 20:49:12	E75S	A	69,9	71,9	80,3
3	26-02-2023 20:51:16	E75S	A	70,6	73,0	81,8
3	26-02-2023 20:57:17	E190	A	71,9	74,8	83,7
3	26-02-2023 21:01:06	E190	A	71,2	73,3	82,3
3	26-02-2023 21:06:25	E75S	A	70,3	72,7	80,7
3	26-02-2023 21:14:49	E170	A	69,7	71,0	80,5
3	26-02-2023 21:16:56	E190	A	71,5	73,9	83,0
3	26-02-2023 21:21:34	E75S	A	71,1	73,4	82,6
3	26-02-2023 21:29:38	E195	A	71,7	75,1	83,5
3	26-02-2023 21:38:14	E195	A	71,7	74,3	82,8
3	26-02-2023 21:40:22	B738	A	71,7	74,2	83,4
3	26-02-2023 21:43:48	B38M	A	70,8	73,1	82,9
3	26-02-2023 21:46:13	E195	A	72,2	75,7	83,9
3	26-02-2023 21:48:42	A321	A	69,6	71,3	80,3
3	26-02-2023 21:50:37	E190	A	71,1	73,7	82,9
3	26-02-2023 21:52:19	E190	A	72,3	75,2	84,3
3	26-02-2023 21:54:04	E195	A	71,4	74,5	83,4
3	26-02-2023 21:55:47	E195	A	71,3	74,1	83,0
3	26-02-2023 21:57:35	B38M	A	70,9	73,3	82,3
3	26-02-2023 21:59:17	A21N	A	71,1	73,9	82,5
3	27-02-2023 06:04:10	E75S	A	70,4	72,9	82,5
3	27-02-2023 06:06:13	A21N	A	70,6	73,4	82,6
3	27-02-2023 06:12:46	E195	A	71,5	74,2	83,6
3	27-02-2023 06:14:29	E190	A	71,2	74,5	84,0
3	27-02-2023 06:16:09	E195	A	72,5	74,6	83,6
3	27-02-2023 06:18:08	E195	A	72,6	75,2	84,1
3	27-02-2023 06:19:57	E190	A	72,1	74,9	83,8
3	27-02-2023 06:21:56	E75S	A	70,7	72,5	81,8
3	27-02-2023 06:23:47	E75S	A	70,3	72,5	81,4
3	27-02-2023 06:25:57	E195	A	72,4	75,8	84,1
3	27-02-2023 06:37:30	E75S	A	70,6	72,4	81,4
3	27-02-2023 06:39:50	E75S	A	70,8	73,3	83,2
3	27-02-2023 06:49:27	B738	A	72,9	75,5	84,6
3	27-02-2023 06:55:21	B738	A	71,7	75,3	84,2
3	27-02-2023 07:46:41	B738	A	72,9	76,1	84,7
3	27-02-2023 07:57:00	E190	A	71,2	73,0	82,6
3	27-02-2023 08:06:17	E75S	A	70,0	72,7	81,5
3	27-02-2023 08:09:18	E195	A	71,2	74,3	82,9
3	27-02-2023 08:15:24	B38M	A	71,4	74,5	84,2
3	27-02-2023 08:18:33	A21N	A	71,1	74,6	83,7
3	27-02-2023 08:20:45	B38M	A	70,9	75,0	83,2
3	27-02-2023 08:23:13	E195	A	71,1	73,2	82,6
3	27-02-2023 08:25:36	E170	A	69,9	72,2	80,7
3	27-02-2023 08:39:02	A20N	A	70,9	75,3	81,7
3	27-02-2023 08:50:19	E170	A	70,2	72,8	81,3
3	27-02-2023 08:53:15	E190	A	71,2	73,3	82,0
3	27-02-2023 08:55:45	CRJ9	A	70,9	73,6	81,7
3	27-02-2023 08:58:14	BCS3	A	74,5	80,8	84,5
3	27-02-2023 09:08:05	E195	A	71,4	73,7	83,2
3	27-02-2023 09:14:14	E170	A	71,7	75,4	82,8
3	27-02-2023 09:17:53	E195	A	71,1	73,2	82,8
3	27-02-2023 09:19:52	E195	A	72,6	75,7	83,7
3	27-02-2023 09:23:03	CRJ9	A	70,0	71,8	80,4
3	27-02-2023 09:25:06	E190	A	70,8	73,1	82,3
3	27-02-2023 09:27:07	E190	A	71,5	73,6	82,7

Nr punktu pomiarowego	Data i godz. zdarzenia	Samolot	Operacja*	L_{Aeq}	L_{Amax}	L_{AE}
				[dB]	[dB]	[dB]
3	27-02-2023 09:30:10	E75S	A	70,1	73,1	80,6
3	27-02-2023 09:32:58	F2TH	A	68,1	69,5	78,1
3	27-02-2023 09:34:42	E75S	A	69,6	71,5	80,8
3	27-02-2023 09:50:42	A21N	A	70,7	73,7	81,8
3	27-02-2023 09:52:26	B38M	A	71,3	74,8	83,1
3	27-02-2023 09:59:45	E190	A	70,7	72,7	81,8
3	27-02-2023 10:28:04	E75S	A	69,9	71,3	79,4
3	27-02-2023 10:42:47	E75S	A	69,9	73,4	81,4
3	27-02-2023 10:47:15	B788	A	73,1	75,5	84,8
3	27-02-2023 10:51:10	E75S	A	69,2	70,5	79,6
3	27-02-2023 11:00:30	P180	A	73,8	78,5	89,1
3	27-02-2023 11:11:47	B738	A	72,0	74,7	83,2
3	27-02-2023 11:18:20	A321	A	70,8	72,9	81,6
3	27-02-2023 11:31:20	B744	A	78,1	83,7	92,2
3	27-02-2023 11:33:56	E195	A	70,5	72,7	81,9
3	27-02-2023 11:36:23	A21N	A	69,1	72,8	83,3
3	27-02-2023 11:41:13	E75S	A	71,6	74,8	83,1
3	27-02-2023 11:45:27	A321	A	70,4	71,5	80,4
3	27-02-2023 11:48:18	B77W	A	73,8	76,8	87,6
3	27-02-2023 11:50:40	B738	A	72,2	74,9	83,6
3	27-02-2023 11:52:32	E75S	A	71,1	73,1	81,5
3	27-02-2023 11:54:11	A21N	A	70,4	73,3	82,5
3	27-02-2023 11:57:31	E190	A	70,8	72,6	81,6
3	27-02-2023 11:59:51	A321	A	70,0	72,6	82,3
3	27-02-2023 12:02:20	B38M	A	71,1	73,4	82,6
3	27-02-2023 12:05:57	BCS3	A	69,8	71,8	81,0
3	27-02-2023 12:07:43	E75S	A	69,6	72,3	80,7
3	27-02-2023 12:09:20	E190	A	70,9	72,6	82,4
3	27-02-2023 12:11:29	A21N	A	70,4	72,2	81,8
3	27-02-2023 12:13:12	A321	A	69,7	71,4	80,5
3	27-02-2023 12:14:51	E170	A	71,9	76,2	83,7
3	27-02-2023 12:17:32	B789	A	74,1	76,8	86,1
3	27-02-2023 12:19:38	E190	A	70,8	73,1	81,6
3	27-02-2023 12:22:32	E170	A	70,6	77,0	84,1
3	27-02-2023 12:24:24	E75S	A	70,1	73,0	81,5
3	27-02-2023 12:26:00	B738	A	70,6	73,9	83,4
3	27-02-2023 12:27:48	E195	A	70,8	73,7	82,3
3	27-02-2023 12:29:36	E170	A	70,2	72,9	81,4
3	27-02-2023 12:31:24	E195	A	70,7	73,0	82,4
3	27-02-2023 12:33:12	E195	A	70,5	72,2	81,6
3	27-02-2023 12:34:59	E170	A	68,2	69,2	78,2
3	27-02-2023 12:36:38	E195	A	70,7	73,3	82,2
3	27-02-2023 12:38:42	E190	A	71,8	74,7	83,3
3	27-02-2023 12:40:47	E170	A	69,3	70,7	79,3
3	27-02-2023 12:42:30	E195	A	71,8	76,1	83,3
3	27-02-2023 12:44:30	A333	A	73,2	77,9	87,2
3	27-02-2023 12:47:19	E190	A	71,5	74,0	82,3
3	27-02-2023 12:49:57	B788	A	71,7	75,3	84,5
3	27-02-2023 12:53:14	E170	A	70,5	73,3	81,6
3	27-02-2023 12:55:08	B788	A	70,6	74,7	84,5
3	27-02-2023 12:57:38	A321	A	70,2	71,9	80,6
3	27-02-2023 13:00:48	A319	A	71,0	72,7	82,1
3	27-02-2023 13:06:27	B788	A	72,9	76,4	86,1
3	27-02-2023 13:28:10	E190	A	68,7	70,3	78,3
3	27-02-2023 13:40:58	E195	A	72,1	76,3	83,6
3	27-02-2023 13:44:29	E190	A	71,0	73,3	82,1
3	27-02-2023 13:46:04	E75S	A	70,5	72,5	80,9

Nr punktu pomiarowego	Data i godz. zdarzenia	Samolot	Operacja*	L_{Aeq}	L_{Amax}	L_{AE}
				[dB]	[dB]	[dB]
3	27-02-2023 13:49:24	B38M	A	71,1	73,6	82,2
3	27-02-2023 13:52:17	E75S	A	70,0	71,9	81,2
3	27-02-2023 14:06:25	E195	A	70,1	72,1	81,8
3	27-02-2023 14:08:15	B38M	A	70,7	73,1	82,2
3	27-02-2023 14:10:46	A321	A	71,0	72,9	81,8
3	27-02-2023 14:21:35	BCS3	A	69,1	71,7	79,9
3	27-02-2023 14:37:39	A21N	A	71,2	73,1	81,7
3	27-02-2023 14:42:12	B38M	A	71,0	73,9	83,6
3	27-02-2023 14:46:05	E75S	A	70,8	72,7	81,6
3	27-02-2023 14:49:45	E195	A	71,6	74,3	83,6
3	27-02-2023 14:51:22	B738	A	71,2	74,3	83,7
3	27-02-2023 15:01:33	B738	A	70,3	72,7	83,1
3	27-02-2023 15:08:30	E75S	A	71,7	75,2	82,5
3	27-02-2023 15:18:21	E75S	A	69,9	72,1	79,9
3	27-02-2023 15:22:51	E190	A	70,6	74,0	81,7
3	27-02-2023 15:25:31	A320	A	70,4	72,0	81,9
3	27-02-2023 15:26:59	B38M	A	71,5	75,3	83,3
3	27-02-2023 15:29:24	E75S	A	69,8	71,6	80,3
3	27-02-2023 15:32:25	B789	A	70,8	73,8	83,3
3	27-02-2023 15:35:00	E75S	A	70,7	72,8	81,8
3	27-02-2023 15:39:30	E195	A	71,2	73,0	81,9
3	27-02-2023 15:42:18	E190	A	71,7	74,1	82,5
3	27-02-2023 15:44:10	E170	A	70,3	72,6	80,7
3	27-02-2023 15:46:01	E195	A	72,6	75,3	83,7
3	27-02-2023 15:48:00	E170	A	70,9	73,3	81,7
3	27-02-2023 15:59:34	B738	A	69,8	72,1	81,9
3	27-02-2023 16:02:04	E190	A	71,9	74,8	83,9
3	27-02-2023 16:04:47	CRJ9	A	68,3	70,0	79,4
3	27-02-2023 16:06:35	E75S	A	69,7	71,6	80,5
3	27-02-2023 16:10:56	E190	A	71,3	75,7	83,6
3	27-02-2023 16:13:55	A321	A	69,0	70,3	79,8
3	27-02-2023 16:32:03	B738	A	71,7	75,2	83,7
3	27-02-2023 16:35:34	A321	A	70,6	73,0	81,4
3	27-02-2023 16:40:28	A332	A	73,1	75,6	85,6
3	27-02-2023 16:43:04	A21N	A	74,4	78,8	87,2
3	27-02-2023 16:45:28	E190	A	71,7	73,7	82,8
3	27-02-2023 17:20:48	E170	A	69,4	71,5	80,5
3	27-02-2023 17:35:58	CRJ2	A	67,2	67,8	76,2
3	27-02-2023 17:47:19	E170	A	69,9	71,9	81,9
3	27-02-2023 17:54:10	E190	A	70,9	73,1	82,4
3	27-02-2023 17:59:30	B738	A	70,7	72,8	81,5
3	27-02-2023 18:01:56	A321	A	70,8	72,8	81,6
3	27-02-2023 18:06:34	E195	A	72,0	74,6	83,1
3	27-02-2023 18:10:55	C295	A	70,2	71,8	80,6
3	27-02-2023 18:15:00	E190	A	70,7	73,9	81,5
3	27-02-2023 18:23:14	E75S	A	69,9	71,7	80,7
3	27-02-2023 18:25:37	CRJ9	A	71,1	73,2	81,5
3	27-02-2023 18:28:40	A320	A	70,6	72,8	82,1
3	27-02-2023 18:30:50	E75S	A	70,8	73,8	82,0
3	27-02-2023 18:34:07	E75S	A	70,4	72,3	80,8
3	27-02-2023 18:35:57	E195	A	72,0	74,6	83,5
3	27-02-2023 18:38:08	E195	A	72,3	75,2	84,1
3	27-02-2023 18:40:27	E75S	A	70,9	73,4	82,3
3	27-02-2023 18:43:39	E195	A	71,4	74,7	83,5
3	27-02-2023 18:45:27	E190	A	70,9	73,9	82,7
3	27-02-2023 18:47:57	A320	A	70,9	72,6	81,3
3	27-02-2023 18:49:36	E190	A	71,5	74,2	84,3

Nr punktu pomiarowego	Data i godz. zdarzenia	Samolot	Operacja*	L _{Aeq}	L _{Amax}	L _{AE}
				[dB]	[dB]	[dB]
3	27-02-2023 18:51:47	B38M	A	71,0	73,3	83,0
3	27-02-2023 18:54:36	B38M	A	71,0	73,1	82,8
3	27-02-2023 18:56:30	E75S	A	70,9	73,5	81,7
3	27-02-2023 18:58:29	E75S	A	70,8	73,4	81,9
3	27-02-2023 19:02:05	E170	A	71,2	73,2	82,7
3	27-02-2023 19:07:55	E75S	A	70,2	72,0	81,0
3	27-02-2023 19:09:25	E170	A	70,8	73,1	82,2
3	27-02-2023 21:33:43	B788	D	69,9	71,5	79,9
3	28-02-2023 10:12:01	B738	D	67,3	69,3	78,7
3	28-02-2023 10:38:53	E75S	D	68,8	70,1	77,8
3	28-02-2023 13:24:19	A21N	A	70,1	72,0	81,3
3	28-02-2023 13:33:09	E75S	A	70,5	72,0	80,9
3	28-02-2023 13:41:23	B788	A	70,5	73,0	82,6
3	28-02-2023 13:48:00	E195	A	72,1	76,8	83,9
3	28-02-2023 13:50:05	B788	A	70,9	73,9	83,7
3	28-02-2023 13:54:12	E190	A	71,3	73,9	81,7
3	28-02-2023 13:56:07	E195	A	70,1	72,9	81,8
3	28-02-2023 13:58:05	BCS1	A	72,5	78,7	82,5
3	28-02-2023 14:00:03	B38M	A	70,8	73,6	82,6
3	28-02-2023 14:04:23	E75S	A	69,5	71,6	81,2
3	28-02-2023 14:06:17	E195	A	71,2	74,3	82,7
3	28-02-2023 14:07:50	A321	A	71,1	72,7	81,9
3	28-02-2023 14:17:43	C295	A	69,8	71,7	80,2
3	28-02-2023 14:26:42	E195	A	71,6	74,8	83,0
3	28-02-2023 14:28:57	B38M	A	71,2	73,8	82,0
3	28-02-2023 14:30:48	E190	A	71,6	74,1	83,1
3	28-02-2023 14:32:38	A21N	A	70,6	72,9	82,4
3	28-02-2023 14:50:49	A321	A	71,1	73,4	82,5
3	28-02-2023 14:59:19	B738	A	71,2	74,2	82,6
3	28-02-2023 15:02:50	B788	A	72,6	76,0	85,2
3	28-02-2023 15:04:51	E75S	A	69,0	70,8	79,4
3	28-02-2023 15:06:38	E170	A	69,6	70,7	80,8
3	28-02-2023 15:13:05	E75S	A	69,5	71,2	79,9
3	28-02-2023 15:16:34	E170	A	69,0	71,5	80,1
3	28-02-2023 15:22:57	E195	A	71,4	74,0	82,9
3	28-02-2023 15:25:44	E195	A	72,1	74,6	82,9
3	28-02-2023 15:27:57	E190	A	70,7	73,3	82,2
3	28-02-2023 15:30:06	E190	A	70,7	73,3	82,5
3	28-02-2023 15:32:11	A321	A	70,2	71,9	80,6
3	28-02-2023 15:34:16	E75S	A	69,6	71,9	80,4
3	28-02-2023 15:37:35	E170	A	69,7	71,5	80,1
3	28-02-2023 15:47:43	E190	A	71,4	73,9	83,4
3	28-02-2023 15:55:20	B38M	A	70,7	73,5	82,4
3	28-02-2023 16:02:55	E190	A	72,1	74,5	83,3
3	28-02-2023 16:24:52	E170	A	70,4	73,7	80,8
3	28-02-2023 16:29:47	C295	A	71,4	73,3	81,8
3	28-02-2023 16:36:47	A320	A	70,2	71,6	81,0
3	28-02-2023 17:05:39	E75S	A	70,8	73,1	83,1
3	28-02-2023 17:18:41	A321	A	70,5	72,3	81,3
3	28-02-2023 17:21:35	B789	A	71,6	74,1	83,9
3	28-02-2023 17:26:12	E75S	A	69,9	71,0	80,3
3	28-02-2023 17:39:23	A321	A	71,6	74,0	83,1
3	28-02-2023 17:56:10	E190	A	71,6	74,1	82,7
3	28-02-2023 17:58:55	E190	A	71,4	73,4	83,1
3	28-02-2023 18:08:39	CRJ9	A	70,5	73,2	81,6
3	28-02-2023 18:15:23	E190	A	71,4	73,6	83,4
3	28-02-2023 18:24:39	E195	A	71,2	73,5	83,0

Nr punktu pomiarowego	Data i godz. zdarzenia	Samolot	Operacja*	L_{Aeq}	L_{Amax}	L_{AE}
				[dB]	[dB]	[dB]
3	28-02-2023 18:30:51	E75S	A	69,6	71,3	80,7
3	28-02-2023 18:34:57	E195	A	72,3	76,5	84,0
3	28-02-2023 18:36:41	E195	A	70,1	71,6	81,6
3	28-02-2023 18:38:47	B789	A	72,9	76,1	85,5
3	28-02-2023 18:41:03	B738	A	72,0	74,8	83,8
3	28-02-2023 18:42:51	E195	A	71,3	73,9	82,8
3	28-02-2023 18:44:29	E75S	A	70,8	73,3	82,6
3	28-02-2023 18:46:11	E195	A	72,7	75,6	84,5
3	28-02-2023 18:48:05	E170	A	70,6	73,2	82,6
3	28-02-2023 18:49:46	B738	A	72,0	74,8	83,8
3	28-02-2023 18:51:43	E170	A	69,9	72,0	80,7
3	28-02-2023 18:53:28	E75S	A	71,6	73,8	83,0
3	28-02-2023 18:55:24	E190	A	70,3	72,2	81,8
3	28-02-2023 18:57:20	E170	A	70,2	72,3	81,6
3	28-02-2023 18:59:19	E75S	A	70,7	72,7	81,9
3	28-02-2023 19:01:14	E195	A	72,2	74,9	83,9
3	28-02-2023 19:02:53	A21N	A	70,8	73,3	82,6
3	28-02-2023 19:04:59	A320	A	70,0	71,6	80,8
3	28-02-2023 19:06:35	E190	A	70,5	72,6	81,9
3	28-02-2023 19:09:37	B738	A	73,0	75,8	85,5
3	28-02-2023 19:12:06	C295	A	70,9	73,1	81,7
3	28-02-2023 19:15:40	B38M	A	70,9	73,1	82,4
3	28-02-2023 19:21:49	E75S	A	69,8	71,1	80,9
3	28-02-2023 19:34:11	A21N	A	70,0	72,2	81,5
3	28-02-2023 19:52:35	AT75	A	68,8	70,5	78,8
3	28-02-2023 20:23:49	B38M	A	72,1	75,7	84,2
3	28-02-2023 20:39:04	E170	A	70,4	73,9	81,2
3	28-02-2023 20:51:36	E75S	A	70,1	72,3	80,5
3	28-02-2023 20:54:42	E170	A	69,7	71,1	80,1
3	28-02-2023 21:02:35	E195	A	71,1	72,9	82,6
3	28-02-2023 21:05:52	E75S	A	69,7	72,1	80,5
3	28-02-2023 21:20:11	E75S	A	69,9	71,6	80,3
3	28-02-2023 21:27:16	E75S	A	70,0	71,8	80,8
3	28-02-2023 21:31:42	E190	A	70,9	73,4	82,4
3	28-02-2023 21:34:43	B738	A	71,7	74,3	84,0
3	28-02-2023 21:36:14	E75S	A	70,1	71,9	81,6
3	28-02-2023 21:38:00	E190	A	71,4	73,8	82,9
3	28-02-2023 21:39:33	B38M	A	70,6	72,8	81,8
3	28-02-2023 21:41:31	B738	A	72,3	75,0	84,1
3	28-02-2023 21:43:17	E195	A	70,9	73,0	82,7
3	28-02-2023 21:44:57	B38M	A	71,9	74,7	83,7
3	28-02-2023 21:46:31	B38M	A	71,2	73,5	82,9
3	28-02-2023 21:48:28	B38M	A	70,8	73,2	82,8
3	28-02-2023 21:50:11	A320	A	70,8	72,5	81,6
3	28-02-2023 21:51:51	E75S	A	70,3	72,3	81,1
3	28-02-2023 21:53:59	E190	A	70,9	73,0	82,1
3	28-02-2023 21:55:27	E75S	A	69,7	71,2	80,5
3	28-02-2023 21:58:19	E195	A	71,8	74,6	83,6

Zestawienie zdarzeń akustycznych spowodowanych przelotami statków powietrznych w porze nocy (przedział czasu pomiędzy godz. 22.00 – 06.00)

Nr punktu pomiarowego	Data i godz. zdarzenia	Samolot	Operacja*	L_{Aeq}	L_{Amax}	L_{AE}
				[dB]	[dB]	[dB]
3	01-02-2023 22:00:00	B38M	A	69,9	75,0	84,3
3	01-02-2023 22:02:40	B738	A	71,0	76,1	86,1
3	01-02-2023 22:08:42	A320	A	70,8	76,1	85,7
3	01-02-2023 22:18:57	A321	A	68,8	73,4	83,7
3	01-02-2023 22:21:31	A21N	A	68,3	72,5	82,6
3	01-02-2023 22:26:58	E75S	A	67,1	71,1	81,7
3	01-02-2023 22:32:55	E195	A	69,5	74,4	83,8
3	01-02-2023 22:40:26	A20N	A	69,1	73,8	84,3
3	01-02-2023 22:52:09	A321	A	68,6	71,8	82,7
3	01-02-2023 22:55:23	A21N	A	67,4	72,3	82,0
3	01-02-2023 23:00:04	B739	A	70,4	75,5	85,4
3	01-02-2023 23:05:34	A321	A	68,8	73,2	83,1
3	01-02-2023 23:07:29	E195	A	69,9	74,4	84,3
3	01-02-2023 23:11:35	A21N	A	69,5	74,8	84,7
3	01-02-2023 23:13:41	B38M	A	68,9	75,2	84,3
3	01-02-2023 23:15:36	A319	A	68,5	74,3	83,2
3	02-02-2023 05:20:39	B789	A	70,2	76,2	86,5
3	02-02-2023 05:52:38	A306	A	72,6	80,2	89,3
3	02-02-2023 22:04:28	E75S	A	69,9	74,2	85,1
3	02-02-2023 22:06:45	A21N	A	68,6	73,5	84,0
3	02-02-2023 22:09:12	E75S	A	68,7	73,4	83,8
3	02-02-2023 22:11:44	A321	A	68,7	73,4	83,9
3	02-02-2023 22:14:16	E75S	A	68,2	72,8	83,6
3	02-02-2023 22:18:20	A320	A	68,9	73,3	83,2
3	02-02-2023 22:23:39	E75S	A	69,2	73,9	83,7
3	02-02-2023 22:29:14	E190	A	69,7	75,9	84,9
3	02-02-2023 22:32:34	E195	A	70,1	74,7	85,3
3	02-02-2023 22:43:09	B38M	A	68,8	76,0	84,9
3	02-02-2023 22:52:34	A319	A	71,6	75,7	86,3
3	02-02-2023 22:54:14	A321	A	70,4	75,8	86,0
3	02-02-2023 23:03:28	A321	A	69,1	75,1	84,7
3	02-02-2023 23:06:57	B738	A	71,0	76,6	86,7
3	02-02-2023 23:09:59	A321	A	68,7	74,2	85,1
3	02-02-2023 23:12:41	A321	A	69,2	76,1	85,7
3	02-02-2023 23:17:24	A321	A	70,3	74,9	85,1
3	02-02-2023 23:20:55	A21N	A	69,1	73,2	83,7
3	02-02-2023 23:31:32	A21N	A	68,8	73,1	83,6
3	03-02-2023 01:10:46	GLF5	A	67,0	71,1	81,5
3	03-02-2023 05:44:05	B763	A	69,6	74,7	85,5
3	03-02-2023 05:53:47	A306	A	72,6	78,4	88,6
3	03-02-2023 05:57:53	A21N	A	69,7	73,3	83,9
3	03-02-2023 22:12:30	B734	D	63,4	66,0	74,5
3	03-02-2023 22:42:17	A306	D	63,3	67,1	76,1
3	03-02-2023 23:53:50	E190	D	65,8	70,6	80,4
3	04-02-2023 00:02:38	B738	D	63,9	66,8	80,0
3	04-02-2023 00:09:14	B738	D	64,1	67,1	79,3
3	04-02-2023 00:12:43	B789	D	65,1	70,3	78,1
3	04-02-2023 00:15:05	B738	D	64,1	68,5	77,5
3	04-02-2023 00:44:24	E195	D	61,7	65,7	73,7
3	04-02-2023 05:27:04	B38M	A	69,6	73,4	84,3
3	04-02-2023 05:29:40	B38M	A	70,3	75,2	85,1
3	04-02-2023 05:48:17	B738	A	70,8	75,1	85,0
3	04-02-2023 22:01:55	E75S	A	67,6	71,5	82,1
3	04-02-2023 22:10:46	E75S	A	67,1	71,3	81,1

Nr punktu pomiarowego	Data i godz. zdarzenia	Samolot	Operacja*	L_{Aeq}	L_{Amax}	L_{AE}
				[dB]	[dB]	[dB]
3	04-02-2023 22:31:33	A320	A	69,2	73,5	83,7
3	04-02-2023 22:34:24	A321	A	69,0	73,7	83,3
3	04-02-2023 22:42:52	A321	A	67,8	70,9	81,5
3	04-02-2023 22:46:09	A321	A	66,8	70,7	80,6
3	04-02-2023 22:48:42	A21N	A	67,9	72,7	82,8
3	04-02-2023 22:56:21	A319	A	68,1	71,6	82,5
3	04-02-2023 23:02:40	B38M	A	69,1	73,8	83,2
3	04-02-2023 23:05:29	B738	A	68,7	73,6	83,9
3	04-02-2023 23:07:44	B38M	A	67,9	72,1	82,8
3	04-02-2023 23:13:23	B737	A	68,9	73,8	84,3
3	04-02-2023 23:16:28	A321	A	67,2	71,6	82,0
3	04-02-2023 23:27:23	A21N	A	68,1	71,8	83,0
3	04-02-2023 23:36:05	B38M	A	68,4	73,5	83,0
3	04-02-2023 23:58:24	A21N	A	68,9	72,7	82,3
3	05-02-2023 05:35:51	B789	A	69,2	73,2	83,8
3	05-02-2023 22:00:10	B738	A	69,1	72,9	83,5
3	05-02-2023 22:02:09	E190	A	67,9	71,7	81,9
3	05-02-2023 22:04:09	E170	A	67,7	70,8	81,3
3	05-02-2023 22:08:43	E195	A	69,0	74,3	83,5
3	05-02-2023 22:19:14	B38M	A	70,3	75,2	84,6
3	05-02-2023 22:27:33	A21N	A	68,2	72,1	82,7
3	05-02-2023 22:31:37	E195	A	69,5	73,4	83,3
3	05-02-2023 22:35:04	BCS3	A	68,3	72,2	82,7
3	05-02-2023 22:37:25	A321	A	69,7	74,3	84,0
3	05-02-2023 22:39:50	A21N	A	69,0	73,5	83,0
3	05-02-2023 22:52:00	A21N	A	69,1	72,6	83,1
3	05-02-2023 22:57:45	A321	A	66,2	68,9	79,6
3	05-02-2023 23:03:17	A319	A	69,5	76,7	83,5
3	05-02-2023 23:21:20	B737	A	69,5	74,4	84,2
3	05-02-2023 23:25:03	A321	A	68,0	71,8	82,0
3	05-02-2023 23:35:11	A321	A	67,9	71,2	81,5
3	06-02-2023 05:32:27	A306	A	71,1	76,0	86,4
3	06-02-2023 05:51:17	B752	A	67,8	70,6	82,2
3	06-02-2023 22:00:39	E195	A	69,2	74,3	84,1
3	06-02-2023 22:02:24	E195	A	69,3	74,0	84,2
3	06-02-2023 22:04:49	E195	A	69,5	73,8	84,1
3	06-02-2023 22:06:55	B38M	A	67,1	71,7	82,2
3	06-02-2023 22:09:59	E195	A	69,3	73,5	83,7
3	06-02-2023 22:21:36	B38M	A	68,1	72,6	83,5
3	06-02-2023 22:34:21	BCS3	A	67,2	71,0	82,1
3	06-02-2023 22:36:34	E195	A	69,4	75,1	84,6
3	06-02-2023 22:41:20	A21N	A	68,9	72,7	82,5
3	06-02-2023 22:47:23	A320	A	69,2	73,7	84,0
3	06-02-2023 22:49:27	A321	A	68,3	72,6	82,9
3	06-02-2023 22:56:23	A21N	A	69,6	73,6	83,5
3	06-02-2023 22:59:35	A21N	A	68,9	72,5	83,3
3	06-02-2023 23:01:55	A321	A	68,5	72,6	82,7
3	06-02-2023 23:06:38	A321	A	68,4	72,4	82,4
3	06-02-2023 23:09:55	A321	A	68,4	72,0	83,0
3	06-02-2023 23:14:27	A321	A	67,1	70,2	81,0
3	06-02-2023 23:16:20	B38M	A	68,5	74,4	83,4
3	06-02-2023 23:20:05	B738	A	69,8	74,6	84,9
3	06-02-2023 23:59:48	A21N	A	68,4	72,5	83,3
3	07-02-2023 05:36:38	B738	A	69,4	73,7	84,0
3	07-02-2023 05:58:45	B38M	A	69,7	73,6	84,7
3	07-02-2023 22:01:56	E195	A	70,1	75,0	84,8
3	07-02-2023 22:09:23	A320	A	67,9	71,3	82,2

Nr punktu pomiarowego	Data i godz. zdarzenia	Samolot	Operacja*	L_{Aeq}	L_{Amax}	L_{AE}
				[dB]	[dB]	[dB]
3	07-02-2023 22:11:49	E195	A	70,0	74,2	83,8
3	07-02-2023 22:18:29	E195	A	68,5	72,6	83,4
3	07-02-2023 22:21:51	BCS3	A	67,8	71,1	81,7
3	07-02-2023 22:26:12	A321	A	67,5	70,8	81,5
3	07-02-2023 22:32:02	E195	A	70,0	74,4	84,7
3	07-02-2023 22:38:38	A321	A	67,9	71,4	82,1
3	07-02-2023 22:42:13	A320	A	69,5	73,6	83,8
3	07-02-2023 22:45:38	A21N	A	67,9	72,0	82,1
3	07-02-2023 22:52:19	A321	A	69,0	72,8	82,8
3	07-02-2023 22:55:26	A321	A	68,3	72,1	83,0
3	07-02-2023 23:15:48	B738	A	70,8	75,0	85,3
3	07-02-2023 23:17:49	A21N	A	67,9	72,1	82,2
3	07-02-2023 23:22:12	A21N	A	68,2	71,8	82,3
3	08-02-2023 05:58:31	B763	A	71,1	75,6	86,3
3	08-02-2023 22:12:04	B734	D	61,9	62,7	73,4
3	08-02-2023 22:23:25	B789	D	67,2	70,4	81,0
3	08-02-2023 23:16:41	E195	D	67,0	70,6	80,3
3	08-02-2023 23:28:45	B738	D	61,5	63,0	73,3
3	09-02-2023 05:55:31	B738	D	63,4	66,2	78,3
3	09-02-2023 22:08:10	A306	D	66,1	69,6	81,2
3	09-02-2023 22:31:11	A21N	A	68,0	71,9	82,2
3	09-02-2023 22:33:26	B38M	A	68,8	74,3	83,2
3	09-02-2023 22:35:31	A319	A	68,7	72,8	82,1
3	09-02-2023 22:38:55	B738	A	69,6	74,2	83,8
3	09-02-2023 22:47:29	A321	A	67,7	71,2	81,7
3	09-02-2023 22:49:34	A321	A	68,3	71,9	81,9
3	09-02-2023 22:53:43	E190	A	68,3	71,8	81,3
3	09-02-2023 22:56:28	BE20	A	67,6	71,1	79,9
3	09-02-2023 23:05:22	A21N	A	67,5	71,9	81,8
3	09-02-2023 23:08:18	B738	A	70,0	74,4	84,1
3	09-02-2023 23:14:41	A321	A	69,0	72,6	82,6
3	09-02-2023 23:21:02	B738	A	69,0	74,9	83,1
3	09-02-2023 23:23:44	A21N	A	67,5	71,8	81,8
3	09-02-2023 23:30:22	C68A	A	64,2	67,0	75,6
3	09-02-2023 23:33:43	A321	A	68,5	73,8	83,3
3	10-02-2023 00:20:28	B738	A	69,3	74,7	84,1
3	10-02-2023 02:15:34	E195	A	69,6	74,5	84,3
3	10-02-2023 05:47:33	B763	A	71,1	75,3	86,2
3	10-02-2023 05:54:53	A306	A	72,6	79,4	88,2
3	10-02-2023 22:01:08	A320	A	69,1	73,9	84,5
3	10-02-2023 22:03:24	E190	A	70,3	75,1	84,9
3	10-02-2023 22:06:46	B738	A	69,0	74,3	84,7
3	10-02-2023 22:08:54	E195	A	70,7	76,7	85,6
3	10-02-2023 22:11:24	BCS3	A	67,1	71,1	82,0
3	10-02-2023 22:16:54	B738	A	71,3	76,2	86,1
3	10-02-2023 22:19:36	E170	A	67,4	72,1	82,3
3	10-02-2023 22:28:40	A320	A	70,9	76,0	85,5
3	10-02-2023 22:36:05	E195	A	70,1	74,4	84,3
3	10-02-2023 22:38:38	A21N	A	69,4	74,2	84,0
3	10-02-2023 22:59:35	A319	A	69,6	73,7	83,3
3	10-02-2023 23:09:57	B38M	A	69,7	74,9	84,9
3	10-02-2023 23:14:47	A21N	A	68,5	73,0	82,9
3	10-02-2023 23:21:43	B738	A	72,1	76,6	87,8
3	10-02-2023 23:39:43	A321	A	68,6	73,5	83,8
3	11-02-2023 00:06:17	A321	A	68,4	72,8	83,0
3	11-02-2023 00:43:08	A321	A	69,6	72,7	83,4
3	11-02-2023 00:48:48	A321	A	68,5	72,9	83,3

Nr punktu pomiarowego	Data i godz. zdarzenia	Samolot	Operacja*	L _{Aeq}	L _{Max}	L _{AE}
				[dB]	[dB]	[dB]
3	11-02-2023 00:58:04	A321	A	69,0	74,1	84,2
3	11-02-2023 01:02:42	A21N	A	68,0	73,0	82,7
3	11-02-2023 01:40:43	A21N	A	69,5	74,7	84,4
3	11-02-2023 01:53:39	A21N	A	69,8	73,7	84,0
3	11-02-2023 03:11:19	B738	A	71,0	77,8	85,8
3	11-02-2023 05:30:02	B38M	A	69,4	75,3	84,3
3	11-02-2023 05:38:44	B38M	A	69,3	74,0	83,9
3	11-02-2023 22:05:31	E195	A	70,4	76,1	85,8
3	11-02-2023 22:26:01	E195	A	70,8	77,0	86,1
3	11-02-2023 22:30:35	A320	A	71,2	76,2	87,0
3	11-02-2023 22:35:14	BCS3	A	67,9	73,6	83,7
3	11-02-2023 22:42:16	B38M	A	70,5	75,2	85,7
3	11-02-2023 22:48:31	B38M	A	70,1	74,2	85,3
3	11-02-2023 22:51:33	A321	A	70,5	74,8	85,5
3	11-02-2023 22:58:13	A321	A	70,3	75,1	84,8
3	11-02-2023 23:02:56	A321	A	70,2	74,4	84,7
3	11-02-2023 23:08:59	A321	A	69,0	73,6	84,6
3	11-02-2023 23:12:20	B738	A	72,1	76,0	86,6
3	11-02-2023 23:14:11	B738	A	70,2	73,9	84,7
3	11-02-2023 23:16:31	A319	A	70,1	75,5	85,4
3	11-02-2023 23:20:13	B38M	A	69,8	75,5	85,3
3	11-02-2023 23:53:33	A321	A	67,4	72,1	83,0
3	12-02-2023 00:07:36	A21N	A	70,3	75,3	85,1
3	12-02-2023 04:50:34	B789	A	70,4	75,4	85,9
3	12-02-2023 22:00:15	E195	A	70,5	76,0	85,7
3	12-02-2023 22:02:24	E170	A	68,7	72,9	82,6
3	12-02-2023 22:06:46	BCS3	A	69,3	78,5	84,3
3	12-02-2023 22:09:06	A321	A	69,3	73,4	83,8
3	12-02-2023 22:13:44	A21N	A	68,4	73,0	83,3
3	12-02-2023 22:23:39	A21N	A	66,6	70,2	81,3
3	12-02-2023 22:25:51	E190	A	69,1	74,1	84,1
3	12-02-2023 22:27:51	A319	A	69,1	73,9	84,5
3	12-02-2023 22:30:16	E195	A	69,6	74,3	84,1
3	12-02-2023 22:45:28	A20N	A	68,4	72,9	83,3
3	12-02-2023 22:49:01	A321	A	69,8	73,7	84,8
3	12-02-2023 23:03:58	B737	A	70,2	75,7	84,8
3	12-02-2023 23:08:02	B38M	A	69,5	75,3	84,5
3	12-02-2023 23:14:17	A321	A	70,0	74,4	84,7
3	12-02-2023 23:16:42	A321	A	68,6	73,2	83,0
3	12-02-2023 23:42:29	A321	A	69,6	74,0	84,7
3	12-02-2023 23:45:44	A21N	A	68,8	74,4	84,7
3	13-02-2023 05:19:49	B752	A	69,9	72,9	84,7
3	13-02-2023 05:34:57	B789	A	71,1	75,2	86,1
3	13-02-2023 22:04:18	B38M	A	69,6	74,0	84,9
3	13-02-2023 22:13:01	BCS3	A	68,0	73,0	83,2
3	13-02-2023 22:16:09	A320	A	71,3	76,4	86,4
3	13-02-2023 22:26:58	E195	A	69,9	76,6	85,5
3	13-02-2023 22:29:42	A21N	A	71,2	75,7	85,7
3	13-02-2023 22:36:22	A321	A	69,5	74,7	85,0
3	13-02-2023 22:40:22	A321	A	69,8	74,0	85,2
3	13-02-2023 22:43:41	A319	A	70,0	74,7	85,4
3	13-02-2023 22:45:55	A321	A	69,6	73,9	84,9
3	13-02-2023 22:52:24	B738	A	70,6	77,4	85,9
3	13-02-2023 22:55:25	A321	A	70,1	74,5	85,1
3	13-02-2023 22:57:52	A21N	A	69,2	74,2	84,3
3	13-02-2023 23:03:02	A321	A	72,2	78,2	87,9
3	13-02-2023 23:07:05	A21N	A	69,2	74,3	85,0

Nr punktu pomiarowego	Data i godz. zdarzenia	Samolot	Operacja*	L _{Aeq}	L _{Max}	L _{AE}
				[dB]	[dB]	[dB]
3	13-02-2023 23:11:19	A21N	A	68,9	74,0	84,5
3	13-02-2023 23:14:01	B737	A	69,1	75,0	84,8
3	14-02-2023 05:34:55	B788	A	69,7	74,2	84,9
3	14-02-2023 05:37:22	B763	A	70,7	74,7	85,7
3	14-02-2023 05:47:17	B38M	A	69,2	74,2	84,3
3	14-02-2023 05:54:24	A306	A	73,5	79,4	88,6
3	14-02-2023 05:57:52	B788	A	68,4	72,3	84,3
3	14-02-2023 22:04:33	A319	A	70,2	74,1	84,0
3	14-02-2023 22:06:42	BCS3	A	67,3	72,4	82,4
3	14-02-2023 22:08:41	A21N	A	68,4	73,0	83,3
3	14-02-2023 22:10:47	B738	A	70,3	75,9	85,7
3	14-02-2023 22:21:56	A320	A	70,2	75,2	85,2
3	14-02-2023 22:24:55	E195	A	68,5	73,2	83,7
3	14-02-2023 22:28:34	A321	A	68,4	73,2	83,3
3	14-02-2023 22:37:00	A321	A	69,1	73,8	84,1
3	14-02-2023 22:44:55	A319	A	69,3	73,2	83,5
3	14-02-2023 22:46:52	A321	A	68,7	73,2	83,4
3	14-02-2023 22:49:21	A321	A	68,6	72,8	83,3
3	14-02-2023 23:08:29	B738	A	71,2	75,0	85,2
3	14-02-2023 23:12:50	A21N	A	68,2	72,5	82,7
3	14-02-2023 23:29:57	A21N	A	68,6	72,3	82,1
3	15-02-2023 05:53:53	B763	A	71,5	75,5	85,5
3	15-02-2023 05:57:04	A21N	A	67,7	71,6	80,7
3	15-02-2023 22:04:41	A306	D	66,9	69,3	80,3
3	15-02-2023 22:19:59	B788	D	67,8	70,7	81,7
3	15-02-2023 22:26:38	B38M	D	63,0	64,8	75,7
3	15-02-2023 22:56:21	E195	D	61,4	62,3	74,2
3	15-02-2023 22:58:14	E170	D	61,4	62,1	72,2
3	15-02-2023 23:00:24	E75S	D	61,0	61,4	72,2
3	15-02-2023 23:03:20	E190	D	62,4	63,2	75,4
3	15-02-2023 23:07:47	E75S	D	61,7	62,4	72,1
3	15-02-2023 23:11:39	E190	D	64,0	65,9	76,1
3	15-02-2023 23:17:06	E195	D	62,6	63,8	76,2
3	15-02-2023 23:24:11	E75S	D	66,3	69,1	81,6
3	16-02-2023 00:57:34	C17	D	63,4	65,0	75,4
3	16-02-2023 22:02:43	BCS3	A	69,0	73,5	83,9
3	16-02-2023 22:05:14	E75S	A	68,0	72,4	82,9
3	16-02-2023 22:07:34	B38M	A	68,9	74,2	84,9
3	16-02-2023 22:09:30	B738	A	70,3	74,7	85,6
3	16-02-2023 22:11:18	B38M	A	69,9	75,0	85,4
3	16-02-2023 22:13:15	E75S	A	68,5	73,2	83,0
3	16-02-2023 22:26:39	B738	A	70,0	76,9	85,1
3	16-02-2023 22:31:11	A320	A	70,9	76,1	86,1
3	16-02-2023 22:36:30	E195	A	69,8	75,0	84,9
3	16-02-2023 22:41:25	A321	A	70,1	75,1	85,2
3	16-02-2023 22:44:35	A321	A	68,7	73,8	84,3
3	16-02-2023 22:47:38	B38M	A	69,6	74,9	84,9
3	16-02-2023 22:58:50	A321	A	69,5	74,7	84,9
3	16-02-2023 23:03:50	B737	A	69,7	74,3	85,2
3	16-02-2023 23:14:30	A321	A	69,4	74,6	84,8
3	16-02-2023 23:17:21	A21N	A	69,2	74,1	84,3
3	16-02-2023 23:22:50	A21N	A	70,7	75,3	85,1
3	16-02-2023 23:45:12	A21N	A	70,9	74,8	85,4
3	17-02-2023 00:34:05	C17	A	76,9	84,4	93,9
3	17-02-2023 00:50:17	A321	A	71,5	75,4	86,3
3	17-02-2023 05:26:13	C17	A	76,4	83,0	93,2
3	17-02-2023 05:44:06	B763	A	72,9	77,8	88,9

Nr punktu pomiarowego	Data i godz. zdarzenia	Samolot	Operacja*	L_{Aeq}	L_{Amax}	L_{AE}
				[dB]	[dB]	[dB]
3	17-02-2023 05:47:04	A306	A	72,7	79,0	88,8
3	17-02-2023 05:58:25	B788	A	70,2	75,3	85,7
3	17-02-2023 22:01:17	E195	A	71,0	76,7	85,7
3	17-02-2023 22:04:03	E75S	A	69,6	74,6	84,7
3	17-02-2023 22:06:20	E195	A	71,1	77,5	86,4
3	17-02-2023 22:12:45	B38M	A	70,8	76,8	85,7
3	17-02-2023 22:15:44	A21N	A	70,4	76,0	85,3
3	17-02-2023 22:18:17	E190	A	70,0	75,8	84,9
3	17-02-2023 22:20:26	B738	A	71,8	79,4	87,6
3	17-02-2023 22:28:02	E170	A	71,6	78,2	87,2
3	17-02-2023 22:30:33	E195	A	70,4	76,4	86,0
3	17-02-2023 22:33:13	E75S	A	69,6	73,2	84,3
3	17-02-2023 22:35:55	A21N	A	70,9	76,7	86,1
3	17-02-2023 22:38:31	B38M	A	71,0	75,8	86,7
3	17-02-2023 22:45:14	A21N	A	71,1	78,7	87,4
3	17-02-2023 22:49:45	A321	A	73,3	79,3	89,1
3	17-02-2023 23:13:24	A321	A	71,7	76,6	87,3
3	17-02-2023 23:16:07	A21N	A	69,9	74,8	85,5
3	17-02-2023 23:19:09	B737	A	71,6	76,8	87,2
3	17-02-2023 23:39:36	E75S	A	69,2	74,3	84,1
3	17-02-2023 23:59:54	A321	A	71,3	77,3	86,9
3	18-02-2023 00:08:14	A321	A	72,4	76,7	87,4
3	18-02-2023 00:11:02	A21N	A	70,9	77,2	86,2
3	18-02-2023 00:23:36	E295	A	69,8	74,8	85,3
3	18-02-2023 01:34:20	B38M	A	70,9	76,3	86,4
3	18-02-2023 05:39:56	B38M	A	70,1	76,4	85,9
3	18-02-2023 22:00:30	A320	A	69,8	74,3	84,6
3	18-02-2023 22:22:42	B38M	A	70,6	76,6	86,1
3	18-02-2023 22:29:23	A319	A	68,9	75,1	84,6
3	18-02-2023 22:34:28	A320	A	71,0	76,8	86,3
3	18-02-2023 22:36:36	LJ75	A	65,5	69,6	79,9
3	18-02-2023 22:38:30	BCS3	A	68,2	72,1	82,8
3	18-02-2023 22:47:08	A321	A	70,3	73,6	84,6
3	18-02-2023 22:50:30	B38M	A	69,6	74,2	84,9
3	18-02-2023 22:52:53	A321	A	68,7	74,2	84,8
3	18-02-2023 23:10:50	B737	A	69,5	74,4	84,1
3	18-02-2023 23:17:20	B38M	A	69,3	74,5	84,9
3	18-02-2023 23:19:18	A321	A	69,6	75,0	84,9
3	18-02-2023 23:31:31	A21N	A	69,6	73,7	83,8
3	18-02-2023 23:36:27	A21N	A	70,4	75,3	85,6
3	18-02-2023 23:51:32	A21N	A	69,9	74,2	85,2
3	19-02-2023 00:40:56	B738	A	70,6	76,4	86,3
3	19-02-2023 05:56:48	B789	A	71,1	74,8	86,0
3	19-02-2023 22:01:59	B738	A	69,5	74,9	85,1
3	19-02-2023 22:04:24	E190	A	68,6	74,3	83,8
3	19-02-2023 22:06:07	E195	A	69,8	74,4	84,4
3	19-02-2023 22:08:27	E195	A	69,7	75,0	84,5
3	19-02-2023 22:10:53	A21N	A	69,9	74,5	84,2
3	19-02-2023 22:16:53	E195	A	69,4	76,0	85,4
3	19-02-2023 22:25:35	A21N	A	68,5	73,9	83,9
3	19-02-2023 22:29:31	A21N	A	70,0	74,8	85,0
3	19-02-2023 22:39:24	A319	A	70,8	76,0	85,9
3	19-02-2023 22:45:10	A21N	A	71,2	78,7	87,0
3	19-02-2023 22:50:09	A321	A	70,1	75,3	85,5
3	19-02-2023 22:52:23	E195	A	70,2	75,6	85,1
3	19-02-2023 22:57:45	BCS3	A	68,3	72,4	83,1
3	19-02-2023 23:00:19	A321	A	70,5	75,5	85,8

Nr punktu pomiarowego	Data i godz. zdarzenia	Samolot	Operacja*	L_{Aeq}	L_{Amax}	L_{AE}
				[dB]	[dB]	[dB]
3	19-02-2023 23:10:54	B737	A	69,7	75,4	84,6
3	19-02-2023 23:19:04	A321	A	68,6	74,4	84,6
3	19-02-2023 23:21:04	E195	A	69,7	76,2	85,2
3	19-02-2023 23:24:48	A321	A	70,4	74,8	85,0
3	19-02-2023 23:39:42	A321	A	70,8	76,4	85,7
3	20-02-2023 05:23:01	B752	A	71,8	77,1	87,2
3	20-02-2023 05:29:49	A306	A	72,5	78,2	88,7
3	20-02-2023 05:44:14	B789	A	70,4	75,1	86,5
3	20-02-2023 21:59:57	E75S	A	71,6	74,7	85,2
3	20-02-2023 22:02:51	B38M	A	69,6	76,5	85,9
3	20-02-2023 22:18:50	B38M	A	70,5	76,4	86,5
3	20-02-2023 22:21:56	A21N	A	69,7	73,8	83,9
3	20-02-2023 22:23:58	A320	A	70,4	76,0	86,0
3	20-02-2023 22:26:27	A321	A	71,3	76,4	86,5
3	20-02-2023 22:28:53	B38M	A	70,6	76,1	86,0
3	20-02-2023 23:26:39	A21N	A	70,5	76,5	85,8
3	20-02-2023 23:29:12	A321	A	71,8	77,5	87,0
3	20-02-2023 23:31:37	B737	A	71,6	76,6	86,8
3	20-02-2023 23:35:32	A21N	A	69,3	74,3	84,6
3	20-02-2023 23:37:41	A321	A	71,4	76,2	86,7
3	20-02-2023 23:39:40	B738	A	72,5	79,0	88,9
3	20-02-2023 23:48:19	A21N	A	70,5	75,4	85,8
3	20-02-2023 23:50:46	E75S	A	69,1	74,9	84,7
3	20-02-2023 23:53:50	A321	A	72,7	78,4	87,7
3	21-02-2023 00:13:53	A321	A	73,3	78,5	88,7
3	21-02-2023 00:44:03	A319	A	70,5	75,5	85,8
3	21-02-2023 05:32:29	B38M	A	69,5	73,9	85,1
3	21-02-2023 05:39:33	A306	A	74,1	81,0	90,6
3	21-02-2023 05:49:11	E195	A	69,7	75,1	85,5
3	21-02-2023 22:03:48	BCS3	A	68,7	73,0	84,3
3	21-02-2023 22:14:58	A321	A	69,6	74,9	85,4
3	21-02-2023 22:19:49	B738	A	71,0	75,4	86,4
3	21-02-2023 22:21:51	A321	A	69,6	74,7	85,4
3	21-02-2023 22:23:58	A320	A	70,3	75,8	85,7
3	21-02-2023 22:26:34	A319	A	70,7	75,8	86,2
3	21-02-2023 22:28:40	E195	A	70,0	76,2	85,5
3	21-02-2023 22:38:39	A321	A	70,1	74,6	85,1
3	21-02-2023 22:44:45	A321	A	69,5	75,0	85,3
3	21-02-2023 23:01:15	B737	A	70,9	74,7	85,2
3	21-02-2023 23:16:00	A21N	A	68,9	73,6	83,5
3	21-02-2023 23:40:58	A21N	A	69,8	74,0	84,9
3	21-02-2023 23:49:45	A21N	A	68,5	73,4	84,3
3	22-02-2023 05:52:58	A21N	A	68,2	72,2	82,3
3	22-02-2023 22:01:06	A21N	A	70,2	74,2	83,2
3	22-02-2023 22:03:24	BCS3	A	67,3	71,6	81,5
3	22-02-2023 22:05:13	E195	A	69,6	74,5	83,9
3	22-02-2023 22:09:52	E195	A	69,4	73,3	82,7
3	22-02-2023 22:31:39	B788	D	69,1	74,7	85,4
3	22-02-2023 23:01:48	E190	D	65,4	70,1	79,3
3	22-02-2023 23:04:17	E195	D	62,3	64,6	73,4
3	22-02-2023 23:05:44	E195	D	62,8	65,4	74,3
3	22-02-2023 23:09:55	E75S	D	61,2	64,0	71,6
3	22-02-2023 23:11:29	E75S	D	61,4	64,3	71,0
3	22-02-2023 23:13:02	E195	D	61,7	63,8	75,3
3	23-02-2023 01:04:01	C17	D	69,7	75,1	85,1
3	23-02-2023 05:54:06	B738	D	63,5	66,5	77,0
3	23-02-2023 22:00:18	A306	D	66,9	71,2	82,3

Nr punktu pomiarowego	Data i godz. zdarzenia	Samolot	Operacja*	L_{Aeq}	L_{Amax}	L_{AE}
				[dB]	[dB]	[dB]
3	23-02-2023 22:35:34	B738	D	63,5	66,0	73,9
3	23-02-2023 22:56:14	E190	D	65,8	68,6	80,0
3	23-02-2023 22:58:05	E195	D	63,2	65,7	77,1
3	23-02-2023 23:10:55	E75S	D	63,8	66,9	78,1
3	23-02-2023 23:13:11	E190	D	61,6	63,2	72,4
3	23-02-2023 23:16:10	E195	D	64,6	68,7	77,1
3	23-02-2023 23:21:38	E75S	D	66,8	69,9	81,8
3	23-02-2023 23:25:01	E75S	D	60,9	62,1	72,7
3	23-02-2023 23:26:46	E195	D	62,1	65,0	74,9
3	23-02-2023 23:27:58	E190	D	66,1	70,1	79,6
3	23-02-2023 23:29:55	E195	D	62,1	64,6	74,4
3	24-02-2023 05:53:54	A321	D	64,0	66,2	77,6
3	24-02-2023 05:55:50	A21N	D	62,2	65,3	72,6
3	24-02-2023 22:01:32	E195	A	70,4	74,9	84,1
3	24-02-2023 22:05:13	B738	A	69,5	74,7	84,6
3	24-02-2023 22:07:50	A320	A	68,9	73,1	83,1
3	24-02-2023 22:10:27	A21N	A	69,6	74,0	83,7
3	24-02-2023 22:13:02	BCS3	A	68,1	72,3	82,3
3	24-02-2023 22:17:32	A21N	A	69,9	73,7	83,5
3	24-02-2023 22:20:11	E75S	A	69,5	73,0	83,5
3	24-02-2023 22:26:25	E195	A	70,0	74,1	84,1
3	24-02-2023 22:35:30	A321	A	69,8	74,6	83,7
3	24-02-2023 22:38:27	A21N	A	69,8	73,9	83,8
3	24-02-2023 22:43:04	A321	A	68,9	72,6	82,7
3	24-02-2023 22:48:12	A319	A	70,0	73,7	84,2
3	24-02-2023 22:53:43	A21N	A	69,5	72,8	82,9
3	24-02-2023 23:09:17	A321	A	69,9	74,2	83,7
3	24-02-2023 23:10:58	B737	A	71,0	76,8	86,1
3	25-02-2023 00:31:01	B738	A	69,2	74,3	84,2
3	25-02-2023 03:01:03	A321	A	70,2	75,5	84,7
3	25-02-2023 05:27:19	B38M	A	70,9	76,5	86,4
3	25-02-2023 05:33:19	B38M	A	70,6	76,5	85,9
3	25-02-2023 22:00:19	BCS3	A	69,0	73,6	83,5
3	25-02-2023 22:06:04	B738	A	71,3	76,4	86,6
3	25-02-2023 22:08:05	B38M	A	71,1	76,6	86,1
3	25-02-2023 22:10:05	B738	A	69,5	74,3	85,0
3	25-02-2023 22:11:46	B38M	A	69,8	76,7	85,7
3	25-02-2023 22:32:00	A320	A	71,0	75,7	86,4
3	25-02-2023 22:37:12	A321	A	70,5	74,9	85,3
3	25-02-2023 22:45:52	A321	A	69,7	74,3	84,6
3	25-02-2023 22:52:20	A321	A	69,2	74,3	84,7
3	25-02-2023 22:55:31	B38M	A	70,0	76,0	86,4
3	25-02-2023 22:58:04	A321	A	69,8	74,8	84,4
3	25-02-2023 23:00:02	A319	A	70,7	76,1	86,2
3	25-02-2023 23:02:05	A21N	A	70,8	77,0	86,0
3	25-02-2023 23:04:06	A21N	A	68,7	73,1	84,2
3	25-02-2023 23:07:31	B38M	A	69,4	76,6	85,8
3	25-02-2023 23:09:53	B737	A	70,3	75,7	85,4
3	25-02-2023 23:19:52	A21N	A	68,4	72,9	83,8
3	25-02-2023 23:21:41	B738	A	71,6	76,9	87,4
3	26-02-2023 04:44:52	B789	A	70,7	75,5	86,4
3	26-02-2023 05:55:14	A21N	A	68,8	73,1	83,0
3	26-02-2023 22:00:49	E195	A	69,8	74,6	84,3
3	26-02-2023 22:03:05	E195	A	70,3	76,2	85,0
3	26-02-2023 22:08:38	E75S	A	68,5	72,6	82,4
3	26-02-2023 22:10:41	A320	A	68,4	73,1	83,3
3	26-02-2023 22:12:53	BCS3	A	68,1	71,8	82,7

Nr punktu pomiarowego	Data i godz. zdarzenia	Samolot	Operacja*	L_{Aeq}	L_{Amax}	L_{AE}
				[dB]	[dB]	[dB]
3	26-02-2023 22:14:58	B38M	A	69,2	74,9	84,6
3	26-02-2023 22:17:10	E170	A	69,2	73,2	83,0
3	26-02-2023 22:21:50	B38M	A	68,5	73,6	83,5
3	26-02-2023 22:27:04	A21N	A	68,2	72,6	82,9
3	26-02-2023 22:28:43	E195	A	68,8	74,0	83,8
3	26-02-2023 22:30:48	B38M	A	68,3	72,4	83,3
3	26-02-2023 22:32:36	A319	A	69,8	74,3	84,1
3	26-02-2023 22:34:30	A21N	A	68,4	73,0	83,6
3	26-02-2023 22:37:03	A321	A	68,3	72,0	82,4
3	26-02-2023 22:56:43	A321	A	68,8	73,4	83,7
3	26-02-2023 23:09:54	A321	A	68,4	72,6	82,7
3	26-02-2023 23:14:11	B737	A	69,1	75,0	84,1
3	26-02-2023 23:17:09	A321	A	69,2	74,4	84,1
3	26-02-2023 23:37:05	E75S	D	62,4	65,9	75,8
3	27-02-2023 00:03:59	B38M	D	63,0	65,8	76,0
3	27-02-2023 05:27:19	A306	A	73,6	81,0	89,5
3	27-02-2023 05:30:06	B752	A	70,5	74,4	85,1
3	27-02-2023 05:42:45	B789	A	69,2	73,8	85,0
3	27-02-2023 22:06:35	A306	D	66,2	70,5	81,5
3	27-02-2023 22:59:16	E190	D	65,9	69,2	79,3
3	27-02-2023 23:03:25	E75S	D	61,2	64,1	74,4
3	27-02-2023 23:07:03	E195	D	62,3	64,1	75,3
3	28-02-2023 05:44:05	B789	A	69,2	73,6	83,7
3	28-02-2023 05:46:29	B788	A	68,4	72,5	82,9
3	28-02-2023 22:07:24	E75S	A	67,9	71,6	81,7
3	28-02-2023 22:16:12	BCS3	A	71,3	81,4	86,0
3	28-02-2023 22:20:21	A321	A	68,2	71,7	82,0
3	28-02-2023 22:22:22	A321	A	68,1	71,9	82,3
3	28-02-2023 22:24:16	A320	A	69,5	74,0	83,8
3	28-02-2023 22:26:50	A321	A	68,2	72,5	82,5
3	28-02-2023 22:33:30	E195	A	69,1	73,8	83,3
3	28-02-2023 22:42:03	A319	A	69,9	74,5	84,2
3	28-02-2023 22:55:02	A21N	A	68,8	72,3	82,6
3	28-02-2023 22:56:44	A321	A	67,8	72,1	82,5
3	28-02-2023 23:06:06	A21N	A	68,8	73,0	83,4
3	28-02-2023 23:19:23	B738	A	70,5	74,9	85,0
3	28-02-2023 23:28:09	A321	A	68,2	72,2	82,4
3	01-03-2023 05:45:05	A306	A	71,8	77,2	87,2
3	01-03-2023 05:57:19	A21N	A	69,9	74,2	83,9

LEGENDA

- Samolot – typ statku powietrznego
- Operacja: A – lądowanie, D – start, P - przelot
- L_{Aeq} – równoważny poziom dźwięku dla zdarzenia akustycznego
- L_{Amax} – maksymalny poziom dźwięku dla zdarzenia akustycznego
- L_{AE} – ekspozycyjny poziom dźwięku dla zdarzenia akustycznego
- Kolorem niebieskim oznaczono zdarzenia akustyczne, które miały miejsce w czasie gdy nie były spełnione warunki meteorologiczne¹, a także wystąpiły zakłócenia od innych źródeł hałasu.

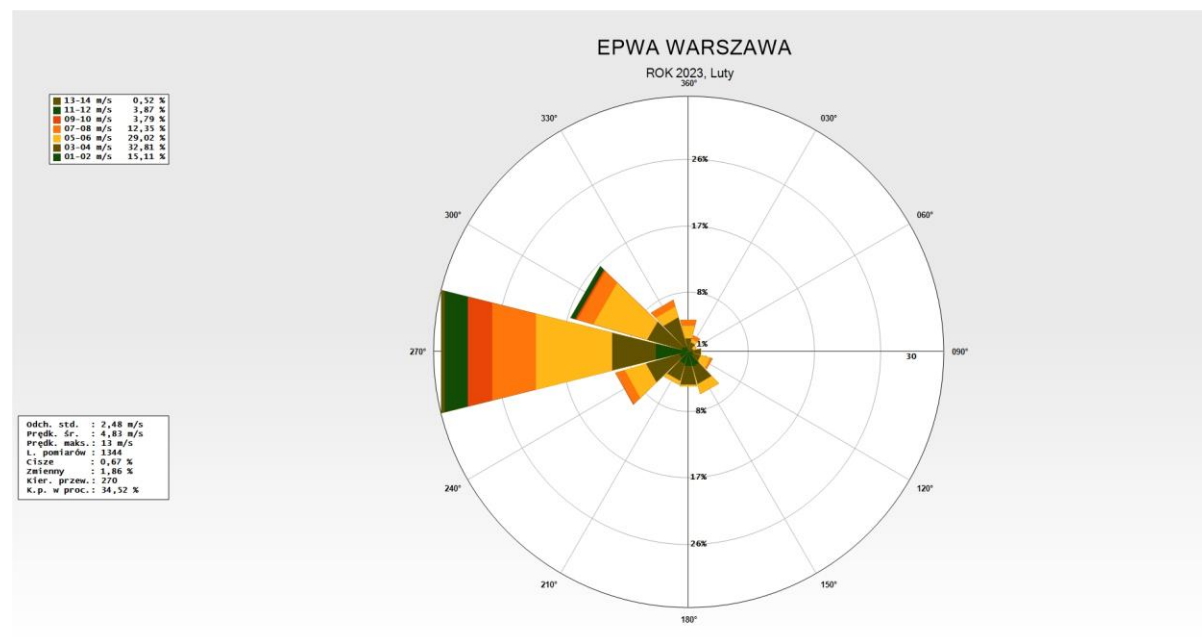
¹ Warunki meteorologiczne określone w punkcie D "Referencyjnej metodyki wykonywania ciągłych pomiarów poziomów hałasu wprowadzanego do środowiska przez starty, lądowania i przeloty statków powietrznych w związku z eksploatacją lotnisk oraz kryteria lokalizacji punktów pomiarowych" (Załącznik nr 1 do rozporządzenia Ministra Środowiska z dnia 16 czerwca 2011 r. w sprawie wymagań w zakresie prowadzenia pomiarów poziomów substancji lub energii w środowisku przez zarządzającego drogą, linią kolejową, linią

WARUNKI METEOROLOGICZNE DLA LOTNISKA:

Ustalane na wysokości: 106,51 m n.p.m

Wielkości ustalane	Wartości maksymalne		Wartości średnie miesięczne
	w danym miesiącu	w danym miesiącu	
Temperatura [°C]	9,9	-8,7	1,4
Wilgotność względna [%]	99	46	81
Ciśnienie atmosferyczne [hPa]	1033,0	978,5	1008,6

Miesięczna róża wiatrów



tramwajową, lotniskiem lub portem).